

T.C.
SAKARYA ÜNİVERSİTESİ
FEN BİLİMLERİ ENSTİTÜSÜ

III-N TİPİ YARIİLETKENLERİN ÖRGÜ DİNAMİĞİNİN
ADYABATİK BAĞ YÜKÜ MODELİ İLE İNCELENMESİ

129027

YÜKSEK LİSANS TEZİ

Sıtkı DUMAN

129021

Enstitü Anabilim Dalı: FİZİK

Tez Danışmanı: Yrd. Doç. Dr. İbrahim OKUR



MAYIS 2002

T.C
SAKARYA ÜNİVERSİTESİ
FEN BİLİMLERİ ENSTİTÜSÜ

III-N TİPİ YARIİLETKENLERİN ÖRGÜ DİNAMİĞİNİN ADYABATİK BAĞ YÜKÜ MODELİ İLE İNCELENMESİ

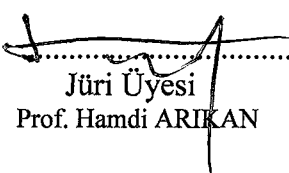
YÜKSEK LİSANS TEZİ

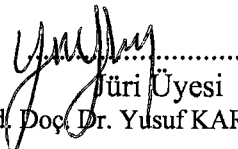
Sıtkı DUMAN

Enstitü Anabilim Dalı: Fizik
Enstitü Bilim Dalı: Katıhal Fiziği

Bu tez ~~08/05/~~ 2002 tarihinde aşağıdaki juri tarafından oybirliği ile kabul edilmiştir.


Jüri Başkanı
Yrd. Doç. Dr. İbrahim OKUR


Jüri Üyesi
Prof. Hamdi ARIKAN


Jüri Üyesi
Yrd. Doç. Dr. Yusuf KARAKUŞ

TEŞEKKÜR

Lisansüstü çalışmalarımda danışmanlığını üstlenip, yüksek lisans konusunun belirlenmesinden, tamamlanmasına kadar geçen sürede ilgi ve yardımlarını esirgemeyen Sayın Hocam Doç. Dr. Hüseyin Murat TÜTÜNCÜ ve Yrd. Doç. Dr. İbrahim OKUR' a teşekkürlerimi bir borç bilirim.

Lisansüstü ders dönemi süresince engin bilgi ve tecrübelerinden istifade ettiğim fizik bölümünün bütün hocalarına da şükranlarımı sunarım.

Tez döneminde yardımlarını eksik etmeyen ve çalışmalarım sırasında göstermiş oldukları anlayıştan dolayı da mesai arkadaşlarım, Arş. Gör. Adil BAŞOĞLU, Arş. Gör. Filiz ERTUĞRAL ve Arş. Gör. Metin ASLAN' a teşekkür ederim.

Ayrıca tez yazımındaki yoğunluğumda göstermiş olduğu tahammül ve vermiş olduğu destekten dolayı eşime teşekkür ederim.

Sıtkı DUMAN

İÇİNDEKİLER

SİMGELER VE KISALTMALAR.....	v
ŞEKİLLER LİSTESİ.....	vi
ÖZET.....	vii
SUMMARY.....	viii

BÖLÜM 1

GİRİŞ.....	1
------------	---

BÖLÜM 2 HOMOPOLAR VE HETEROPOLAR YARIİLETKENLERİN ÖRGÜ DİNAMIĞİ HESAPLAMA METODLARI

2.1 Yarıiletkenlerin Örgü Dinamigi Hesaplama Metodlarının Gelişimi	5
2.2 Born-Von Karman Model.....	9
2.3 Rijit İyon Model	13
2.4 Değerlik Kuvvet Modeli.....	15

BÖLÜM 3 ADYABATİK BAĞ YÜKÜ MODELİ (BCM)

3.1 Adyabatik Bağ Yükü Modelinin Tanımlanması.....	17
3.2 Adyabatik Bağ Yükü Modelinde Radyal Etkileşmeler.....	19
3.2.1 İyon-iyon etkileşmesi kuvvet sabiti matrisleri	23
3.2.2 İyon-bağ yükü radyal etkileşim kuvvet sabiti matrisleri	26
3.2.3 Bağ yükü-bağ yükü radyal etkileşim kuvvet sabiti matrisleri.....	29
3.3 Bağ Bükülmesi Kuvvetleri.....	32
3.3.1 Bağ bükülmesi etkileşim matrisinin tanımlanması.....	32
3.3.2 Bağ yükü–bağ yükü etkileşimi Keating kuvvet sabiti matrisleri.....	34
3.3.3 İyon – bağ yükü etkileşimi Keating kuvvet sabiti matrisleri.....	36
3.4 Coulomb Etkileşmeleri.....	37
3.5 Birim Hücrenin Toplam Enerji Hesaplamaları.....	39
3.6 BCM için C-Tipi Matrisin Oluşturulması.....	43

BÖLÜM 4 DENEYSEL TEKNİKLER

4.1 Nötron Saçılması.....	44
4.1.1 Nötronların elastik olmayan saçılması.....	45
4.1.2 Nötron saçılmasının avantajları.....	47
4.1.3 Nötron saçılmasının dezavantajları.....	47
4.2 Fotonların Elastik Olmayan Saçılması.....	47
4.2.1 Raman saçılmasının avantajları ve dezavantajları.....	52

BÖLÜM 5 SONUÇLAR

5.1 Giriş.....	53
5.2 III-N Tipi Yarıiletkenlerin Hesaplanan Fonon Dispersiyon Eğrileri ve Yorumları.....	54
5.3 Durum Yoğunluğu Eğrileri Hesaplama Metodu, Hesaplanan Durum Yoğunluğu Eğrileri ve Yorumları.....	58
5.3.1 Kök örneklemme metodu (Root sampling metod).....	58
5.3.2 Hesaplanan durum yoğunluğu eğrileri ve yorumları.....	59
5.4 Hesaplanan Fonon Frekanslarının Titreşim Vektörleri.....	63
BÖLÜM 6 TARTIŞMA ve ÖNERİLER.....	67

KAYNAKLAR.....	68
----------------	----

EK A III-N TİPİ YARIİLETKENLERİN HESAPLANAN FONON

FREKANSLARI.....	72
------------------	----

EK B III-N TİPİ YARIİLETKENLERİN HESAPLANAN FONON

SPEKTRUMLARI.....	140
-------------------	-----

ÖZGEÇMİŞ.....	143
---------------	-----

SİMGELER VE KISALTMALAR

a	Örgü Sabiti
$\phi(a)$	Komşu İki Atom Arasındaki Enerji
N	Kristalde Bulunan Hücre Sayısı
u	Yerdeğiştirme
ω	Frekans
α	Merkezi Etkileşim Kuvvet Sabiti (Değerlik Kuvvet Modeli için)
B_s	Merkezi Olmayan Etkileşim Kuvvet Sabiti
r_{oi}	i 'inci Atomun Konum Vektörü
Φ_0	Kristalin Denge Durumunun Potansiyel İfadesi
$\Phi_{\alpha\beta}(lb; l'b')$	Atomik Kuvvet Sabiti
q ve k	Dalga Vektörü
$\phi_{bb'}$	b ve b' İyonlarının Etkileşim Potansiyel Enerjisi
$\phi_{bb'}^R(r)$	Kısa Menzil Etkileşim Potansiyel Enerjisi
α_m	Madelung Sabiti
Ω	Kristal Hacmi
Δ	Merkezi İyon
$V_{bb}^{(\Delta)}$	Keating Potansiyeli
$-\Phi_{\alpha\beta}^K(i; j)$	Keating Kuvvet Sabiti
$\phi_{bb'}^C$	Coulomb Potansiyeli
$C_{\alpha\beta=x,y,z}^C(bb'; q)$	Radyal Etkileşim Coulomb Toplam Matrisi
LA	Boyuna Akustik Dalga
TA	Enine Akustik Dalga
LO	Boyuna Optik Dalga
TO	Enine Optik Dalga

ŞEKİLLER LİSTESİ

1.1 Bir boyutta lineer zincir.....	1
1.2 Bir boyutta iki atomlu lineer zincirde optik ve akustik modlar.....	2
2.1 Kabuk modelin şematik diagramı.....	6
2.2 Elmas yapı.....	9
2.3 Çinko sülfür (Zinc blende) yapı.....	9
2.4 FCC(Yüzey merkezli yapı).....	10
3.1 III-V tipi yarıiletkenlere ait BCM birim hücresi.....	18
3.2 BCM birim hücresinde bağ büükülmesi.....	33
4.1 Nötronların elastik olmayan saçılması.....	47
4.2 Fotonların elastik olmayan saçılmasında soğurma ve salma olayları.....	50
4.3 Elmas kristalinin Raman spektrumu.....	51
4.4 Elmas kristalinin Brillouin spektrumu.....	52
4.5 Stokes ve Antistokes olayları.....	52
5.1 Yüzey merkezli yapının birinci Brillouin bölgesi.....	53
5.2 InN yarıiletkenine ait fonon dispersiyon eğrisi.....	54
5.3 GaN yarıiletkenine ait fonon dispersiyon eğrisi.....	55
5.4 AlN yarıiletkenine ait fonon dispersiyon eğrisi.....	56
5.5 BN yarıiletkenine ait fonon dispersiyon eğrisi.....	57
5.6 InN yarıiletkenine ait durum yoğunluğu eğrisi.....	59
5.7 GaN yarıiletkenine ait durum yoğunluğu eğrisi.....	60
5.8 AlN yarıiletkenine ait durum yoğunluğu eğrisi.....	61
5.9 BN yarıiletkenine ait durum yoğunluğu eğrisi.....	62
5.10 InN yarıiletkenine ait titreşim vektörleri.....	63
5.11 GaN yarıiletkenine ait titreşim vektörleri.....	64
5.12 AlN yarıiletkenine ait titreşim vektörleri.....	65
5.13 BN yarıiletkenine ait titreşim vektörleri.....	66

ÖZET

Anahtar kelimeler: III-N grubu yarıiletkenler, bağ yükü (BC), örgü dinamiği, kısa menzil etkileşmeleri, Coulomb etkileşmeleri

III-N grubu yarıiletkenler diğer bileşikler yanında optoelektronik ve ısisal özellikleri yönüyle özel bir yer tutarlar. Bu yarıiletkenler çinko-sülfür (zinc-blende) ve hegzagonal wurtzide yapıda bulunabilirler. Yarıiletkenlerin ısisal ve elektronik özelliklerinin anlaşılması için öncelikle ele alınan materyalin örgü dinamiğinin hesaplanması gerekmektedir.

Bu çalışmada III-N tipi yarıiletkenler olan InN, BN, AlN, GaN bileşiklerinin örgü dinamiği adyabatik bağ yükü modeli ile incelendi. Bu inceleme sonuçları verilmeden önce örgü dinamiği hesaplamlarında kullanılan diğer modeller olan Born-Von Karman modeli, değerlik kuvvet modeli, kabuk modeli ve rijit iyon modeli tanıtıldı. Adyabatik bağ yükü modeli ilk olarak Phillips ve Martin tarafından ortaya atıldı. Bu modele göre elektronların yoğunlaşma noktaları olarak alınan bağ yükleri iyonlar yanında kütesiz kabul edildi. Bağ yükleri homopolar yarıiletkenlerde bağın tam ortasında, heteropolar yarıiletkenlerde ise elektronegatifliği yüksek olan iyona yakın olacak şekilde konumlanırlar.

III-N tipi yarıiletkenler için yapılan bu çalışmada üç temel etkileşim göz önüne alındı. Bunlar; Coulomb etkileşmeleri (iyon-iyon, iyon-bağ yükü, bağ yükü-bağ yükü), kısa menzil etkileşmeleri (iyon-iyon, iyon-bağ yükü, bağ yükü-bağ yükü) ve merkezi olmayan (bağ bükülmesi) etkileşmeleridir. Bu etkileşmelerin hesaplanması sonucu bulunan fonon dispersiyonu, durum yoğunluğu eğrileri ile titreşim vektörleri verilmiştir.

SUMMARY

An Investigation of III-N Type Semiconductors' Lattice Dynamics Adiabatic Bond Charge Model

Keywords: III-N nitrides, bond charge, lattice dynamics, short range interactions, coulomb interaction, bond charge model

Group-III nitrides hold a special place among materials, mainly due to their desirable optoelectronic and thermal properties. These materials crystalline in cubic zinc-blende as well as hexagonal wurtzide phases. A thorough understanding of lattice dynamics of both phases is of importance both at the fundamental level as well as in determining thermal and electronic properties of these materials.

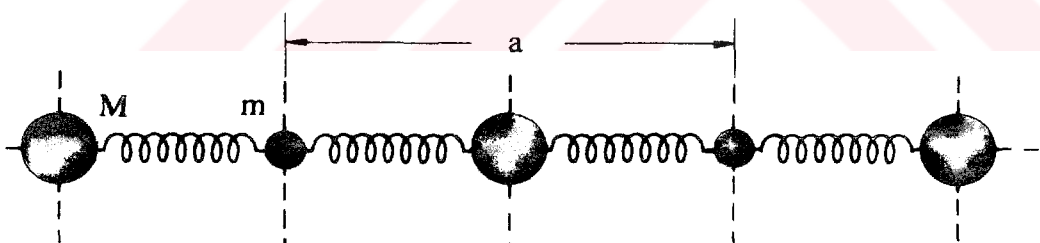
In this work, we have studied the lattice dynamics of zinc-blende phases of GaN, AlN, BN and InN using the adiabatic bond charge model. The theories of the Born-Von Karman model, the valance force model, the shell model and rigid ion model are explained. We then study lattice dynamics of group III nitrides using the adiabatic bond-charge model. The adiabatic bond charge model is mainly based on the bond-charge model of Phillips and Martin. According to this model the BCs are allowed to move adiabatically, whereas in the bond-charge in the model of Phillips and Martin they always located midway between the two ions for homopolar semiconductors. In zincblende material groups the BC is shifted towards the more electronegative species. The adiabatic bond charge model proposed by Weber [17] is considered to be physically appealing that computationally much less demanding.

In this study, for the the lattice dynamics of group-III nitrides three types of interactions are considered; Coulomb interaction between particles (ion-ion, ion-bc and bc-bc), short-range interactions (ion-ion, ion-bc, bc-bc) and non-central (or bond bending) interaction of Keating type between bond charges, as well as between ions and bond charges. In the last chapters the phonon spectra, density of states and vibrational vector for nitrides have been given.

BÖLÜM 1. GİRİŞ

Atomların üç boyutta simetrik olarak dizildikleri yapılar katıhal fiziğinde kristal olarak adlandırılır. Bu yapıları daha iyi tanımlayabilmek için örgü adı verilen, atomların üzerinde konuşlandırıldığı sanal noktalar grubu kabul edilir. Kristal atomları simetrik olarak dizildikleri için öteleme simetrisine sahiptirler. Öteleme simetrisi, bir örgü noktasından örgü sabiti (en yakın iki atom arası uzaklık) mertebesinde hareket edildiğinde aynı özelikte başka bir örgü noktasına varacağımız anlamını taşır.

Katıhal fiziğinde örgü dinamiği konusu ilk olarak tek atomlu örgü (Şekil 1.1) titreşimlerinin incelenmesi ile başlar. Örgü sonsuz uzunluktadır fakat etkileşme öncelikle en yakın komşu atomlar arasında olacağından bu etkileşmeler göz önüne alınır ve en yakın komşu etkileşmesi olarak adlandırılır. Atomların denge konumunda birbirlerine olan uzaklıklarını örgü sabiti (a) kadardır.



Şekil 1.1 Bir boyutta lineer zincir

İki komşu atom arası enerji $\phi(a)$ ise N atomlu zincirin toplam enerjisi

$$E = N\phi(a) \quad (1.1)$$

ile verilir.

Tek atomlu lineer bir zincirde a'ya karşılık küçük yerdeğiştirmeler (u) için toplam enerji ifadesi taylor serisi kullanılarak;

$$E = N\phi + \sum_{i \geq 1} \frac{1}{i!} \frac{\partial^i \phi}{\partial u^i} \sum_n (u_n - u_{n+1})^i \quad (1.2)$$

olacak şekilde yazılır. Seri olarak verilen bu enerji ifadesi bir noktada sonlandırılarak sonuca gidilir; bu da $i=2$ olacak şekilde seçilir. Bu seçime *harmonik yaklaşıklılık* denir. Bunun sebebi örgünün enerji hesabının harmonik osilatörün enerji hesabıyla aynı olmasından dolayıdır. Enerji ifadesinde $i=2$ 'den sonraki terimler harmonik olmayan (anharmonik) terimler olarak isimlendirilirler. Bu yaklaşıklılığın kullanılması şu avantajları sağlar:

1. Bu ifade bir sonuç çıkarmak için matematiksel olarak uygundur.
2. Bu yaklaşıklılıkla pek çok fiziksel sistem tanımlanabilir.
3. Karmaşık problemleri daha basite indirgeyerek çözümlemek mümkün olur.

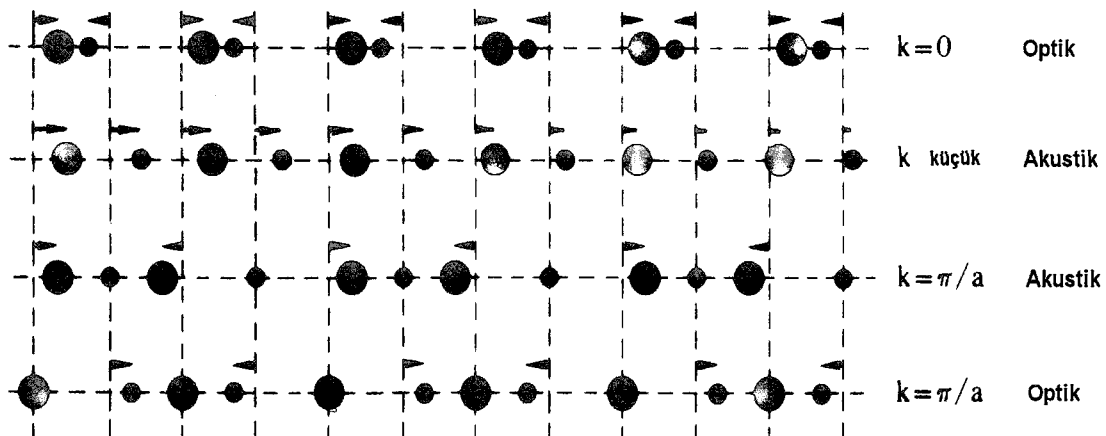
Farklı iki atom içeren bir boyutta atomik zincirde, büyük kütleli atomların birbirine doğru hareketiyle oluşan akustik mod, diğer hareketler sonucu oluşan optik mod olmak üzere iki farklı mod vardır (Şekil 1.2). Bunlardan optik modun titreşim enerjisi akustik moda göre daha fazladır. Akustik ve optik modlardan her biri enine ve boyuna titreşim olmak üzere iki şekilde gerçekleşir. Bu titreşimlerden titreşim yönü dalga vektörüne paralel olan boyuna, titreşim yönü dalga vektörüne dik olan ise enine titreşim olarak adlandırılır.

Bünyesinde p atom bulunduran üç boyutlu kristal için 3p adet mod oluşur. Bunlardan üç tanesi akustik, 3p-3 tanesi ise optik moddur. Bu modların üç boyutta hesaplanabilmesi için 3x3'lük matrise ihtiyaç duyulur.

Örgü dalgasının kuantumlu enerjisi;

$$E = \hbar\omega \quad (1.3)$$

ile verilir ve fonon adımı alır. Bu titreşim enerjisi yalnızca $\hbar\omega$ olarak artar ya da azalır.



Şekil 1.2 Bir boyutta iki atomlu lineer zincirde optik ve akustik modlar

Bu çalışmada III-N tipi yarıiletkenlerin (InN, BN, GaN, AlN) titreşim frekansları ile durum yoğunlukları inceleneciktir. III-N grubu yarıiletkenler diğer bileşikler yanında optoelektronik ve ısisal özellikleri yönyle özel bir yer tutarlar. Bu yarıiletkenler çinko-sülfür (zinc-blende) ve hegzagonal wurtzide yapıda bulunabilirler. Yarıiletkenlerin ısisal ve elektronik özelliklerinin anlaşılması için öncelikle ele alınan materyalin örgü dinamiğinin hesaplanması gerekmektedir. Bu da iki farklı yolla (deneysel ve teorik) mümkündür.

Deneysel çalışmalar daha çok wurtzide yapıdaki yarıiletkenlerin örgü dinamiği çalışmalarında bölge merkezi ve bölge sınırında yoğunlaşmaktadır. Fakat teorik çalışmalarda kullanılan modellerde bağ bükülmelerinden doğan etkileşmeler de göz önüne alınır. Bu çalışmada yukarıda anlatılanlara ilaveten fiziksel çekim etkisini de hesaplamlara dahil eden adyabatik bağ yükü modeli (BCM) kullanılmıştır.

Bu çalışmanın ikinci bölümünde yarıiletkenlerin örgü dinamiği hesaplamlarının gelişimi, örgü dinamiği hesaplamlarında kullanılan modeller ve bu modellerin farklılıklarını, ile üstünlükleri gösterilmiştir.

Üçüncü bölümde ise III-N tipi yarıiletkenlerin titreşim özelliklerinin incelenmesinde kullanılan Adyabatik bağ yükü modeli (BCM) ve bu modelde yer alan etkileşmelerin teorisi anlatılmış ve daha sonra bu etkileşmelerin kuvvet sabiti matris hesaplamaları yapılmıştır.

Dördüncü bölümde ise örgü dinamiğinin incelenmesinde kullanılan deneysel tekniklerden nötron saçılması ve foton saçılması teknikleri tanıtılmıştır.

Beşinci ve altıncı bölümlerde sırasıyla III-N tipi yarıiletkenler için hesaplanan fonon dağılımı ve durum yoğunluğu eğrileri verilmiştir. Takip eden yedinci bölümde ise her bir yarıiletkeye ait belirli freksanslarda titreşim vektörleri gösterilmiş, sekizinci ve son bölümde ise fonon dispersiyonu ve durum yoğunluğu eğrileri üzerine yorum ve değerlendirmeler yapılmıştır.

BÖLÜM 2. HOMOPOLAR VE HETEROPOLAR

YARIİLETKENLERİN ÖRGÜ DİNAMİĞİ

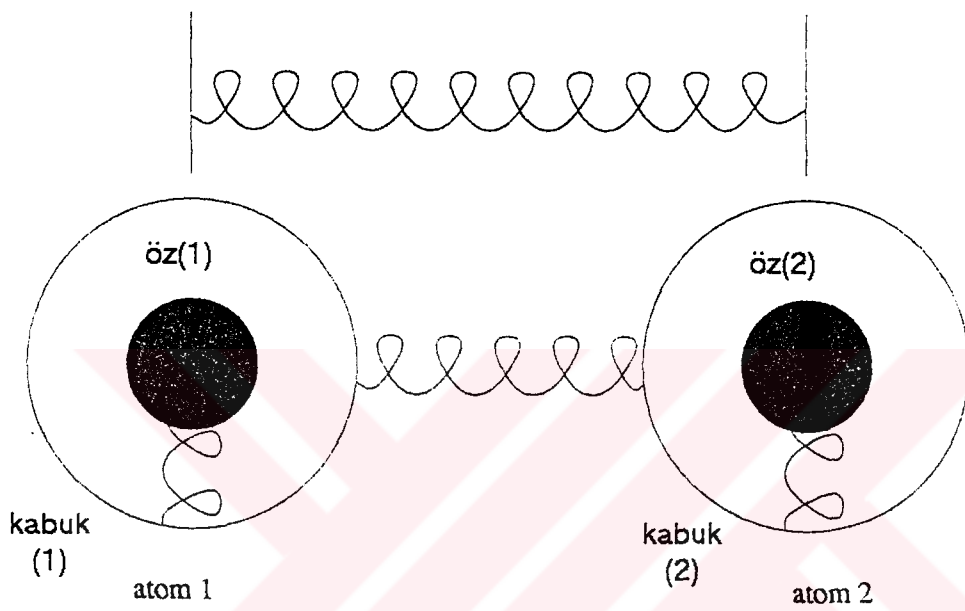
HESAPLAMA METODLARI

2.1 Yarıiletkenlerin Örgü Dinamiği Hesaplama Metodlarının Gelişimi

Kristallerdeki örgü dinamiğinin teorisi Born–Von Karman tarafından 1912’de yayınlanan çalışma ile başladı [1]. Born–Von Karman bu çalışmalarında atomik koordinatlara bağlı potansiyel fonksiyonuyla atomik hareketi tanımladılar. Bu teori 1948 yılında J. Smith tarafından elmasın örgü dinamiğinin incelenmesinde kullanıldı ve Born–Von Karman kuvvet sabitleri, ikinci dereceden elastik sabit ve fonon dispersiyonu gösterildi [2]. 1959 yılında ise aynı teori F. Herman tarafından Germanyumun beşinci komşuluğuna kadar titreşim spektrumunun elde edilmesinde kullanıldı [3]. F. Herman tarafından yapılan bu çalışmada Germanyumun beş kabuğu için toplam 16 farklı parametre kullanıldı. Yalnızca en yakın komşu atomlar arası etkileşimler göz önüne alındığında kuvvet sabiti matrisinin α ve β gibi iki parametre içeriği ve elde edilen bu sonuçların inelastik nötron saçılması verileriyle iyi bir uyum gösterdiği görüldü.

1959 yılında W. Cochran kovalent kristaller için Kabuk modeli geliştirdi [4]. Bu modele göre, iyonların çekirdekleri katı bir öz olarak alınıp dış elektronların da bir kabukta olduğu kabul edildiğinde atom üzerinde bir harmonik hareket tanımlamak mümkün olmaktadır. Bu hareketin enerjisi, altı farklı etkileşmenin toplamı alınarak bulunur. Bunlar Şekil 2.1’de görüldüğü gibi öz(1)-öz(2), kabuk(1)-kabuk(2), öz(1)-kabuk(1), öz(1)-kabuk(2), öz(2)-kabuk(1), öz(1)-kabuk(2) etkileşmeleridirler. Bu model J. L. T. Waung ve G. Dolling tarafından bünyesinde tek tip atom bulunduran (homopolar) ve iki veya daha fazla atom bulunduran (heteropolar) yarıiletkenlere başarılı bir şekilde uygulandı [5, 6]. Bu modelde yapılan hesaplamalarda karşılaşılan

temel güçlük parametre sayısının fazla oluşuydu (14 parametre). Bu zorluğu gidermek ve homopolar yarıiletkenlerin örgü dinamiği hesaplamaları için 1962 yılında Değerlik Kuvvet Modeli ortaya atıldı [7, 8, 9, 10]. Bu model kristalin potansiyel enerjisini, bağlardaki yüklerin etkileşmeleri ve bağ açıları cinsinden tanımladı.



Şekil 2.1 Kabuk Modelinin şematik diagramı

Tanımlanan bu modelde atomlar üzerine etki eden harmonik kuvvetlerin, yörünge hibritleşmesi sebebiyle oldukça kısa mesafeli olduğu kadar yüksek yönlenebilirlikli bir elektronik dağılım bozulmasından kaynaklandığı temel varsayıımı ortaya konuldu.

Harmonik kuvvetlerden doğan değerlik kuvvet alanı kovalent kristallere etkin olarak uygulanabilir. P. N. Keating kovalent kristaller için yaptığı çalışmada [8], potansiyel enerjinin en genel formunu

$$\Phi = \frac{1}{2} \alpha \left(\frac{3}{4r_0^2} \right) \cdot \sum_{i=1}^4 [\Delta(r_{0i}, r_{0i})]^2 + \frac{1}{2} \sum_{s=1}^2 B_s \cdot \left(\frac{3}{4r_0^2} \right) \cdot \sum_{i,j>1} [\Delta(r_{0i}, r_{0j})]^2$$

olacak şekilde ele aldı. Burada α ve B_s parametreleri sırasıyla merkezi ve merkezi olmayan etkileşim kuvvet sabitlerini, i ve j atomları ise $(0,0,0)$ konumundaki atomun birinci komşuluklarını gösterir. Bu modelde altı farklı parametre kullanılmış ve bu parametreler kullanılarak homopolar yarıiletkenlerde yapılan fonon dağılımı eğrileri hesaplamalarının deneysel sonuçlarla iyi bir uyum gösterdiği görülmüştür [10].

1969 yılında R. Banarjee ve Y. P. Varshni rijit iyon modeli geliştirip III-V tipi yarıiletkenlere uyguladılar [11]. Bu modelde iyonlar değişken ve polarize olmayan durgun katılar olarak ele alındı. Bu teori iyonik kristallerin pozitif veya negatif yük taşıyan katı (rijit) iyonlardan olduğunu kabul eder. Burada toplam enerji, kısa menzilde en yakın komşu iyonlar arasında oluşan itici etkileşme ile Coulomb etkileşmesinin toplamıdır. Bununla birlikte bu model çinko sülfür (zinc blende) tipi yarıiletkenler için fonon dispersiyon eğrilerinin başarılı bir açıklamasını yapabilmek için 11 farklı parametreye ihtiyaç duyur [12].

J. Phillips kovalent bağ için, iyonik sanal-potansiyel ve valans dielektrik alanı temel alan bir mikroskopik teori geliştirdi [13]. Bu teoriye göre kovalent materyallerin yük yoğunluğu iki parçaya bölünebilir. Bunlardan ilki iyonlara ait lineer bir yük yoğunluğu, diğer ise iki iyonun oluşturduğu bağın merkezinde olacak şekildedir. Bu durum homopolar yarıiletkenler için yük yoğunluğunun en yakın komşu iyonların oluşturduğu bağın tam ortasında olduğu sonucunu verir. J. Phillips'in bu yaklaşımı Martin tarafından silikonun fonon dispersiyon eğrileri hesabında kullanıldı ve sonuçların deneysel sonuçlarla iyi bir uyum gösterdiği gözlemlendi [14,15].

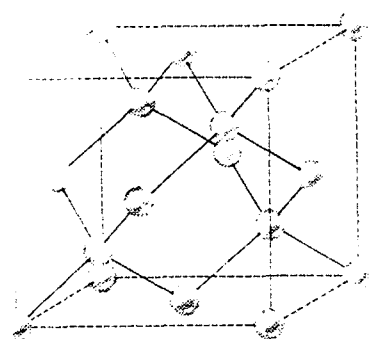
W. Weber [16, 17], J. Phillips ve R. Martin'in modelini daha da geliştirek homopolar yarıiletkenlerin örgü dinamiği hesaplamalarında kullandı ve bu modele Adyabatik Bağ Yükü Modeli (Adiabatic bond charge model, BCM) adını verdi. Bu modelde elektronların yoğunluk noktaları bağ yükü (bond-charge, BC) adını alır. Bu modelde de R. Martin'in modelinde olduğu gibi en yakın komşu iyonlar arasında merkezi potansiyel tanımlanır, ayrıca tüm parçacıklar arası Coulomb etkileşmeleri de göz önüne alınır. BCM, K. C. Rustagi ve W. Weber tarafından heteropolar

yarıiletkenlerin fonon dispersiyon eğrilerinin hesaplanmasında kullanıldı ve deneysel sonuçlarla uyum sağladığı görüldü [18]. Model, B. D. Rajput ve D. A. Browne tarafından II-VI grubu yarıiletkenlerin örgü dinamiğini çalışılabilecek şekilde genişletildi ve elde edilen sonuçların farklı modellerin sonuçlarıyla uyumlu olduğu görüldü [19]. BCM'de çizilen fonon dispersiyon eğrilerinin, diğer modellerle ve deneysel sonuçlarla iyi bir uyum içinde olması modelin başarısını, diğer modellerden daha az parametreyle bunu gerçekleştirmesi de onlara karşı üstünlüğünü gösterir.

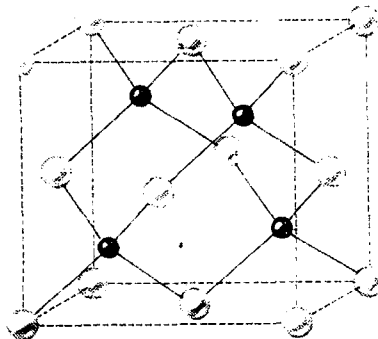
1985 yılında geliştirilen *ab initio* modelinin IV. grup ve III-V grubu yarıiletkenlerin örgü dinamiği hesaplamalarında kullanılmasıyla birlikte elde edilen sonuçların diğer sonuçlarla uyumunda fark edilebilir bir iyileşme olması bu modelin başarısını gösterdi. Bu başarı modelin diğer modeller gibi yarı kuantum mekaniksel olmayıp tam kuantum mekaniksel olması dolayısıyladır. Ayrıca bu model deneysel parametrelere ihtiyaç duymaz. Fakat bu modelde hesaplama yapmak çok güçlü bilgisayarlar gerektirmektedir. Bu modelde elde edilen hacim fonon frekanslarının BCM'de hesaplanan frekanslarla uyum göstermesi BCM'nin verilerin doğruluğunu gösterir [32, 33, 36, 37].

2.2 Born-Von Karman Modeli

Elmas yapıdaki kristaller, yüzey merkezli yapıya (Şekil 2.4) bir örgü noktası eklenmesiyle elde edilir. Bu örgü noktası $\left(\frac{1}{4}, \frac{1}{4}, \frac{1}{4}\right)$ noktasında konumlanır. Çinko sülfür (zinc blende) yapı elmas yapıya göre farklılıklar gösterir; bunlar farklı iyonların birbirleriyle bağ yapmasından ileri gelir. Elmas ve çinko-sülfür yapıları sırasıyla Şekil 2.2 ve Şekil 2.3'de görülmektedir. Elmas ve çinko-sülfür yapıları birim hücrelerinde aynı sayıda atom içermelerine karşın atomların bağlanma yönleri ve bağ açılarında farklılık gösterirler.



Şekil 2.2 Elmas yapı



Şekil 2.3 Çinkosülfür yapı

Burada öncelikle atomların konumlarının nasıl belirleneceği önem kazanmaktadır.

Bunu bileyebilmek için yüzey merkezli yapı'nın (fcc) örgü temel vektörleri yazılır.

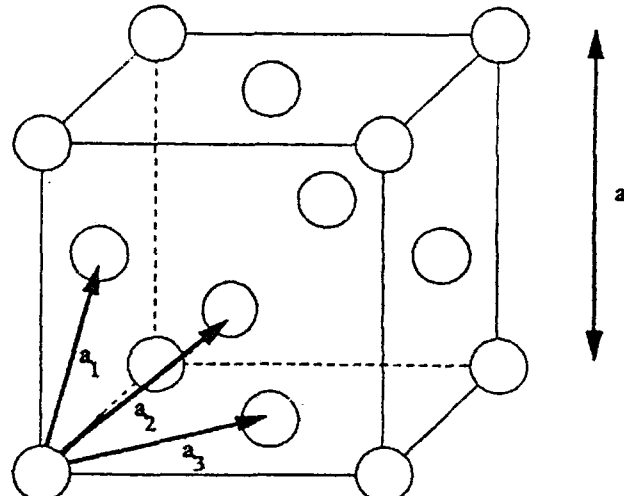
Bunlar;

$$a_1 = \frac{a}{2}(011)$$

$$a_2 = \frac{a}{2}(101)$$

$$a_3 = \frac{a}{2}(110)$$

olarak verilir.



Şekil 2.4 FCC (Yüzey Merkezli) yapı

Bu örgü noktalarından herhangi birisinde bulunan atomun konumu;

$$r(lb) = r(l) + r(Ob) \quad (2.1)$$

$$r(lb) = l_1 \cdot a_1 + l_2 \cdot a_2 + l_3 \cdot a_3 + r(Ob)$$

ifadesi ile verilir. Burada (l_1, l_2, l_3) pozitif veya negatif değişkenler, (a_1, a_2, a_3) örgü temel vektörleri, $r(l)$ hücrenin konum ifadesi ve $r(Ob)$ ise hücredeki parçacığın orijine göre konumudur. Denklem (2.1)'de l birim hücreyi, b ise atom tipini gösterir. $r(O1) = a \cdot (0,0,0)$, $r(O2) = \frac{a}{4} (1,1,1)$ sırasıyla birinci ve ikinci atomların konum ifadeleridir. $u(lb)$, b atomunun denge konumuna olan uzaklığı olmak üzere, kusursuz bir kristalin kinetik enerjisi;

$$T = \frac{1}{2} \sum_{l,b,\alpha} M_b \cdot \dot{u}_b^2 \quad (2.2)$$

ile verilir. Burada ($\alpha = x, y, z$) kartezyen koordinatları, M_b ifadesi b . atomun kütlesini gösterir.

Bir kristalin potansiyel enerjisi yer değiştirmeler cinsinden [34]

$$\Phi = \Phi_0 + \sum_{lb\alpha} \Phi_\alpha(lb) u_\alpha(lb) + \frac{1}{2} \sum_{\substack{lb\alpha \\ l'b'\beta}} \Phi_{\alpha\beta}(lb; l'b') u_\alpha(lb) u_\beta(l'b') \dots \quad (2.3)$$

ifadesiyle tanımlanır. Burada Φ_0 dinamik problem için önemli olmayan, kristalin tüm atomlarının denge konumlarının potansiyel enerjisini gösteren bir sabittir; $(l'b')$ terimi (b') atomunun denge konumuna olan uzaklığını gösterir. İfadeden $\Phi_\alpha(lb)$ ve $\Phi_{\alpha\beta}(lb; l'b')$ terimleri ise;

$$\Phi_\alpha(lb) = \frac{\partial \Phi}{\partial u_\alpha(lb)} \Big|_0 = 0 \quad (2.4)$$

$$\Phi_{\alpha\beta}(lb; l'b') = \frac{\partial^2 \Phi}{\partial u_\alpha(lb) \partial u_\beta(l'b')} \Big|_0 \quad (2.5)$$

olarak verilir. Burada Denklem (2.4)'ün sıfır olması atomun dengede olduğunu yanı etkiyen net kuvvetin sıfır olduğunu belirtir.

Harmonik yaklaşılıklıkla kristalin Hamiltoniyeni

$$H = \Phi_0 + \frac{1}{2} \sum_{l,b,\alpha} M_b \cdot \dot{u}_b^2 + \frac{1}{2} \sum_{\substack{lba \\ l'b'\beta}} \Phi_{\alpha\beta}(lb; l'b') u_\alpha(lb) u_\beta(l'b') \quad (2.6)$$

olarak yazılır. Bu yazımda harmonik olmayan terimler göz önüne alınmamıştır.

l. birim hücredeki *b* atomun hareket denklemi

$$M_b \ddot{u}_\alpha(lb) = - \frac{\partial \Phi}{\partial u_\alpha(lb)} - \sum_{l'b'\beta} \Phi_{\alpha\beta}(Ob; l'b') u_\beta(l'b') \quad (2.7)$$

olarak yazılır. Bu denklemde $\Phi_{\alpha\beta}(lb; l'b')$ ifadesi atomik kuvvet sabiti olarak tanımlanır.

Kristallerde örgü öteleme simetrisinden dolayı kuvvet sabiti matrisi için iki önemli koşul ortaya çıkar [35];

1. $\Phi_{\alpha\beta}(lb; l'b') = \Phi_{\alpha\beta}(Ob; (l' - l)b')$ (2.8)

2. Atomun denge konumundaki etkileşiminin tesbiti için tüm atomlarla olan etkileşimi üzerinden toplam alınır:

$$\Phi_{\alpha\beta}(lb; lb) = - \sum_{l'b' \neq lb} \Phi_{\alpha\beta}(lb; l'b') \quad (2.9)$$

Buradaki $\Phi_{\alpha\beta}(lb;lb)$ kuvvet sabiti ifadesi öz (self) terimi olarak adlandırılır.

Öteleme simetrisinden dolayı hareket denklemi olan Denklem (2.7) tekrar yazılırsa,

$$M_b \ddot{u}_\alpha(lb) = - \sum_{l'b'\beta} \Phi_{\alpha\beta}(Ob;l'b') u_\beta(l'b') \quad (2.10)$$

olur. Hareket denklemindeki $u_\beta(l'b')$ ifadesi dalga vektörüne bağlı olarak aşağıdaki gibi yazılabılır [35]:

$$u_\alpha(lb;q) = \frac{1}{\sqrt{M_b}} \cdot \sum_q U_\alpha(b;q) \cdot \exp \{ i[q \cdot x(l) - wt] \} \quad (2.11)$$

Burada q dalga vektörü, $U_\alpha(b;q)$ ifadesi de l 'den bağımsız bir sabittir. Denklem (2.11), Denklem (2.10)'da yerine konulur ve hesaplamalar yapılrsa

$$w^2 \cdot U_\alpha(q;b) = \sum_{l'} D_{\alpha\beta}(bb';q) \cdot U_\beta(q;b') \quad (2.12)$$

sonucu bulunur. Denklem (2.12)'deki $D_{\alpha\beta}(bb';q)$ ifadesi D tipi dinamik matris olarak adlandırılır:

$$D_{\alpha\beta}(bb';q) = \frac{1}{\sqrt{M_b M_{b'}}} \cdot \sum_l \Phi_{\alpha\beta}(Ob;l'b') \cdot \exp \{ i[q \cdot x(l')] \} \quad (2.13)$$

2.3 Rijit İyon Modeli

Bu modelde iyonik kristallerin pozitif veya negatif birim yüke sahip katı (rijit) iyonlardanoluştuğu kabul edilir. Bulunan sonuçlarda iyonlar arası Coulomb etkileşmeleri ve kristalin durgun halinde hesaplanan kısa menzil etkileşmeleri

birleştirilir. Bu kısa menzil etkileşmesi en yakın komşu atomlar üzerinden hesaplanır. İki iyonun etkileşim potansiyel enerjisi,

$$\phi_{bb'} = \frac{e_b \cdot e_{b'}}{r} + \phi_{bb'}^R(r) \quad (2.14)$$

ile verilir. Burada ilk terim Coulomb etkileşmelerini, ikinci terim ise kısa menzil etkileşmelerini gösterir. Çinko-sülfür (zinc-blende) yapıdaki kristallerde merkezi iyon 4 adet en yakın komşu iyona sahiptir. Bundan dolayı birim hücredeki toplam enerji,

$$E(r) = -\frac{\alpha_m \cdot (ze)^2}{r} + 4\phi^R(r) \quad (2.15)$$

bağıntısıyla verilir. Burada α_m Madelung sabitidir. Bu enerji ifadesinin minimum değeri, $r = r_0$ olması durumunda elde edilir. Bu da en yakın komşu atomların dengede olduğu durumdur. Bu durumda enerji,

$$E(r) = -\frac{\alpha_m \cdot (ze)^2}{r} + 4\phi^R(r) = 0 \quad (2.16)$$

olur. Buradan kristalin toplam enerjisine ulaşmak istenirse N tane birim hücre için toplam enerjinin

$$U = N \cdot E(r) \quad (2.17)$$

olduğu görülür.

İyonik bir kristalin sıkışabilirliği (kompresibilitesi),

$$\frac{1}{K} = \Omega \cdot \left[\frac{\partial^2 U}{\partial \Omega^2} \right]_{r=r_0} \quad (2.18)$$

olarak tanımlanır. Burada Ω kristalin hacmidir ve $N \cdot \frac{\alpha^3}{4}$ olarak alınır. Denklem (2.15) ve Denklem (2.17), Denklem (2.18)'de yerine konur ve hesaplamalar yapılırsa;

$$\frac{1}{K} = \frac{r_0^2}{9V_a} \left[-\frac{2\alpha_M (ze)^2}{r_0^3} + 4\phi^{R''}(r_0) \right]$$

sonucu bulunur. Burada V_a birim hücre hacmidir.

Rijit iyon modelinde radyal etkileşme kuvvet sabiti matrisi,

$$-\Phi_{\alpha\beta}(000, \frac{1}{4} \frac{1}{4} \frac{1}{4}) = \begin{bmatrix} \frac{1}{3}(A+2B) & \frac{1}{3}(A-B) & \frac{1}{3}(A-B) \\ \frac{1}{3}(A-B) & \frac{1}{3}(A+2B) & \frac{1}{3}(A-B) \\ \frac{1}{3}(A-B) & \frac{1}{3}(A-B) & \frac{1}{3}(A+2B) \end{bmatrix}$$

olarak verilir. Burada A ve B sırasıyla $\phi^{R''}(r_0)$, $\frac{1}{r_0}\phi^{R''}(r_0)$ olarak alınır.

2.4 Değerlik Kuvvet Modeli

Değerlik kuvvet modelinde etkileşen atomların bir kuvvet alanı içerisinde olduğu kabul edilir. Bu kuvvet alanı içerisinde oluşan enerji değişimlerini doğuran iki sebep, en yakın komşu atomlarla olan bağ boyu ve atomlar arası bağ açılarının değişimidir. Burada toplam enerji,

$$\Phi = \frac{1}{2} \cdot k_r \cdot \sum (\delta r_{ij})^2 + k_{rr} \cdot \sum (\delta r_{ij}) \cdot (\delta r_{ik}) \quad (2.19)$$

olacak şekildedir. İfadelerdeki ilk terim komşu iyonlar olan i ve j iyonları arasındaki bağ gerilmesinden doğan toplam enerjiyi içerir. İkinci terim ise i, j ve k iyonları arasındaki bağ büükülmesinden doğan enerjiyi anlatır. Bu etkileşmenin kuvvet sabiti matrisinin denklem formu,

$$\Phi_{\alpha\beta}^r(i, j) = \frac{\partial}{\partial X_\beta(j)} \left(k_r \cdot \delta r_{ij} \cdot \frac{\partial \delta r_{ij}}{\partial X_\alpha(i)} \right) \quad (2.20)$$

ile verilir. İfadelerdeki r_0 en yakın komşu iyonlar arasındaki denge bağ boyu, r_{ij} ise i ve j iyonlarının aralarındaki mesafedir. Bu uzaklık ifadesi,

$$r_{ij} = \sqrt{\sum_{\gamma=1,3} (X_\gamma(i) - X_\gamma(j))^2} \quad (2.21)$$

olarak verilir. Denklem (2.20) için $(\delta r_{ij})^2 = (r_{ij} - r_0)^2$ olarak alınarak, Denklem (2.21), Denklem (2.20)'de yerine yazılırsa,

$$\Phi_{\alpha\beta}^r(i, j) = \frac{\partial}{\partial X_\beta(j)} \cdot \frac{1}{r_{ij}} \cdot (X_\alpha(i) - X_\alpha(j)) \quad (2.22)$$

sonucuna ulaşılır. Bu sonucun türevi bize kuvvet sabiti ifadesini verir ve aşağıdaki gibi yazılır:

$$\Phi_{\alpha\beta}^r(i, j) = -r_0^{-2} \cdot k_r \cdot (X_\alpha(i) - X_\alpha(j)) \cdot (X_\beta(i) - X_\beta(j)) \quad (2.23)$$

Birim hücredeki atomların pozisyonları sırasıyla $(0,0,0)$ ve $(\frac{1}{4}, \frac{1}{4}, \frac{1}{4})$ olarak alınırsa,

Born – Von Karman modeli kuvvet sabitleri

$$\alpha^r = \beta^r = \frac{k_r}{3}$$

olarak yazılır. Etkileşmede ikinci terim de göz önüne alınırsa

$$\alpha^{rr} = \beta^{rr} = \frac{2k_{rr}}{3}$$

olur.

BÖLÜM 3. ADYABATİK BAĞ YÜKÜ MODELİ (BCM)

3.1 Adyabatik Bağ Yükü Modelinin Tanımlanması

Adyabatik bağ yükü modeli, periyodik tabloda bulunan III-V ve II-VI grubu bileşikler ile IV. grup bileşiklerin fonon dispersiyon eğrilerinin hesaplanması sırasında kullanılan metottur [16,18,19]. Bu metoda göre örgü dinamiğinin kuantum mekaniksel problemleri nokta yükler kullanarak basit klasik formalizme dönüştürülp çözümlenebilir.

Adyabatik bağ yükü modelinde yarıiletkenlerin değerlik elektronlarının yoğunluk noktaları “bağ yükü (BC)” olarak adlandırılır. Bağ yüklerinin yerini belirlerken atomların elektronegatifliği göz önüne alınır. Bağ yükleri elektronegatifliği daha yüksek olan atoma yakın olacak şekilde yerleşir. Bu yerleşim, tek tip atoma sahip (homopolar) kristallerde en yakın komşu atomların bağlarının tam ortasında yer alırken, III-V tipi yarıiletkenlerde en yakın atomlar arasındaki bağı $5/3$ oranında bölecek şekilde olur. Valans elektron yoğunluğu III-V grubu bileşiklerde maksimumdur. Bu durum II-VI tipi yarıiletkenlerin daha iyonik olması anlamını taşır.

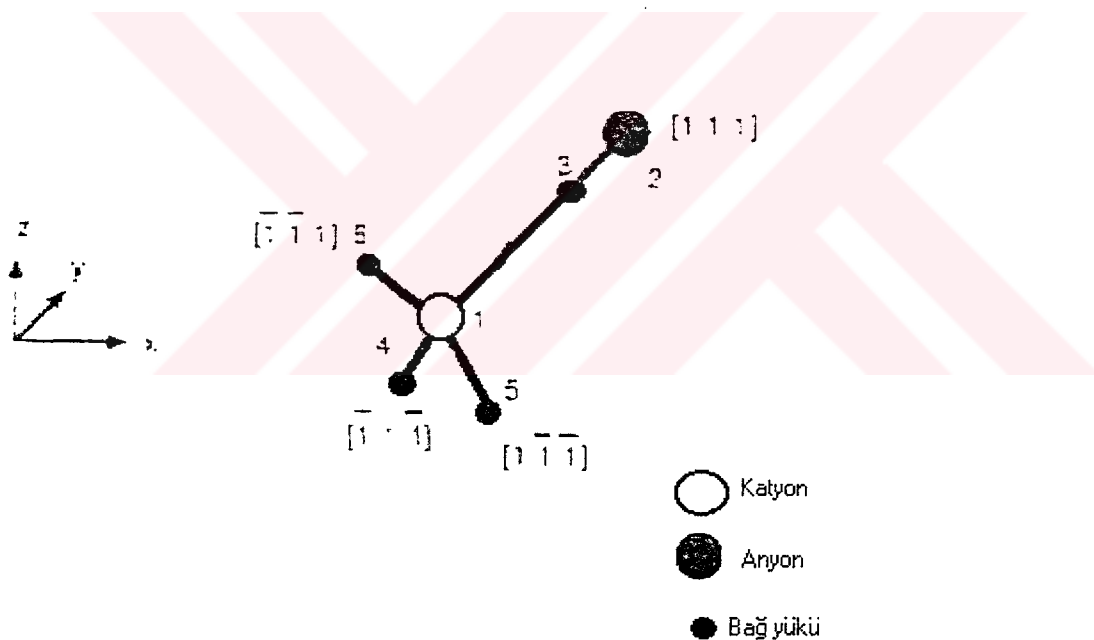
Adyabatik bağ yükü modelinde (BCM) deneysel itme-çekme etkileşmesi olarak tanımlanan p parametresine bağlı olarak bağ yüklerinin iyonlara göre konumlarını tespit etmek mümkündür. Buna göre, r_0 bağ uzaklığını göstermek üzere, bağ yükleri anyondan ve katyondan aşağıdaki verilen uzaklıklarda yerlesirler.

$$r_1 = r_0 \frac{(1+p)}{2} \quad (3.1)$$

$$r_2 = r_0 \frac{(1-p)}{2} \quad (3.2)$$

Bu ifadede r_1 , bağ yükünün katyona, yani III. grup elemente olan uzaklığı, r_2 de anyona yani V. grup elemente olan uzaklığını gösterir. Heteropolar yarıletkenlere ait BCM birim hücresi Şekil 3.1'de görülmektedir.

Homopolar bileşikler için $p = 0$ 'dır. Bu da bağ yükünün katyona ve anyona olan uzaklığının aynı olduğu anlamına gelir ve bağ yükü bağın tam ortasında yer alır. Bunun sebebi homopolar bileşiklerin aynı elektronegatifliği sahip tek tip atomlardan oluşmasıdır. Fakat heteropolar yarıletkenlerde farklı iki atom içerdiginden bağ yükü elektronegatifliği daha yüksek olan atoma yakını olacak şekilde konumlanır. III-V grubu bileşikler için $p = \frac{1}{4}$, II-VI grubu bileşikler için $p = \frac{1}{3}$ olur. Tüm yarıletkenlerde bağ yükünün değeri Z_e olarak alınır.



Şekil 3.1 III-V tipi yarıletkenlere ait BCM birim hücresi

3.2 Adyabatik Bağ Yükü Modelinde Radyal Etkileşmeler

Kristalin toplam enerjisi tüm parçacıkların etkileşme enerjilerinin toplamına eşittir. [16,17,18]. Bir kristalin toplam potansiyel enerjisi şu şekilde yazılır:

$$\Phi = \frac{1}{2} \sum_{lb, l'b'} \phi_{bb'}(r(lb; l'b')) \quad (3.3)$$

Buradaki $(1/2)$ terimi hesaplamaların tekrarlanmasını önlemek için kullanılmıştır. Bu durumda etkileşimler yalnızca bir defa alınmış olacaktır. İfadeden $\phi_{bb'}(r_{bb'})$ yalnızca parçacıkların aralarındaki mesafeye bağlı bir potansiyeli gösterir. Denklemdeki $r(lb; l'b')$ terimi ise şu şekilde verilir:

$$\begin{aligned} r(lb; l'b') &= [((x(lb) - x(l'b'))^2 + 2.((x(lb) - x(l'b')).(u(lb) - (u(l'b')) \\ &\quad + (u(lb) - (u(l'b'))^2)]^{1/2} \\ r(lb; l'b') &= [((x(lb) - x(l'b')) + (u(lb) - (u(l'b'))^2)]^{1/2} \end{aligned} \quad (3.4)$$

Yukarıdaki ifadedeki terimler aşağıdaki verilerle düzenlenirse,

$$x(lb; l'b') = (x(l'b') - x(lb))$$

$$u(lb; l'b') = (u(l'b') - u(lb))$$

$$r(lb; l'b') = [((x(lb; l'b') + (u(lb; l'b'))^2)]^{1/2}$$

sonucuna ulaşılır. İfadeden $x(lb)$ ve $x(l'b')$ değerleri, b ve b' atomlarının denge konum vektörleri, $u(lb)$ ve $u(l'b')$ değerleri ise bu parçacıklar için uzaklık vektörleridir.

$r(lb; l'b')$ ifadesi Denklem (3.3)'de yerine konulursa;

$$\Phi = \frac{1}{2} \sum_{lb} \sum_{l'b'} \phi_{bb'} [(\|x(lb; l'b') + u(lb; l'b')\|)]^{1/2} \quad (3.5)$$

ifadesi elde edilir.

Denklem(3.5)'teki potansiyel ifadesi, denge durumunda uzaklık vektörlerinin sıfır olduğu göz önüne alınarak genişletilecek olursa [34];

$$\begin{aligned} \Phi = & \frac{1}{2} \sum_{lb} \phi_{bb'} (\|x(lb; l'b')\|) \\ & + \frac{1}{2} \sum_{lb} \phi_\alpha(lb; l'b') \cdot u_\alpha(lb; l'b') \\ & + \frac{1}{4} \sum_{\substack{lb \\ l'b' \\ \alpha\beta}} \phi_{\alpha\beta}(lb; l'b') \cdot u_\alpha(lb; l'b') \cdot u_\beta(lb; l'b') \\ & + \frac{1}{12} \sum_{\substack{lb \\ l'b' \\ \alpha\beta\gamma}} \phi_{\alpha\beta\gamma}(lb; l'b') \cdot u_\alpha(lb; l'b') \cdot u_\beta(lb; l'b') \cdot u_\gamma(lb; l'b') \\ & + \dots \end{aligned} \quad (3.6)$$

sonucuna ulaşılır.

Denklem (3.6)'daki $\phi_\alpha(lb; l'b')$, $\phi_{\alpha\beta}(lb; l'b')$, $\phi_{\alpha\beta\gamma}(lb; l'b')$ ifadeleri

$r = (x_\alpha^2 + x_\beta^2 + x_\gamma^2)^{1/2}$ alınarak denge durumu için aşağıdaki gibi bulunur :

$$\phi_\alpha(lb; l'b') = \frac{\partial}{\partial x_\alpha} \phi_{bb'}(r) \Big|_{r=x(lb; l'b')} = \frac{x_\alpha}{r} \phi'_{bb'}(r) \Big|_{r=x(lb; l'b')} \quad (3.7)$$

$$\phi_{\alpha\beta}(lb; l'b') = \frac{\partial}{\partial x_\alpha \partial x_\beta} \phi_{bb'}(r) \Big|_{r=x(lb; l'b')}$$

$$= \left\{ \frac{x_\alpha x_\beta}{r^2} [\phi''_{bb'}(r) - \frac{1}{r} \phi'_{bb'}(r)] + \frac{\delta_{\alpha\beta}}{r} \phi'_{bb'}(r) \right\} \Big|_{r=x(lb; l'b')} \quad (3.8)$$

$$\phi_{\alpha\beta\gamma}(lb; l'b') = \frac{\partial}{\partial x_\alpha \partial x_\beta \partial x_\gamma} \phi_{bb'}(r) \Big|_{r=x(lb; l'b')}$$

$$\phi_{\alpha\beta\gamma}(lb; l'b') = \left\{ \frac{x_\alpha x_\beta x_\gamma}{r^3} [\phi'''_{bb'}(r) - \frac{3}{r} \phi''_{bb'}(r) + \frac{3}{r^2} \phi'_{bb'}(r)] \right. \quad (3.9)$$

$$\left. + \frac{x_\alpha \delta_{\beta\gamma} + x_\beta \delta_{\alpha\gamma} + x_\gamma \delta_{\alpha\beta}}{r^2} [\phi''_{bb'}(r) - \frac{1}{r} \phi'_{bb'}(r)] \right\} \Big|_{r=x(lb; l'b')}$$

Denklem (3.6)'nın üçüncü terimi alınıp, konum vektörleri açılarak yazılırsa,

$$\begin{aligned} \Phi_2 &= \frac{1}{4} \sum_{lb\alpha} \sum_{l'b'\beta} \phi_{\alpha\beta}(lb; l'b') \cdot u_\alpha(lb; l'b') \cdot u_\beta(lb; l'b') \\ \Phi_2 &= \frac{1}{4} \sum_{lb\alpha} \sum_{l'b'\beta} \phi_{\alpha\beta}(lb; l'b') [(u_\alpha(l'b') - u_\alpha(lb)) \cdot (u_\beta(l'b') - u_\beta(lb))] \\ \Phi_2 &= \frac{1}{4} \sum_{lb\alpha} \sum_{l'b'\beta} \phi_{\alpha\beta}(lb; l'b') [u_\alpha(lb)u_\beta(lb) - u_\alpha(lb)u_\beta(l'b')] \\ &\quad - u_\alpha(l'b')u_\beta(lb) + u_\alpha(l'b')u_\alpha(l'b') \end{aligned} \quad (3.10)$$

ifadesine ulaşılır. Burada $[(u_\alpha(lb)u_\beta(lb) - u_\alpha(lb)u_\beta(l'b'))]$ ifadesi bir sonraki ifadeye eşit olduğundan denklem;

$$\Phi_2 = \frac{1}{2} \sum_{lb\alpha} \sum_{l'b'\beta} \phi_{\alpha\beta}(lb; l'b') [u_\alpha(lb)u_\beta(lb) - u_\alpha(lb)u_\beta(l'b')]$$

olacak şekilde yazılabilir.

Yukarıdaki eşitlikle, (2.3) eşitliği karşılaştırılırsa aşağıdaki sonuca ulaşılır:

$$\Phi_{\alpha\beta}(lb; l'b') = \sum_{l'b'} \phi(lb; l'b') \quad (3.11)$$

Buradaki $\Phi_{\alpha\beta}(lb; l'b')$ ifadesi toplam enerjiyi; $\phi(lb; l'b')$ ifadesi ise iki atom arasındaki enerjiyi ifade etmektedir:

$$-\Phi_{\alpha\beta}(lb; l'b') = -\phi_{\alpha\beta}(lb; l'b') \quad (lb \neq l'b') \quad (3.12)$$

Buradaki ifade farklı konumlarında bulunan iyonlar arasındaki tüm etkileşim enerjileri toplamının bu iki iyon arasındaki etkileşim enerjisine eşit olduğunu gösterir.

Adyabatik bağ yükü modeline göre, iki iyon arasında altı farklı tipte etkileşme mevcuttur. Bunlar iyon-iyon, iyon-BC(bağ yükü), BC-BC(bağ yükü-bağ yükü), Keating, bağ bükülmesi (bond bending) ve Coulomb etkileşmeleridir. İyon-iyon etkileşmeleri ϕ_{i-i} ile, iyon-BC etkileşmeleri φ ile gösterilir. Adyabatik bağ yükü modelin birim hücresi Şekil 1'de görülmektedir. Birim hücrenin bünyesinde bulunan altı parçacığın konum vektörleri aşağıdaki gibidir:

$$\begin{aligned} x(1) &= (0,0,0) \\ x(2) &= a/4(1,1,1) \\ x(3) &= (1+p)a/8(1,1,1) \\ x(4) &= (1+p)a/8(-1,1,-1) \\ x(5) &= (1+p)a/8(1,-1,-1) \\ x(6) &= (1+p)a/8(-1,-1,1) \end{aligned}$$

3.2.1 İyon-iyon etkileşmesi kuvvet sabiti matrisleri

İyon – iyon etkileşiminin hesaplamak için Denklem (3.8) kullanılacaktır. Öncelikle $a(0,0,0)$ konumunda bulunan iyonla, $a/4(1,1,1)$ konumunda bulunan iyon arasındaki etkileşimin hesaplanması için fark ifadesi yazılsrsa,

$$\mathbf{r} = \mathbf{x}(lb; l'b') - \mathbf{x}(lb)$$

$$\mathbf{r} = a/4(1,1,1) - a(0,0,0)$$

$$\mathbf{r} = a/4(1,1,1).$$

bulunur. Bulunan bu farkın büyüklüğü yazılacak olursa,

$$r^2 = x_\alpha^2 + x_\beta^2 + x_\gamma^2 = \frac{a^2}{16} + \frac{a^2}{16} + \frac{a^2}{16} = \frac{3a^2}{16} \quad (3.13)$$

olduğu görülür.

İyon-iyon etkileşimi kuvvet sabiti matrisi (3×3) boyutunda bir matristir. Matris, terimlerinin her biri hesaplanıp yerine yazılarak oluşturulur.

Şimdi matrisin terimlerinin nasıl hesaplandığını inceleyelim:

[11] terimi;

$x_\alpha = \frac{a}{4}$ ve $x_\beta = \frac{a}{4}$ alınarak Denklem (13)'teki ifade ile birlikte Denklem (8)'de yerine konulursa,

$$\phi_{11} = \frac{1}{3} \left[\phi''_{bb'} - \frac{1}{r_0} \phi'_{bb'} \right] + \frac{1}{r_0} \phi'_{bb'}$$

$$\phi_{11} = \frac{1}{3} \phi''_{bb'} + \frac{2}{3r_0} \phi'_{bb'}$$

bulunur. İfadede α ve β değerleri aynı olduğu için Denklem (3.8)'de ikinci terimin bir anlamı vardır. Diğer durumlarda ise bu ifade sıfırdır.

[12] terimi;

Yukarıdaki şekilde hesaplamalar yapılır, yalnız bu terimde α ve β değerleri farklı olduğundan Denklem (3.8)'deki ikinci terim sıfır alınır ve sonuç

$$\phi_{12} = \frac{1}{3} \phi''_{bb'} - \frac{1}{3r_0} \phi'_{bb'}$$

olarak bulunur. Aynı şekilde matrisin diğer elemanları için işlemler yapıldıktan sonra iyon-iyon etkileşim kuvvet sabiti matrisi elde edilir. Bilindiği gibi (000) konumunda bulunan iyonun dört komşuluğu vardır. Bunlar hesaplamalarda sırasıyla (2,2',2'',2'') olarak gösterilecektir. $X(1) = (0,0,0)$ ve $X(2) = \frac{a}{4}(1,1,1)$ konumlarında bulunan iki iyonun etkileşim kuvvet matrisi

$$-\{\Phi_{\alpha\beta}\}(1-2) = \frac{1}{3} \phi''_{i-i} \begin{pmatrix} 1 & 1 & 1 \\ 1 & 1 & 1 \\ 1 & 1 & 1 \end{pmatrix} + \frac{1}{3r_0} \phi'_{i-i} \begin{pmatrix} 2 & -1 & -1 \\ -1 & 2 & -1 \\ -1 & -1 & 2 \end{pmatrix} \quad (3.14)$$

olarak bulunur. Birinci iyon ile ikinci iyon etkileşim matrisi bu şekilde bulunduktan sonra, diğer iyonlarla olan etkileşim hesaplamalarına geçilebilir.

$X(1) = (0,0,0)$ ve $X(2') = \frac{a}{4}(-1,-1, 1)$ konumlarında bulunan iki iyonun etkileşim kuvvet matrisi

$$-\{\Phi_{\alpha\beta}\}(1-2') = \frac{1}{3}\phi''_{i-i} \begin{pmatrix} 1 & 1-1 \\ 1 & 1-1 \\ -1 & -1 & 1 \end{pmatrix} + \frac{1}{3r_0}\phi'_{i-i} \begin{pmatrix} 2-1 & 1 \\ -1 & 2 & 1 \\ 1 & 1 & 2 \end{pmatrix} \quad (3.15)$$

olarak bulunur.

$X(1) = (0, 0, 0)$ ve $X(2'') = \frac{a}{4}(-1, 1, -1)$ konumlarında bulunan iki iyonun etkileşim kuvvet matrisi

$$-\{\Phi_{\alpha\beta}\}(1-2'') = \frac{1}{3}\phi''_{i-i} \begin{pmatrix} 1-1 & 1 \\ -1 & 1-1 \\ 1-1 & 1 \end{pmatrix} + \frac{1}{3r_0}\phi'_{i-i} \begin{pmatrix} 2 & 1 & -1 \\ 1 & 2 & 1 \\ -1 & 1 & 2 \end{pmatrix} \quad (3.16)$$

olarak yazılır.

$X(1) = (0, 0, 0)$ ve $X(2''') = \frac{a}{4}(1, -1, 1)$ konumlarında bulunan iki iyonun etkileşim kuvvet matrisi ise

$$-\{\Phi_{\alpha\beta}\}(1-2''') = \frac{1}{3}\phi''_{i-i} \begin{pmatrix} 1-1-1 \\ -1 & 1 & 1 \\ -1 & 1 & 1 \end{pmatrix} + \frac{1}{3r_0}\phi'_{i-i} \begin{pmatrix} 2 & 1 & 1 \\ 1 & 2 & -1 \\ 1 & -1 & 2 \end{pmatrix} \quad (3.17)$$

şeklindedir. İyonlar arası etkileşimin kuvvet sabiti matrisleri hesaplandığına göre toplam

kuvvet sabiti matrisi yazılabilir.

Toplam iyon-iyon radyal etkileşim kuvvet sabiti matrisi aşağıdaki gibi yazılır:

$$-\{\Phi_{\alpha\beta}\}(iyon-iyon) = -\{\Phi_{\alpha\beta}\}(1-2) + (-\{\Phi_{\alpha\beta}\}(1-2')) + (-\{\Phi_{\alpha\beta}\}(1-2''))$$

$$+ (-\{\Phi_{\alpha\beta}\}(1-2''))$$

$$-\{\Phi_{\alpha\beta}\}(iyon - iyon) = \frac{4}{3} \phi''_{i-i} \begin{pmatrix} 1 & 0 & 0 \\ 0 & 1 & 0 \\ 0 & 0 & 1 \end{pmatrix} + \frac{4}{3r_0} \phi'_{i-i} \begin{pmatrix} 2 & 0 & 0 \\ 0 & 2 & 0 \\ 0 & 0 & 2 \end{pmatrix} \quad (3.18)$$

3.2.2 İyon- bağ yükü radyal etkileşim kuvvet sabiti matrisleri

İyon – bağ yükü etkileşimi hesaplamak için Denklem (3.8) kullanılacaktır.

Öncelikle $a(0,0,0)$ konumunda bulunan iyonla, $\frac{a(1+p)}{8} \cdot (1,1,1)$ konumunda bulunan bağ yükü arasındaki etkileşimin hesaplanması için fark ifadesi

$$r = x(lb; l'b') = x(l'b') - x(lb)$$

$$r = \frac{a(1+p)}{8} \cdot (1,1,1) - a(0,0,0)$$

$$r = \frac{a(1+p)}{8} \cdot (1,1,1)$$

olarak yazılır. Bulunan bu farkın büyüklüğü yazılacak olursa

$$r^2 = x_\alpha^2 + x_\beta^2 + x_\gamma^2 = 3 \cdot \left[\frac{a^2 \cdot (1+p)^2}{64} \right] \quad (3.19)$$

olduğu görülür.

İyon-iyon etkileşimi kuvvet sabiti matrisi (3x3) boyutunda bir matristir. Matris, terimlerinin her biri hesaplanıp yerine yazılarak oluşturulur.

[11] terimi;

$$x_{\alpha} = \frac{a.(1+p)}{8} \quad \text{ve} \quad x_{\beta} = \frac{a.(1+p)}{8} \quad \text{alınarak Denklem (3.18)'deki ifade birlikte}$$

Denklem (3.8)'de yerine konulursa;

$$\phi_{11} = \frac{1}{3} \cdot \left[\phi_1'' - \frac{1}{r_1} \cdot \phi_1' \right] + \frac{1}{r_1} \cdot \phi_1'$$

$$\phi_{11} = \frac{1}{3} \cdot \phi_1'' + \frac{2}{3r_1} \cdot \phi_1'$$

sonucu bulunur. İfadede α ve β değerleri aynı olduğu için Denklem (3.8)'de ikinci terimin bir anlamı vardır. Diğer durumlarda ise bu ifade sıfırdır.

[12] terimi;

Yukarıdaki şekilde hesaplamalar yapılır, yalnız bu terimde α ve β değerleri farklı olduğundan Denklem (3.8)'deki ikinci terim sıfır alınır ve sonuç

$$\phi_{11} = \frac{1}{3} \cdot \phi_1'' + \frac{1}{3r_1} \cdot \phi_1'$$

olarak bulunur.

Aynı şekilde matrisin diğer elemanları için işlemler yapıldıktan sonra iyon-bağ yükü radyal etkileşim kuvvet sabiti matrisi elde edilir. Şekil (1)'de görüldüğü gibi (000) konumunda bulunan iyonun dört tane bağ yükü komşuluğu vardır. Bunlar hesaplamalarda sırasıyla (3,4,5,6) olarak gösterilecektir. $X(1) = a(0,0,0)$ konumunda bulunan iyonla, $X(3) = \frac{a(1+p)}{8} \cdot (1,1,1)$ konumunda bulunan bağ yükü arasındaki etkileşimin kuvvet sabiti matrisi

$$-\{\Phi_{\alpha\beta}\}(1-3) = \frac{1}{3} \cdot \phi''_1 \cdot \begin{pmatrix} 1 & 1 & 1 \\ 1 & 1 & 1 \\ 1 & 1 & 1 \end{pmatrix} + \frac{1}{3r_1} \cdot \phi'_1 \cdot \begin{pmatrix} 2 & -1 & -1 \\ -1 & 2 & -1 \\ -1 & -1 & 2 \end{pmatrix} \quad (3.20)$$

olarak bulunur.

$$X(1)=(0,0,0) \text{ konumundaki iyon ile } X(4)=\frac{a(1+p)}{8} \cdot (-1, 1, -1) \text{ konumunda}$$

bulunan bağ yükünün radyal etkileşim kuvvet matrisi ise

$$-\{\Phi_{\alpha\beta}\}(1-4) = \frac{1}{3} \cdot \phi''_1 \cdot \begin{pmatrix} 1 & -1 & 1 \\ -1 & 1 & -1 \\ 1 & -1 & 1 \end{pmatrix} + \frac{1}{3r_1} \cdot \phi'_1 \cdot \begin{pmatrix} 2 & 1 & -1 \\ 1 & 2 & 1 \\ -1 & 1 & 2 \end{pmatrix} \quad (3.21)$$

şeklindedir.

$$X(1)=(0,0,0) \text{ konumundaki iyon ile } X(5)=\frac{a(1+p)}{8} \cdot (1, -1, -1) \text{ konumunda bulunan}$$

bağ yükünün radyal etkileşim kuvvet matrisi

$$-\{\Phi_{\alpha\beta}\}(1-5) = \frac{1}{3} \cdot \phi''_1 \cdot \begin{pmatrix} 1 & -1 & -1 \\ -1 & 1 & 1 \\ -1 & 1 & 1 \end{pmatrix} + \frac{1}{3r_1} \cdot \phi'_1 \cdot \begin{pmatrix} 2 & 1 & 1 \\ 1 & 2 & -1 \\ 1 & -1 & 2 \end{pmatrix} \quad (3.22)$$

olarak elde edilir.

$$X(1)=(0,0,0) \text{ konumundaki iyon ile } X(6)=\frac{a(1+p)}{8} \cdot (-1, -1, 1) \text{ konumunda}$$

bulunan bağ yükünün radyal etkileşim kuvvet matrisi

$$-\{\Phi_{\alpha\beta}\}(1-6) = \frac{1}{3} \cdot \phi''_1 \cdot \begin{pmatrix} 1 & 1 & -1 \\ 1 & 1 & -1 \\ -1 & -1 & 1 \end{pmatrix} + \frac{1}{3r_1} \cdot \phi'_1 \cdot \begin{pmatrix} 2 & -1 & 1 \\ -1 & 2 & 1 \\ 1 & 1 & 2 \end{pmatrix} \quad (3.23)$$

formundadır. İyon bağı yükü arasındaki radyal etkileşim kuvvet sabiti matrisleri tanımlandığına göre toplam etkileşim matrisi yazılabilir.

Toplam iyon- bağı yükü radyal etkileşim kuvvet sabiti matrisi

$$\begin{aligned} -\{\Phi_{\alpha\beta}\}(iyon - bağı yükü) &= -\{\Phi_{\alpha\beta}\}(1-3) + (-\{\Phi_{\alpha\beta}\}(1-4)) \\ &\quad + (-\{\Phi_{\alpha\beta}\}(1-5)) + (-\{\Phi_{\alpha\beta}\}(1-6)) \end{aligned}$$

$$-\{\Phi_{\alpha\beta}\}(iyon - bağı yükü) = \frac{4}{3} \cdot \phi''_1 \cdot \begin{pmatrix} 1 & 0 & 0 \\ 0 & 1 & 0 \\ 0 & 0 & 1 \end{pmatrix} + \frac{4}{3r_1} \cdot \phi'_1 \cdot \begin{pmatrix} 2 & 0 & 0 \\ 0 & 2 & 0 \\ 0 & 0 & 2 \end{pmatrix} \quad (3.24)$$

olacak şekildedir.

3.2.3 Bağı yükü – bağı yükü radyal etkileşim kuvvet sabiti matrisleri

Bağı yükü – bağı yükü etkileşimi hesaplamak için Denklem (3.8) kullanılacaktır.

Öncelikle $X(3) = \frac{a(1+p)}{8} \cdot (1, 1, 1)$ konumunda bulunan bağı yüküyle,

$X(4) = \frac{a(1+p)}{8} \cdot (-1, 1, -1)$ konumunda bulunan bağı yükü arasındaki etkileşimin hesaplanması için fark ifadesi

$$r = x(lb; l'b') = x(l'b') - x(lb)$$

$$r = \frac{a(1+p)}{8} \cdot (-1, 1, -1) - \frac{a(1+p)}{8} \cdot (1, 1, 1)$$

$$\mathbf{r} = \frac{a(1+p)}{8} \cdot (-2, 0, -2)$$

olarak yazılır. Bulunan bu farkın büyüklüğü yazılacak olursa,

$$r^2 = x_\alpha^2 + x_\beta^2 + x_\gamma^2 = \frac{a^2(1+p)^2}{8} \quad (3.25)$$

olduğu görülür.

Bağ yükü – bağ yükü etkileşimleri için Denklem (3.8) farklı bir biçimde ifade edilirse,

$$\phi_{\alpha\beta} = \frac{x_\alpha \cdot x_\beta}{r^2} \left(\psi_1'' - \frac{1}{r} \cdot \psi_1' \right) + \frac{\delta_{\alpha\beta}}{r} \cdot \psi_1' \quad (3.26)$$

eşitliği kullanılabilir.

Bağ yükü – bağ yükü etkileşimi kuvvet sabiti matrisi (3x3) boyutunda bir matristir. Matris, terimlerinin her biri hesaplanıp yerine yazılıarak oluşturulur.

[11] terimi;

İfadede α ve β değerleri aynı olduğu için ($\alpha = 1, \beta = 1$), Denklem (3.26)'da ikinci terimin bir anlamı vardır. Diğer durumlarda ise bu ifade sıfırdır.

$x_\alpha = \frac{-2a(1+p)}{8}$ ve $x_\beta = \frac{-2a(1+p)}{8}$ alınarak Denklem (3.25)'teki ifade ile birlikte Denklem (3.26)'da yerine konulursa,

$$\phi_{11} = \frac{1}{2} \cdot \left[\psi_1'' - \frac{1}{r} \cdot \psi_1' \right] + \frac{\psi_1'}{r}$$

bulunur. Bulunan ifadede r değeri yerine yazılırsa, ifade

$$\phi_{11} = \frac{1}{2} \cdot \psi_1'' + \frac{\sqrt{2}}{a \cdot (1+p)} \cdot \psi_1'$$

şeklini alır.

[12] terimi;

İfadede α ve β değerleri farklı olduğu için ($\alpha = 1$, $\beta = 2$), Denklem (3.26)'da ikinci terim sıfırdır. Bu durumda $x_\alpha = \frac{-2a(1+p)}{8}$ ve $x_\beta = 0$ alınır ve matrisin ikinci elemanı için Denklem (3.25)'teki ifade ile birlikte Denklem (3.26)'da yerine konulursa [12] terimi;

$$\phi_{12} = 0$$

olarak bulunur.

Aynı şekilde matrisin diğer elemanları için işlemler yapıldıktan sonra, sırasıyla $X(3) = \frac{a(1+p)}{8} \cdot (1, 1, 1)$ ve $X(4) = \frac{a(1+p)}{8} \cdot (-1, 1, -1)$ konumlarında bulunan bağ yüklerinin radyal etkileşim kuvvet sabiti matrisi şu şekilde elde edilir:

$$-\{\Phi_{\alpha\beta}\}(3-4) = \frac{1}{2} \cdot \psi_1'' \begin{pmatrix} 1 & 0 & 1 \\ 0 & 0 & 0 \\ 1 & 0 & 1 \end{pmatrix} + \frac{\sqrt{2}}{a \cdot (1+p)} \cdot \psi_1' \begin{pmatrix} 1 & 0 & -1 \\ 0 & 2 & 0 \\ -1 & 0 & 1 \end{pmatrix} \quad (3.27)$$

$$X(3) = \frac{a(1+p)}{8} \cdot (1, 1, 1) \text{ konumundaki bağ yükü ile } X(5) = \frac{a(1+p)}{8} \cdot (1, -1, -1)$$

konumunda bulunan bağ yükünün radyal etkileşim kuvvet sabiti matrisi

$$-\{\Phi_{\alpha\beta}\}(3-5) = \frac{1}{2} \cdot \psi''_1 \begin{pmatrix} 0 & 0 & 0 \\ 0 & 1 & 1 \\ 0 & 1 & 1 \end{pmatrix} + \frac{\sqrt{2}}{a.(1+p)} \cdot \psi'_1 \begin{pmatrix} 2 & 0 & 0 \\ 0 & -1 & -1 \\ 0 & -1 & -1 \end{pmatrix} \quad (3.28)$$

olarak bulunur.

$$X(3) = \frac{a(1+p)}{8} \cdot (1, 1, 1) \text{ konumundaki bağ yükü ile } X(6) = \frac{a(1+p)}{8} \cdot (-1, -1, 1)$$

konumunda bulunan bağ yükünün radyal etkileşim kuvvet sabiti matrisi

$$-\{\Phi_{\alpha\beta}\}(3-6) = \frac{1}{2} \cdot \psi''_1 \begin{pmatrix} 1 & 0 & 1 \\ 0 & 0 & 0 \\ 1 & 0 & 1 \end{pmatrix} + \frac{\sqrt{2}}{a.(1+p)} \cdot \psi'_1 \begin{pmatrix} 1 & 0 & -1 \\ 0 & 2 & 0 \\ -1 & 0 & 1 \end{pmatrix} \quad (3.29)$$

olarak bulunur.

3.3 Bağ Bükülmesi Kuvvetleri

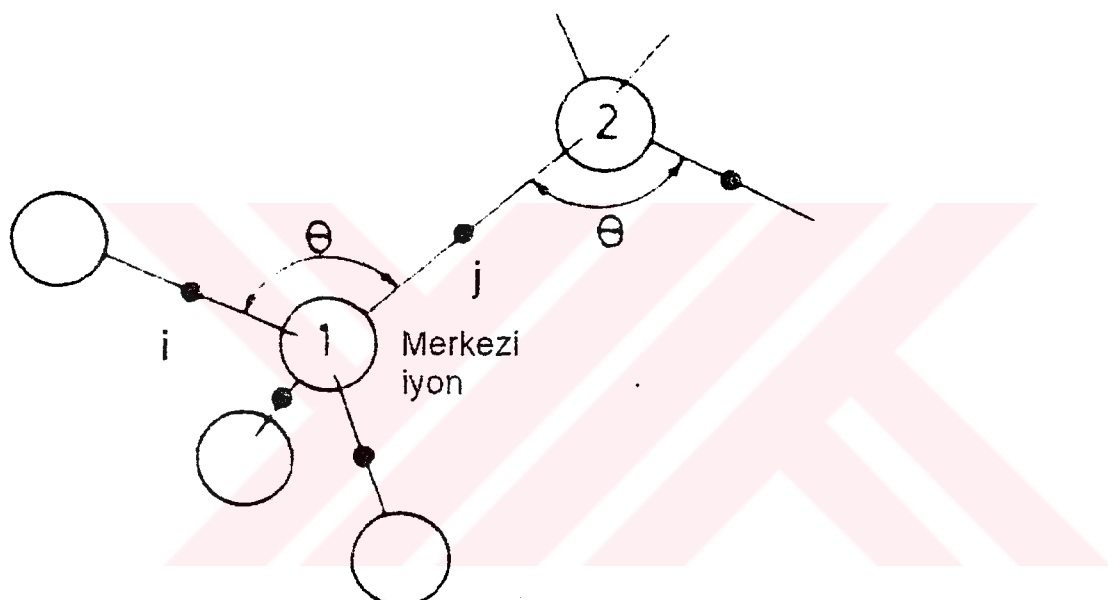
3.3.1 Bağ bükülmesi etkileşim matrisinin tanımlanması

Kovalent bağ ile iyonik bağ arasındaki en belirgin farklılık şudur: iyonik bağda iki parçacık arasında etkileşme merkezi olur ve bu etkileşmeler hesaba katılır, kovalent bağda ise, merkezi olmayan etkileşmeler veya bağ bükülmesi etkisi göz önüne alınır. Diğer bir anlatımla kovalent bağlı iki parçacık arası etkileşmeler ele alınırken parçacıkların diğer parçacıklarla olan bağ etkileşmeleri de dahil edilmelidir. Bu sebepten bağ bükümlerinin etkileri yarı iletkenlerin örgü dinamiği hesaplamalarında önemli bir yer işgal etmektedirler. BCM birim hücresinde bağ bükülmesi Şekil 3.2'de görülmektedir. Adyabatik bağ yükü model'de bağ bükümlerinin etkisi hesaplanırken, *Keating potansiyeli* [8] kullanılır.

Merkezi iyon (Δ), ve kendisine en yakın iki bağ yükü sırasıyla i ve j olmak üzere Keating potansiyeli,

$$V_{bb}^{(\Delta)} = \frac{1}{2} \cdot \frac{B_\Delta \cdot (X_{\Delta i} \cdot X_{\Delta j} + a_\Delta^2)^2}{4 \cdot a_\Delta^2} \quad (3.30)$$

ile verilir. Denklemdeki $X_{\Delta i}$ ve $X_{\Delta j}$ ifadeleri i ve j bağ yüklerinin merkezi iyona olan vektörel uzaklıklarını, B_Δ kuvvet sabitini, a_Δ^2 ise $(-X_{\Delta i} \cdot X_{\Delta j})$ ifadesinin dengedeki değerini gösterir.



Şekil 3.2 BCM birim hücresinde bağ büükülmesi

Keating kuvvet sabiti

$$-\Phi_{\alpha\beta}^\kappa(i; j) = -\frac{\partial}{\partial X_\beta(j)} \cdot \frac{\partial V_{bb}^{(\Delta)}}{\partial X_\alpha(i)} \quad (3.31)$$

ifadesiyle verilir. Denklem (3.30)'daki Keating potansiyeli ifadesi bu denklemde yerine yazılırsa,

$$\frac{\partial V_{bb}^{(\Delta)}}{\partial X_\alpha(i)} = \frac{\partial}{\partial X_\alpha(i)} \left[\frac{1}{2} \cdot B_\Delta \sum_{\gamma=1,3} ((X_\gamma(i) - X_\gamma(\Delta)) \cdot (X_\gamma(j) - X_\gamma(\Delta)) + a_\Delta^2)^2 / 4 \cdot a_\Delta^2 \right]$$

bulunur. Denklem $\gamma = \alpha$ olduğunda bir anlam ifade eder. Bu durumda çözüm yapılrsa,

$$\frac{\partial V_{bb}^{(\Delta)}}{\partial X_\alpha(i)} = B_\Delta \cdot \frac{(X_{\Delta i} \cdot X_{\Delta j} + a_\Delta^2) \cdot (X_\alpha(j) - X_\alpha(\Delta))}{4 \cdot a_\Delta^2} \quad (3.32)$$

bulunur. Bu çözüm Denklem (3.31)'de yerine konulur ve işlemler sürdürülürse,

$$\begin{aligned} -\Phi_{\alpha\beta}^K(i; j) &= -\frac{\partial}{\partial X_\beta(j)} \cdot \left[\frac{B_\Delta \cdot (X_{\Delta i} \cdot X_{\Delta j} + a_\Delta^2) \cdot (X_\alpha(j) - X_\alpha(\Delta))}{4 \cdot a_\Delta^2} \right] \\ -\Phi_{\alpha\beta}^K(i; j) &= -\frac{\partial}{\partial X_\beta(j)} \cdot \left(\frac{B_\Delta \cdot [(X_\gamma(i) - X_\gamma(\Delta)) \cdot (X_\alpha(j) - X_\alpha(\Delta)) + a_\Delta^2]}{4 \cdot a_\Delta^2} \right) \\ &\times \left(\frac{(X_\alpha(j) - X_\alpha(\Delta))}{4 \cdot a_\Delta^2} \right) \\ -\Phi_{\alpha\beta}^K(i; j) &= -\frac{B_\Delta}{4 \cdot a_\Delta^2} \cdot [(X_\beta(i) - X_\beta(\Delta)) \cdot (X_\alpha(j) - X_\alpha(\Delta))] \\ &- \delta_{\alpha\beta} (X_{\Delta i} \cdot X_{\Delta j} + a_\Delta^2)] \end{aligned}$$

sonucuna ulaşılır. Bulunan bu ifadede $a_\Delta^2 = -X_{\Delta i} \cdot X_{\Delta j}$ olduğundan, parantez içindeki ikinci terim sıfır olur. Böylece Keating kuvvet sabiti ifadesinin son şekli

$$-\Phi_{\alpha\beta}^K(i; j) = -\frac{B_\Delta}{4 \cdot a_\Delta^2} \cdot [(X_\beta(i) - X_\beta(\Delta)) \cdot (X_\alpha(j) - X_\alpha(\Delta))] \quad (3.33)$$

olarak bulunur.

3.3.2 Bağ yükü – bağ yükü etkileşimi Keating kuvvet sabiti matrisleri

Merkezi iyonun konumu $X(\Delta) = (0,0,0)$, i ve j bağ yüklerinin konumları da sırasıyla

$$X_{\Delta i}(3) = \frac{a(1+p)}{8} (1,1,1) \quad \text{ve} \quad X_{\Delta j}(4) = \frac{a(1+p)}{8} (-1, 1, -1) \quad \text{olmak üzere, konum}$$

ifadeleri Keating kuvvet sabiti ifadesi olan Denklem (3.33)'te yerine yazılıarak, (3×3) boyutunda olan bağ yükü – bağ yükü etkileşimi Keating kuvvet sabiti bulunur.

Öncelikle a_{Δ}^2 'nin dengedeki değeri hesaplanırsa,

$$X_{\Delta i} = X(i) - X(\Delta)$$

$$X_{\Delta j} = X(j) - X(\Delta)$$

$$a_{\Delta}^2 = -X_{\Delta i} \times X_{\Delta j}$$

$$a_{\Delta}^2 = -\left(\frac{a.(1+p)}{8} (1,1,1) \times \frac{a.(1+p)}{8} (-1, 1, -1) \right)$$

$$a_{\Delta}^2 = -\left(\frac{a.(1+p)}{8} \right)^2 \quad (3.34)$$

bulunur.

[11] terimi:

Bu terimde α ve β değerleri aynı olduğu için ($\alpha = 1$, $\beta = 1$), bağ yüklerinin konum ifadelerinin ilk terimleri alınarak Denklem (3.33)'te yerine yazılırsa,

$$\phi_{11} = \frac{B_1}{4.a_\Delta^2} \cdot [(X_1(i) - X_1(\Delta)) \cdot (X_1(j) - X_1(\Delta))]$$

$$\phi_{11} = \frac{B_1}{4.a_\Delta^2} \cdot \left[\left(\frac{a.(1+p)}{8}(1) - (0) \right) \cdot \left(\frac{a.(1+p)}{8}(-1) - (0) \right) \right]$$

$$\phi_{11} = \frac{B_1}{4}$$

sonucu bulunur. Aynı şekilde diğer matris elemanları da bulunarak sırasıyla $X_{\Delta i}(3) = \frac{a.(1+p)}{8}(1,1,1)$ ve $X_{\Delta j}(4) = \frac{a.(1+p)}{8}(-1, 1, -1)$ konumlarında bulunan bağı yüklerinin etkileşiminin Keating kuvvet sabiti matrisi,

$$-\Phi_{\alpha\beta}^{\text{K}}(3-4) = \frac{B_1}{4} \cdot \begin{pmatrix} 1 & 1 & 1 \\ -1 & -1 & -1 \\ 1 & 1 & 1 \end{pmatrix} \quad (3.35)$$

şeklinde yazılır.

$X_{\Delta i}(3) = \frac{a.(1+p)}{8} \cdot (1,1,1)$ konumundaki bağı yükü ile $X_{\Delta j}(5) = \frac{a.(1+p)}{8} \cdot (1, -1, -1)$ konumunda bulunan bağı yükü etkileşiminin Keating kuvvet sabiti matrisi

$$-\Phi_{\alpha\beta}^{\text{K}}(3-5) = \frac{B_1}{4} \cdot \begin{pmatrix} -1 & -1 & -1 \\ 1 & 1 & 1 \\ 1 & 1 & 1 \end{pmatrix}$$

olarak yazılır.

$$\dot{X}_{\Delta}(3) = \frac{a.(1+p)}{8} \cdot (1, 1, 1) \text{ konumundaki bağ yükü ile } X_{\Delta}(6) = \frac{a.(1+p)}{8} \cdot (-1, -1, 1)$$

konumunda bulunan bağ yükü etkileşiminin Keating kuvvet sabiti matrisi ise

$$-\Phi_{\alpha\beta}^K(3-6) = \frac{B_1}{4} \begin{pmatrix} 1 & 1 & 1 \\ 1 & 1 & 1 \\ -1 & -1 & -1 \end{pmatrix} \quad (3.36)$$

formunda ifade edilir.

3.3.3 İyon – bağ yükü etkileşimi Keating kuvvet sabiti matrisleri

Denklem (3.31) iyon – bağ yükü etkileşimi için

$$-\Phi_{\alpha\beta}^K(\Delta; i) = -\frac{\partial}{\partial X_\beta(\Delta)} \cdot \frac{\partial V_{bb}^{(\Delta)}}{\partial X_\alpha(i)} \quad (3.37)$$

olarak yazılır. Denklemde, (3.32) eşitliğindeki ifade yerine konulur ve çözüm yapılrsa;

$$-\Phi_{\alpha\beta}^K(\Delta; i) = -\frac{\partial}{\partial X_\beta(\Delta)} \left(B_\Delta \cdot \frac{(X_{\Delta i} \cdot X_{\Delta j} + a_\Delta^2) \cdot (X_\alpha(j) - X_\alpha(\Delta))}{4 \cdot a_\Delta^2} \right)$$

$$-\Phi_{\alpha\beta}^K(\Delta; i) = \sum_j \frac{B_\Delta}{4 \cdot a_\Delta^2} \cdot (X_\beta(j) - X_\beta(\Delta)) \cdot (X_\alpha(i) - X_\alpha(j) - 2X_\alpha(\Delta))$$

ifadesine ulaşılır. Bu ifadede j üzerinden toplam alınması, diğer bağ yüklerinin katkılarının toplanması anlamına gelir. Böylece tüm katkılar toplanarak elde edilen iyon (1) – bağ yükü (3) etkileşimi Keating kuvvet sabiti matrisi [21],

$$-\Phi_{\alpha\beta}^C(1-3) = \frac{B_1}{4} \cdot \begin{pmatrix} 2 & -2 & -2 \\ -2 & 2 & -2 \\ -2 & -2 & 2 \end{pmatrix} \quad (3.38)$$

olarak elde edilir.

3.4 Coulomb Etkileşmeleri

Elektrostatik etkileşmeler uzun menzillidir ve basit bir matematiksel ifade ile temsil edilirler. Yükleri sırasıyla Q_b ve $Q_{b'}$ olan b ve b' iyonlarının Coulomb etkileşimi potansiyel ifadesi

$$\Phi_{\alpha\beta}^C = \frac{Q_b Q_{b'}}{4\pi\epsilon r} \quad (3.39)$$

ile verilir. Coulomb kuvvet sabiti matrisi ifadesi $\Phi_{\alpha\beta}^C(lb; l'b')$, coulomb etkileşmelerinden türetilir:

$$\Phi_{\alpha\beta}^C(lb; l'b') = \sum_l \frac{\partial^2}{\partial x_\alpha \partial x_\beta} \left(\frac{Q_b \cdot Q_{b'}}{\epsilon \cdot r} \right)_{r=x(lb; l'b')} \quad (3.40)$$

Coulomb etkileşmeleri kuvvet sabiti ifadesi olan Denklem (3.40)'da matematiksel işlemler yapılrsa ifade

$$\Phi_{\alpha\beta}^C(lb; l'b') = \frac{1}{\epsilon} \cdot \sum_l Q_b \cdot Q_{b'} \left[\frac{3x_\alpha x_\beta}{r^5} - \delta_{\alpha\beta} \cdot \frac{1}{r^3} \right] \quad (lb \neq l'b') \quad (3.41)$$

şeklini alır. Bu ifade b ile b' arasındaki tüm Coulomb etkileşmelerini içerir. Bu etkileşmeler $(5-10) A^0$ arasında sınırlanır. Uzun mesafedeki etkileşmeler ihmali edilebilecek kadar küçüktür. Burada iyon-iyon, iyon-BC, BC-BC etkileşmelerini hesaplayabilmek için Ewald toplam metodu kullanılır [34]. Bu toplam metodu

kullanılarak bulunan Coulomb matrisi 18×18 boyutlarındadır. Bu matriste iyon-iyon Coulomb etkileşim matrisi C_R , iyon-BC Coulomb etkileşim matrisi C_T , BC-iyon Coulomb etkileşim matrisi C_T^+ , BC-BC Coulomb etkileşim matrisi C_S ile gösterilir. Matrislerin boyutları sırasıyla $C_R(6 \times 6)$, $C_T(6 \times 12)$, $C_S(12 \times 12)$ olarak alınır. Böylece radyal etkileşim Coulomb toplam matrisi ifadesi;

$$C_{\alpha\beta=x,y,z}^C(bb';q) = \frac{e^2}{V_a} \cdot \frac{Z^2}{\varepsilon} \begin{bmatrix} 4C_R & -2C_T \\ -2C_T^+ & C_S \end{bmatrix}$$

olarak yazılır. Burada ε dielektrik sabitini, e elektronun yükünü ve Z^2/ε ise Coulomb etkileşmeleri için her bir yarıletkende farklılık gösteren kuvvet sabiti parametresidir. Bu ifade ile tanımlanan Coulomb matrisi

$$C_{RR} = \begin{bmatrix} \begin{bmatrix} C_R \\ C_T^+ \end{bmatrix}_{12 \times 6} & \begin{bmatrix} C_T \\ C_S \end{bmatrix}_{12 \times 12} \\ \cdot & \cdot \end{bmatrix}_{18 \times 18}$$

olarak bulunur. Matristeki C_T^+ matrisi C_T matrisinin transpozudur.

Yukarıda, tüm etkileşmeler tanımlandı ve bunlara ait kuvvet sabiti matrisleri bulundu. Buradan sonra birim hücrenin toplam enerji hesabına geçilebilir.

3.5 Birim Hücrenin Toplam Enerji Hesaplamaları

Yukarıdaki hesaplamaların toplamı olarak birim hücrenin toplam enerjisi şu şekilde yazılabilir [17,20]:

$$E = 4\phi_{i-i}(r) + 4\phi_{1-BC}(r_1) + 4\phi_{2-BC}(r_2) + 6[V_{bb}^1 + V_{bb}^2] \quad (3.42)$$

$$+ 6 \left[\psi_1 \cdot \left(\frac{(1+p)}{2} \cdot \frac{4r}{\sqrt{6}} \right) + \psi_2 \cdot \left(\frac{(1-p)}{2} \cdot \frac{4r}{\sqrt{6}} \right) \right] - \alpha_M \cdot \frac{4Z^2 e^2}{\varepsilon \cdot r}$$

İfadeden son terim toplam Coulomb enerjisini, ψ_1 ve ψ_2 bağ yükleri arasındaki etkileşim potansiyelini gösterir.

Denklem (3.42)'deki, sırasıyla iyon-iyon, iyon(1)-BC, iyon(2)-BC etkileşmelerinin türevlerini gösteren ϕ'_{i-i} , ϕ'_{1-BC} ve ϕ'_{2-BC} ifadelerinin kristalin denge durumundaki hesaplamaları aşağıda verilmiştir.

Denge durumunda enerji,

$$\left. \frac{\partial E}{\partial r} \right|_{r=r_0} = 0 \quad (3.43)$$

$$\left. \frac{\partial E}{\partial p} \right|_{p=0.25} = 0 \quad (3.44)$$

ifadelerinden elde edilir.

Yarıiletkenin iyon(1)-BC ve iyon(2)-BC etkileşimlerinin türevleri arasında şu şekilde bir ilişki vardır:

$$(1+p) \cdot \phi'_{1-BC} + (1-p) \cdot \phi'_{2-BC} = 0$$

$$\phi'_{i-i} = -\alpha_M \frac{Z^2 e^2}{\varepsilon \cdot r_0^2} \quad (3.45)$$

Bu ifade V_σ ile çarpılıp bölünürse,

$$\phi'_{i-i} = -\alpha_M \frac{Z^2 V_a}{\epsilon r_0^2} \cdot \frac{e^2}{V_a}$$

olur. Burada $\frac{e^2}{V_a}$ terimi 1 alınır ve denklemin her iki tarafı r_0 ile bölünürse,

$$\frac{\phi'_{i-i}}{r_0} = -\alpha_M \frac{V_a}{r_0^3} \cdot \frac{Z^2}{\epsilon} \quad (3.46)$$

sonucuna ulaşılır.

Yüzey merkezli yapıda birim hücre hacmi

$$V_a = \frac{a^3}{4} \quad (3.47)$$

ile verilir.

Çinko sülfür yapıda $(0,0,0)$ konumunda bulunan iyona en yakın iyonun konumu $\frac{a}{4}(1,1,1)$ 'dir. Buradan uzaklık ifadesi için,

$$r = \frac{a\sqrt{3}}{4}$$

sonucu bulunur. Bu ifadeden a çekilirse;

$$a = \frac{4r}{\sqrt{3}}$$

olduğu görülür. Örgü sabiti için bulunan bu ifade Denklem (3.47)'da yerine yazılırsa sonuç

$$V_a = \frac{16r^3}{3\sqrt{3}}$$

halini alır. Hacim için elde edilen bu eşitlik Denklem (3.46)'de yerine yazılırsa;

$$\frac{\phi'_{i-i}}{r_0} = -\alpha_M \cdot \frac{16}{3\sqrt{3}} \cdot \frac{Z^2}{\epsilon} \quad (3.48)$$

ifadesine ulaşılır.

İyon(1)-BC etkileşimi türev ifadesi için toplam enerji ifadesinin p faktörüne göre türevi alınırsa,

$$\frac{\phi'_{1-BC}}{r_1} = \frac{2(1-p)}{(1+p)} \cdot \frac{\partial \alpha_M}{\partial p} \cdot \frac{Z^2 \cdot e^2}{\epsilon \cdot r_0^3} \quad (3.49)$$

ifadesine ulaşılır. Bu eşitliğin her iki tarafı V_a ile çarpılıp bölünürse;

$$\frac{\phi'_{1-BC}}{r_1} = \frac{2(1-p)}{(1+p)} \cdot \frac{\partial \alpha_M}{\partial p} \cdot \frac{V_a}{r_0^3} \cdot \frac{Z^2}{\epsilon}$$

olduğu görülür. Bu sonuç ifadesinde yer alan $\frac{\partial \alpha_M}{\partial p}$ ifadesi III-V grubu yarıiletkenler için 2.764 olarak alınır ve V_a değeri yerine yazılıp hesaplamalar yapılınrsa,

$$\frac{\phi'_{1-BC}}{r_1} = (8,51) \cdot \frac{2(1-p)}{(1+p)} \cdot \frac{Z^2}{\epsilon}$$

eşitliğine ulaşılır.

Aynı şekilde iyon(2)-BC etkileşimi türev ifadesi için de toplam enerji ifadesinin p faktörüne göre türevi alınırsa,

$$\frac{\phi'_{2-BC}}{r_2} = -\frac{2(1-p)}{(1+p)} \cdot \frac{\partial \alpha_M}{\partial p} \cdot \frac{Z^2 \cdot e^2}{\varepsilon \cdot r_0^3} \quad (3.50)$$

bulunur. Bu eşitlik için yukarıdaki işlemler tekrarlanırsa,

$$\frac{\phi'_{2-BC}}{r_2} = -(8,51) \cdot \frac{2(1+p)}{(1-p)} \cdot \frac{Z^2}{\varepsilon}$$

sonucu elde edilir.

BCM'de altı serbest parametre vardır. Bunlar sırasıyla iyon-iyon (ϕ''_{i-i}), iyon(1)-BC(ϕ''_{i-BC}), iyon(2)-BC(ϕ''_{i-BC}), BC-BC(B_1), Bağ büükülmesi (B_2) ve Coulomb (Z^2 / ε) etkileşme parametreleridir. Bu parametreler homopolalar yarıiletkenler için 4 tanedir. Bunun sebebi bağ yükünün iyonlar arası bağın tam ortasında yer alacak şekilde yerleşmesidir. Bu da iyon(1)-BC(ϕ''_{i-BC}) ve iyon(2)-BC(ϕ''_{i-BC}) etkileşmeleri ile BC-BC(B_1) ve Bağ büükülmesi (B_2) etkileşmelerinin birbirine eşit olaması anlamını taşımaktadır.

3.6 BCM İçin C-Tipi Dinamik Matrisin Oluşturulması

BCM'de C-tipi dinamik matrisi bulabilmek için kısa menzil etkileşimleri tanımlanırsa, iyon-iyon etkileşimi kuvvet sabiti matrisi R, iyon-BC etkileşimi kuvvet sabiti matrisi T, BC-BC etkileşimi kuvvet sabiti matrisi S ile gösterilir. U ve W sırasıyla iyon ve BC'lerin dalgı vektörü uzayında yer değiştirmeye sütun matrisleri olmak üzere yer değiştirmeye vektörleri alınarak dinamik denklemler yazılırsa;

$$M\omega^2 U = \left[R - \frac{4Z^2}{\varepsilon} C_R \right] U + \left[T - \frac{2Z^2}{\varepsilon} C_T \right] W \quad (3.51)$$

$$m\omega^2 W = \left[T^+ - \frac{2Z^2}{\varepsilon} C_T^+ \right] U + \left[S + \frac{Z^2}{\varepsilon} C_S \right] W \quad (3.52)$$

eşitlikleri bulunur. İfadede M ve m terimleri sırasıyla iyon ve BC kütelerini gösterir. Adyabatik yaklaşımla $m=0$ alınıp Denklem (3.52) için işlemler yapılrsa, sonuçta olarak

$$W = - \left[S + \frac{Z^2}{\varepsilon} \cdot C_S \right]^{-1} \cdot \left[T^+ - \frac{2Z^2}{\varepsilon} C_T^+ \right] U \quad (3.53)$$

ifadesi bulunur.

Denklem (3.53), Denklem (3.51)'de yerine konulursa,

$$M\omega^2 U = \left[R + \frac{4Z^2}{\varepsilon} \cdot C_R \right] - \left[T - \frac{2Z^2}{\varepsilon} \cdot C_T \right] \cdot \left[S + \frac{Z^2}{\varepsilon} \cdot C_S \right]^{-1} \cdot \left[T^+ - \frac{2Z^2}{\varepsilon} \cdot C_T^+ \right] U$$

ifadesi bulunur. Buradan atomik hareketin etkin matrisi şu şekilde tanımlanabilir:

$$M\omega^2 U = C^{ef} U$$

Yukarıdaki ifadeden etkin matris ifadesi

$$C^{ef} = \left[R + \frac{4Z^2}{\varepsilon} \cdot C_R \right] - \left[T - \frac{2Z^2}{\varepsilon} \cdot C_T \right] \cdot \left[S + \frac{Z^2}{\varepsilon} \cdot C_S \right]^{-1} \cdot \left[T^+ - \frac{2Z^2}{\varepsilon} \cdot C_T^+ \right]$$

olarak yazılır. Bu matris bir kare matristir ve bu matris ifadesinden aşağıdaki bağıntı yardımıyla dispersiyon bağıntısı elde edilir; bu bağıntının çözümlenmesi bizi modlar arası ilişkinin tesbitine götürür. Dispersiyon bağıntısı;

$$\left[\frac{1}{M} \cdot C^{ef}(q) - \omega^2 I \right] U(q) = 0$$

olacak şekildedir.

Verilen dispersiyon bağıntısı her bir q dalga vektörü için $3p$ tane farklı moda sahiptir. Bunlardan üç tanesi akustik mod, $3p - 3$ tanesi de optik moddur. Optik ve akustik mod arasındaki fark, akustik titreşimlerin $q \rightarrow 0$ limit durumda ortaya çıkması ve ağır atomların titreşimi sonucu oluşmasıdır. Optik mod ise hafif atomların titreşimi sonucu ortaya çıkan moddur. Bu modlar enine ve boyuna olarak iki farklı şekilde gerçekleşir. Atomların titreşim yönü dalga vektörüne (q) dik ise enine titreşim, paralel ise boyuna titreşim olarak adlandırılır. Akustik ve optik modlardan her biri enine ve boyuna titreşime sahiptir. Bu titreşimler sırasıyla enine akustik (TA), enine optik (TO), boyuna akustik (LA) ve boyuna optik (LO) olarak sınıflandırılır.

BÖLÜM 4. DENEYSEL TEKNİKLER

4.1 Nötron Saçılması

Bu teknikte nötronların elastik olmayan saçılması yoluyla kristalin dispersiyon (dağılımı) eğrileri çizilir. Bu tekniği incelemeye geçmeden önce nötronların genel özelliklerine bakalım. Dalga özelliğine sahip parçacıkların etkileri maddenin mikroskopik özelliklerinin tanımlanmasında kullanılabilir. Nötronların maddeden saçılan ışınlarının enerjilerinin artması veya azalması durumuna bakılarak sonuçların değerlendirilebilir olması bu amaç için önemli bir özelliktir.

Enerjisi E, momentumu p olan nötronun enerji ve momentum ifadeleri;

$$E = \frac{\hbar^2 k^2}{2m} \quad \text{ve} \quad p = \hbar k \quad (4.1)$$

ile verilir.

Burada $k = 2\pi/\lambda$ dalga vektörü, m ise nötronun kütlesidir. Nötron $1,675 \times 10^{-27}$ kg kütleye sahip bir parçacık olup, saçılmalarda çekirdekten elastik (enerji değiştirmeksiz) ve inelastik olarak (enerji değiştirerek) ayrılabilir. Nötron ışınının dalga boyu $(1-5)\text{A}^0$ mertebesindedir. Bu da nötronun kararlı bir dalga vektörüne ve birim hücrede uzun bir aralıkta çalışılabilme özelliğine sahip olduğunu gösterir.

Bilindiği gibi nötronun elektriksel yükü sıfırdır. Bunun anlamı da elektronlarla etkileşmemesi ve elekstrostatik kuvvetlerin etkisinde kalmamasıdır. Bundan dolayı maddenin manyetik özelliklerinin tanımlanmasında kullanılabilir.

Nötronların atomlarla etkileşmesi iki şekilde olur. Birincisinde; şiddetli nükleer kuvvetler nedeniyle çekirdekler tarafından saçılırlar. Bu saçılma şiddeti, atom

numarasının artışıyla monoton olarak artmaz, bu yüzden hafif elementleri (özellikle hidrojen) içeren katıların yapısını belirlemek için, nötronlar X-ışınlarından daha kullanışlıdır. Çekirdek boyutu, nötron dalga boyundan çok küçük olduğundan nokta saçıcı gibi davranır ve saçılma şiddeti artan saçılma açısıyla azalmaz.

Nötronlarla atomlar arasındaki ikinci tip etkileşme, nötronların manyetik momentleri ile atomun manyetik momenti arasındaki manyetik kuvvetlerdir. Kuvvet, atomik momentin doğrultusuna bağlıdır, bu da katıdaki manyetik düzenin yapısını belirlemek için nötron kullanımına izin verir.

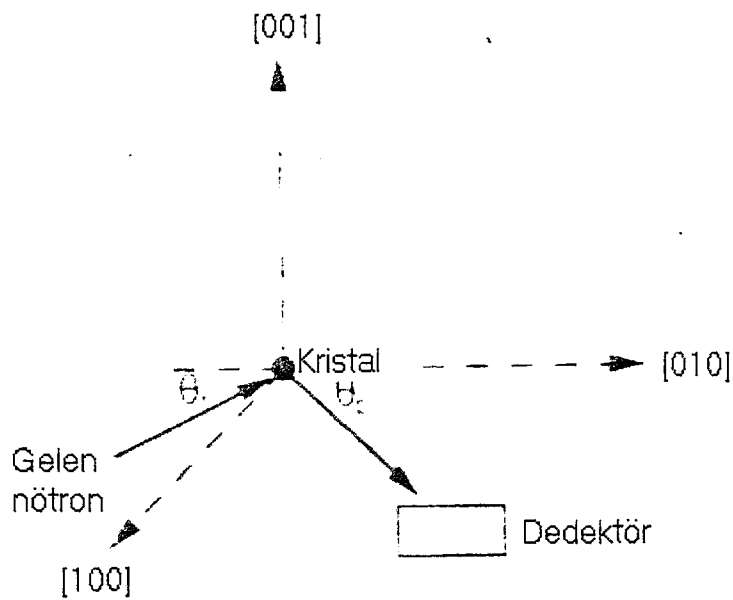
4.1.1 Nötronların elastik olmayan saçılması

Elde edilen nötron kristalde frekansı ω ve dalga vektörü k olan örgü dalgasıyla etkileşir. Nötron bu etkileşim sonucunda örgü dalgasından enerji alır veya örgü dalgasına enerji verir. Bu da nötronun kristalden farklı enerji ve momentum durumunda ayrılması demektir. Burada örgü dalgasıyla, nötron arasında yer değiştiren enerji ($\hbar\omega$) kuantumlu enerjisidir. Bu da fononun enerjisine karşılık gelir.

Nötron örgü dalgasından enerji almış ise bir fonon soğurmuş ve enerjisi ilk duruma göre $\hbar\omega$ kadar artmış demektir. Aynı zamanda momentum korunumuna göre nötronun momentumu da ilk momentumuna göre ($\hbar k$) kadar artmıştır. Buna göre fonon soğurması durumunda nötronun enerji ve momentum durumu aşağıdaki gibidir:

$$E_s = E_i + \hbar\omega$$

$$p_s = p_i + \hbar k$$



Şekil 4.1 Nötronların elastik olmayan saçılması

Eğer nötron örgü dalgasına enerji vermiş ise bir fonon açığa çıkarmış demektir. Fonon salımında nötronun enerji ve momentum durumu,

$$E_s = E_i - \hbar\omega$$

$$p_s = p_i - \hbar k$$

şeklinde olur. Nötron saçılmasında saçılan nötronlar belirli bir yönde saçılırlar. Şekil (4.1)'de görüldüğü gibi saçılan nötronların analizinde detektör xy düzleminde ve y eksenile θ_2 açısı yapacak şekilde konulursa, kristalin konumuna göre bu düzlem üzerinde değişen konumları alabileceğinden, kristalin çok yönlü taranmasına imkan verir. Böylece kristalin fonon dispersiyon eğrileri elde edilir.

4.1.2 Nötron saçılmasının avantajları

1. Nötron saçılmasının verileri geniş bir aralığı kapsar böylece tüm fonon kolları ölçülebilir.
2. Nötron spektroskopisinde çevre şartları kolaylıkla kontrol altına alınabilir ve yalnızca istenen hedef hücrelerin incelenmesi mümkün olur.
3. Nötron ışınımının şiddeti, X ışınının şiddetinden daha küçüktür ve nötron ışınımı sürekli dir.

4.1.3 Nötron saçılmasının dezavantajları

1. Raman spektroskopisi ve diğer yöntemlere göre pahalı bir yöntemdir; bu da hızlandırılmış nötronu elde etme güçlüğünden kaynaklanmaktadır.
2. Saçılma atom çekirdeğinden gerçekleştiği için aynı atomun izotopları arasında da saçılımada değişim görülür.

4.2. Fotonların Elastik Olmayan Saçılması

Işık dalgaları da nötron saçılmasında olduğu gibi, kristalin örgü dalgasından elastik olmayan bir şekilde saçılabilir. Bu saçılma sırasında gelen foton ya bir fonon soğurarak saçılır ya da kristalden bir fonon yayılmasına sebep olur.

Kristalin örgü dalgasıyla etkileşen fotonun, örgü dalgasından bir fonon soğurması durumunda enerjisi, momentumu, frekansı ve dalga vektörü,

$$E_f = E_i + \hbar\omega \quad \omega_f = \omega_i + \omega$$

$$p_f = p_i + \hbar k \quad k_f = k_i + k$$

olarak belirlenir. Fotonun örgü dalgasına enerji vererek bir fonon açığa çıkarması durumunda enerji, momentum, frekans ve dalga vektörü,

$$E_f = E_i - \hbar\omega \quad \omega_f = \omega_i - \omega$$

$$p_f = p_i - \hbar q \quad k_f = k_i - k$$

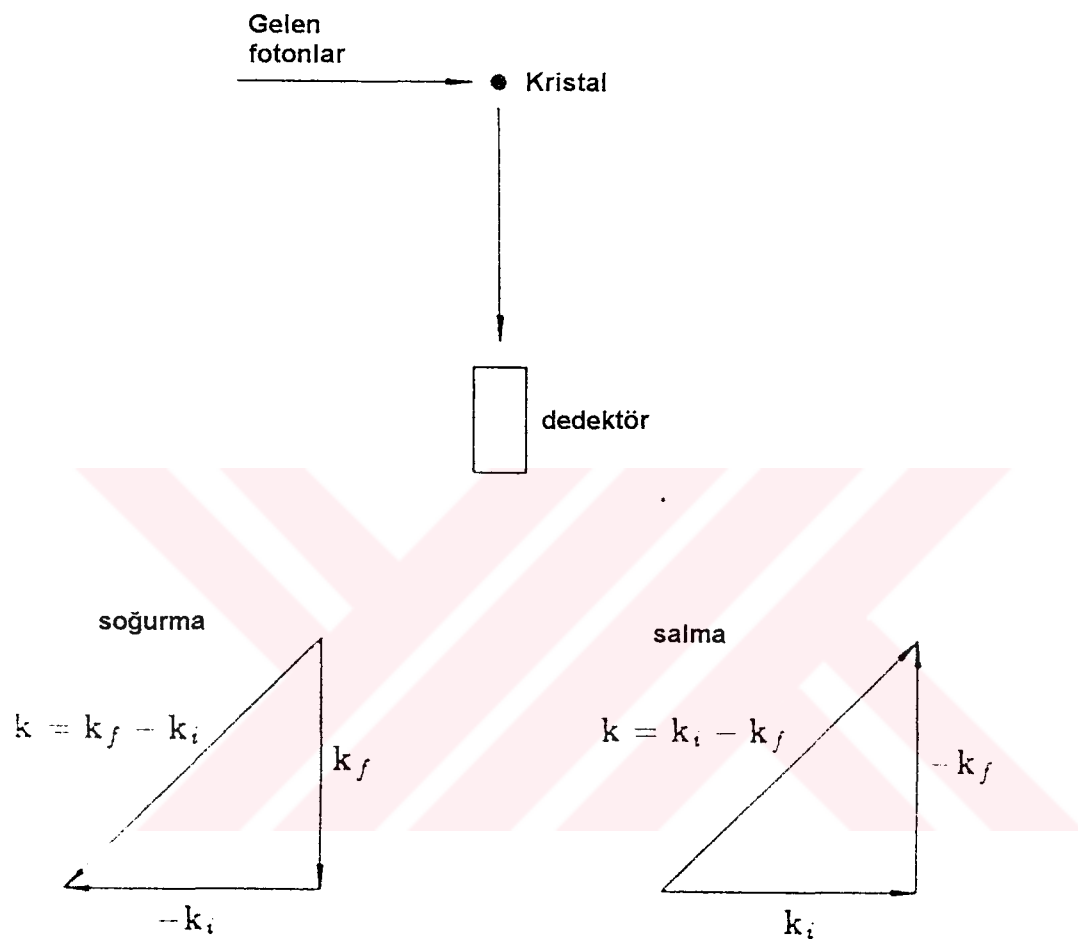
olarak bulunur. Burada ω_i gelen fotonun frekansını, ω_f saçılan fotonun frekansını, ω ise fonon frekansını gösterir. Benzer şekilde k_i gelen fotonun, k_f saçılan fotonun ve k ise kristalin dalga vektörünü gösterir.

Görülebilir ışığın enerjisi kristaldeki herbir fotonun enerjisinden çok daha büyuktur ($\omega \ll \omega_i$). Bundan dolayı gelen fotonun fonon soğurması veya aşağı çıkarması enerjisinde çok küçük bir değişim meydana getirir. Bu da fotonun saçılma frekansının ve dalga vektörünün yaklaşık aynı kalacağını gösterir [$(\omega_f \approx \omega_i) (k_f \approx k_i)$]. Bunu tespit edebilmek için ışık saçılması spektrometrelerinde dedektör gelen ışıkla 90° açı yapacak şekilde konur (Şekil 4.2). Bu durumda dalga vektörü için,

$$k = k_i \sqrt{2}$$

yazılabilir. Görünür ışığın dalga vektörü kristalin birinci Brillouin bölgesi boyutlarından çok küçüktür. Bu durumun bir sonucu olarak gelen fotonun fonon soğurması veya aşağı çıkarması olayı Brillouin bölgesi merkezi yakınında gerçekleşir. Burada optik ve akustik olmak üzere iki tip fonon vardır. Optik fononun frekansı dolayısıyla enerjisi büyük ve k 'dan bağımsızdır. Bunun yanında akustik fononun frekansı küçük dolayısıyla enerjisi de küçük fakat k 'ya bağımlıdır. Bu, saçılmanın optik fononlardan gerçekleşmesi halinde frekansındaki değişimin daha belirgin halde gözleneceği anlamına gelir. Saçılma şayet akustik fononlardan olursa foton frekansındaki değişimi gözlelemek zor olur. Bu iki saçılma durumu farklı iki adla anılır; saçılmanın optik fononlardan gerçekleşmesi durumuna *Raman saçılması*, akustik fononlardan gerçekleşmesi durumuna ise *Brillouin saçılması* adı verilir.

İlk olarak Raman saçılmasını göz önüne alalım. Saçılma optik fononlardan gerçekleştiği için ω fonon frekansı, k 'dan bağımsızdır. Bu durumda frekanstaki değişim



Şekil 4.2 Fotonların elastik olmayan saçılmasında soğurma ve yayma olayları

$$\Delta\omega = \omega_f - \omega_i \quad (4.2)$$

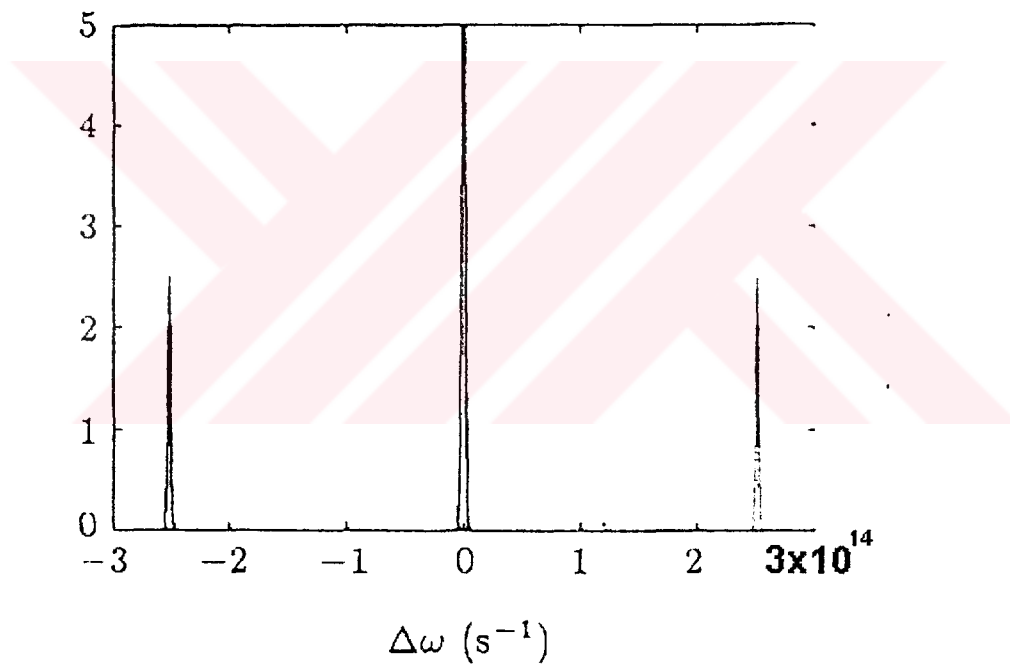
olarak verilir. Saçılan fotonun frekansı gelen fotonun frekansına ve kristal yönelmelerine bağlı değildir. Bunun sebebi gelen fotonun ya bir fonon soğuracağı ya da bir fonon açığa çıkaracağıdır. Yani gelen fotonun frekansı fonon frekansı kadar artar veya azalır.

Denklem (4.2) gelen fotonun fonon soğurması durumunda $+\omega$, fonon aşağı çıkarması durumunda $-\omega$ 'ya eşit olur. Bu durum elmas kristali için Şekil 4.3'te görülmektedir [30]. Grafikte, merkezdeki büyük pik elastik saçılmasını gösterir. Diğer iki pik de sırasıyla fonon soğurulmasını ve fonon salınmasını gösterir. Böylece saçılan foton frekansı için şu eşitlikler yazılabilir:

$$\omega_f = \omega_i + \omega \text{ (soğurma)}$$

$$\omega_f = \omega_i - \omega \text{ (salma)}$$

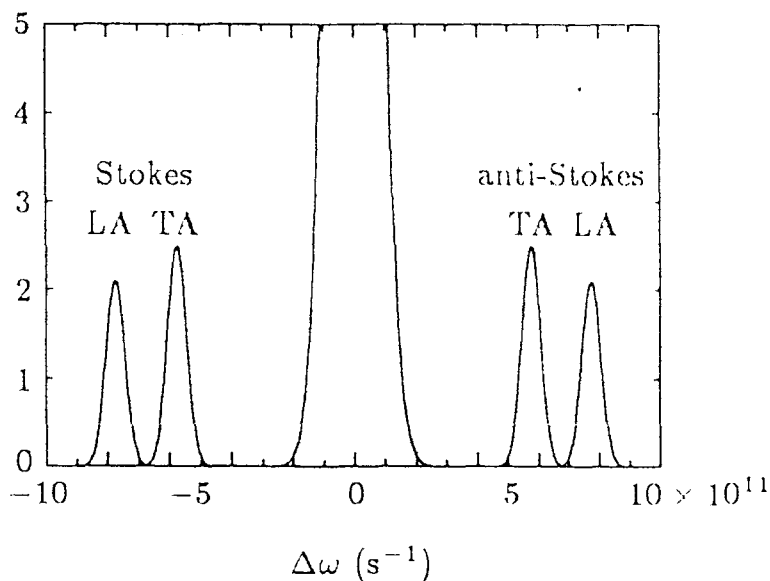
$\Delta\omega$ değeri elmas için deneyel olarak $\pm 2,513 \times 10^{14} \text{ s}^{-1}$ olarak bulunmuştur.



Şekil 4.3 Elmas kristalinin Raman spektrumu

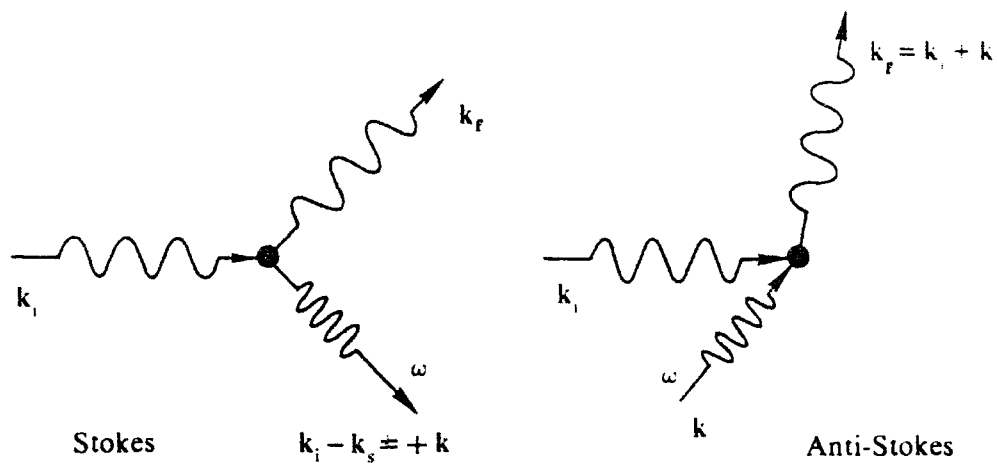
İkinci olarak Brillouin saçılmasını inceleyelim. Bu saçılma akustik fononlardan gerçekleştiği için k 'ya bağlıdır. Bundan dolayı saçılan fotonun frekansı gelen fotonun frekansına ve kristal yönelimlerine bağlıdır. Brillouin saçılmasının elmas için elde edilen grafiği Şekil 4.4'te görülmektedir [29]. Grafikte merkezin her iki yanında iki pik görülmektedir. Bunlardan birisi boyuna (LA), diğeri de enine

akustiktir (TA). Bu frekansların Raman spektrumunda görülmemesinin nedeni elmasın $k = 0$ yakınında boyuna ve enine optik fonon frekanslarının aynı olmasıdır.



Şekil 4.4 Elmas kristalinin Brillouin spektrumu

Brillouin saçılmasında fonon soğurulması Stokes, fonon açığa çıkarılması da Anti-Stokes olayı olarak adlandırılır. Bu saçılmaların şematik gösterimi Şekil 4.5'teki gibidir.



Şekil 4.5 Stokes ve Anti-stokes olayları

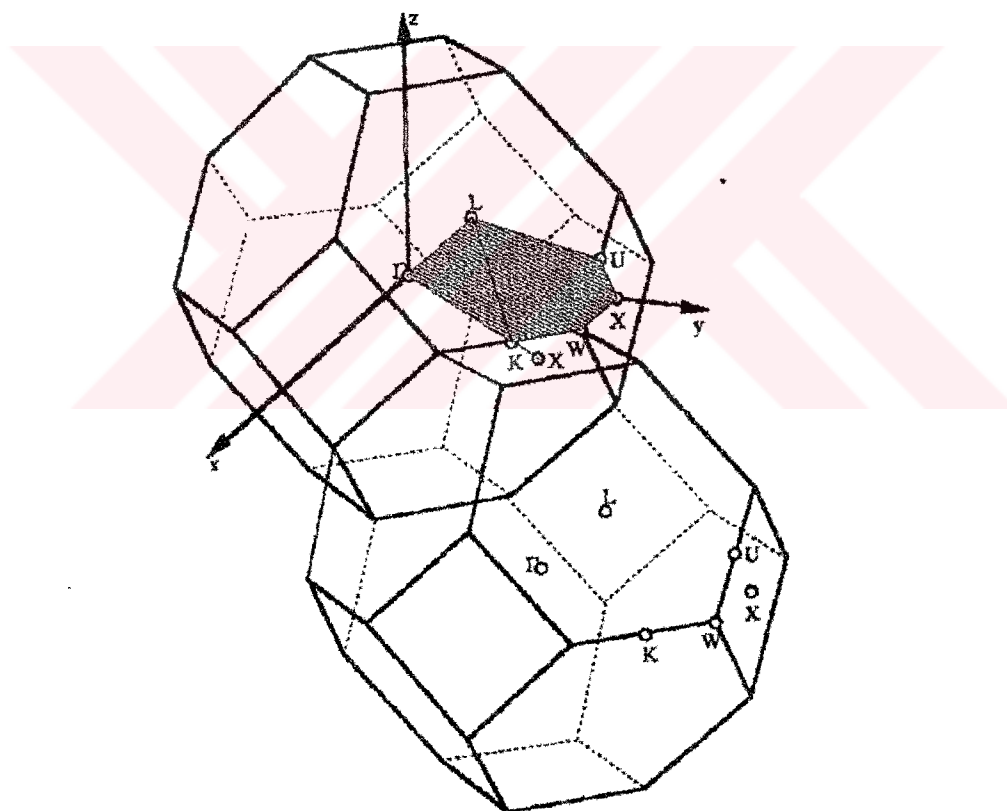
4.2.1 Raman saçılmasının avantajları ve dezavantajları

Bu saçılımada fonon pik frekansları ayrıntılı olarak incelenebilir. Ayrıca bu yöntem nötron saçılmasına göre daha ucuza gerçekleştirilebilir. Raman saçılımasında ışığın spektrum şiddeti yeterince yüksektir. Buna karşın ışık, nötron saçılımasında olduğu gibi çok geniş bir spektrum aralığı içermez. Burada sıcaklık ve basınç gibi dış faktörlerin de etkisi göz önüne alınmalıdır.

BÖLÜM 5. SONUÇLAR

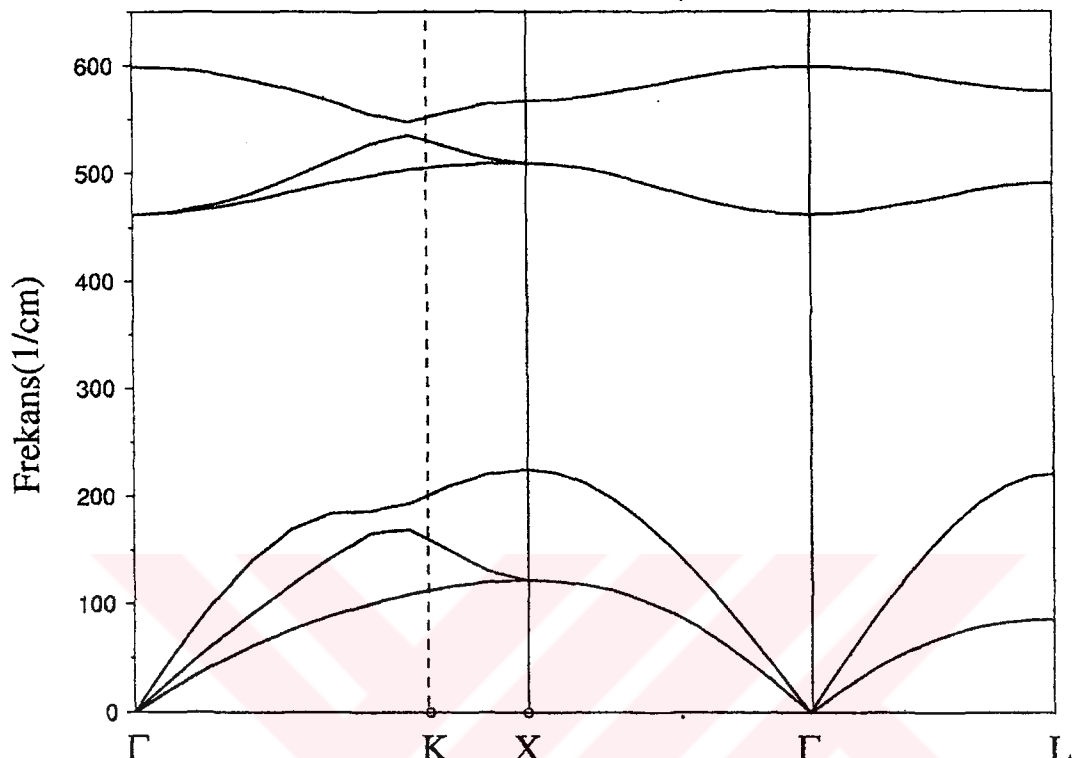
5.1 Giriş

Yarıiletkenlerin fonon dağılımını belirlemek için üç farklı yönde hesaplama yapmak gereklidir. Bunlar $(\Gamma - K)$, $(X - \Gamma)$ ve $(\Gamma - L)$ yönleridir (Şekil 5.1). Bu çalışmada yapılan hesaplamaların fonon dağılım eğrileri, bu eğrilere ait durum yoğunluğu eğrileri, titreşim vektörleri ve yorumları takip eden bölümlerde verilecektir.



Şekil 5.1 Yüzey merkezli yapının Birinci brillouin bölgesi

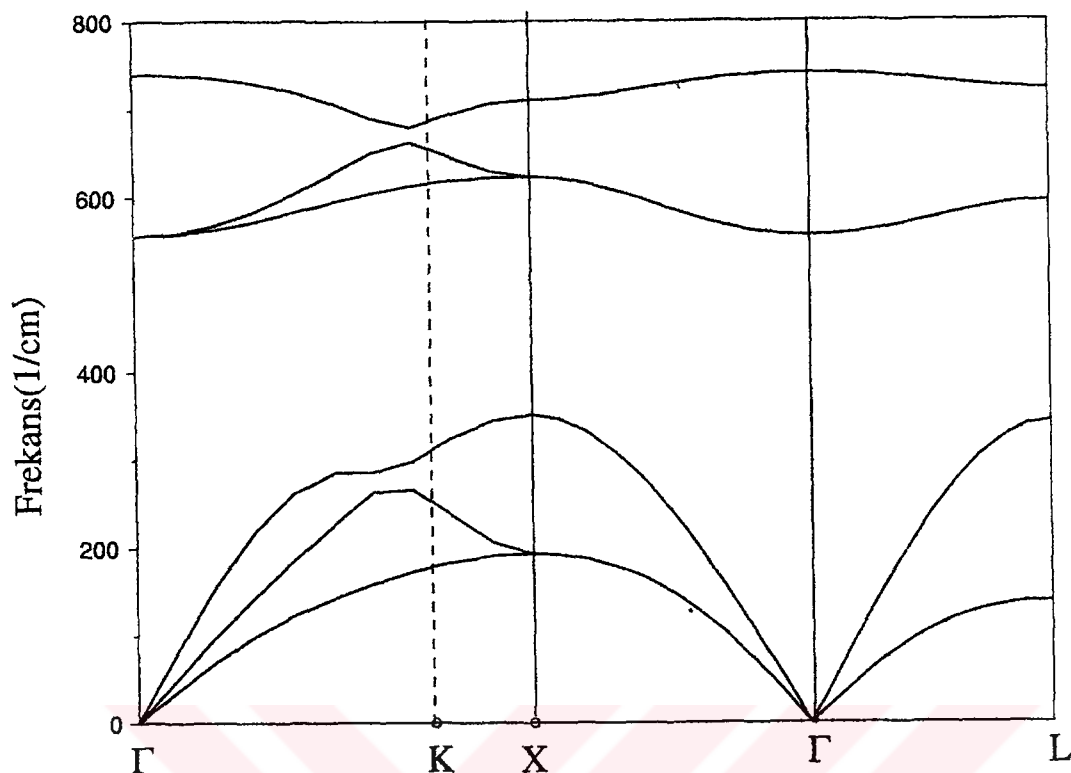
5.2 III-N Tipi Yarıiletkenlerin Hesaplanan Fonon Dispersiyon Eğrileri ve Yorumları



Şekil 5.2 InN yarıiletkenine ait fonon dispersiyon eğrisi

Yukarıda InN yarıiletkenine ait hesaplanan fonon dağılımı eğrisi görülmektedir. Bu eğri Ek A'da verilen fonon frekanslarına bakılarak yorumlanırsa şu sonuçlara ulaşılır:

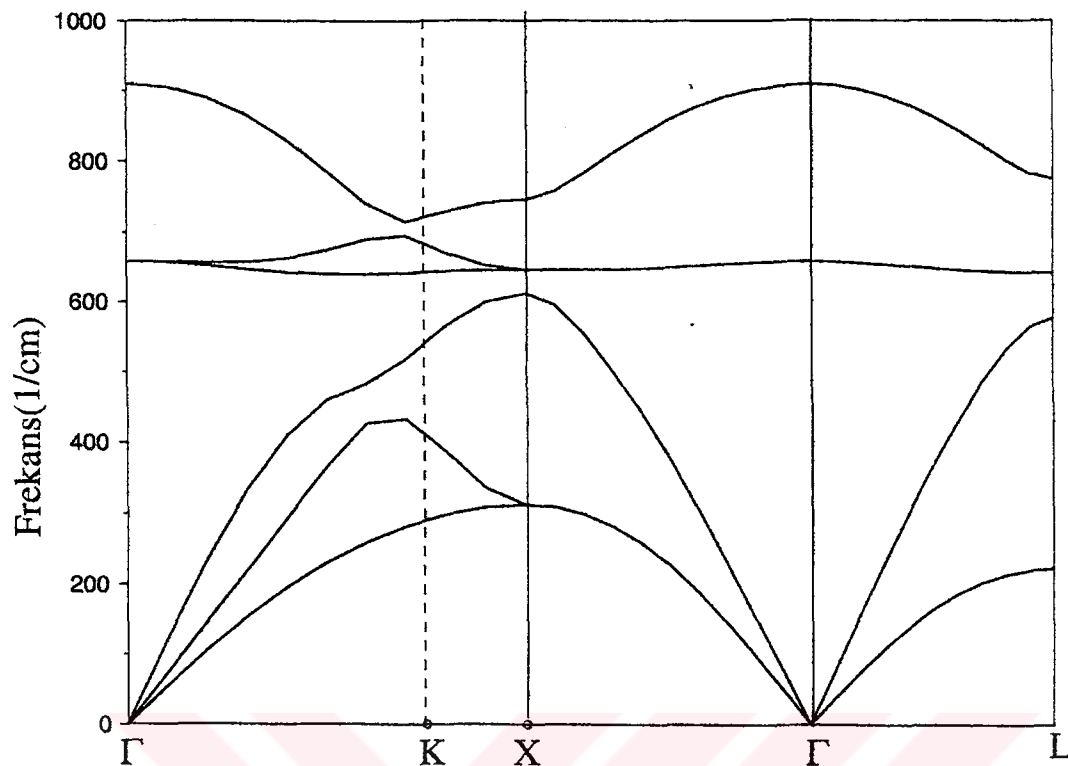
(0.7, 0.7, 0.0) dalga vektörüne sahip K noktasında enine akustik mod, boyuna akustik moda dönüşmüştür. Aynı noktada boyuna akustik dalın da enine akustik dala dönüştüğü görülür. Optik modlarda da aynı şekilde enine optik modun boyuna optik moda, bir diğer kolda ise boyuna optik modun enine optik moda dönüştüğü görülmektedir. (1.0, 1.0, 1.0) noktasında (X noktası) boyuna akustik modun aynı frekansa sahip akustik moda dönüşüp tek bir kol olarak devam ettiği görülür. [111] yönündeki titreşimlerde akustik modlar sırasıyla enine akustik ve boyuna akustik, optik modlar ise enine optik ve boyuna optik modlar olarak sıralanmıştır.



Şekil 5.3 GaN yarıiletkenine ait fonon dispersiyon eğrisi

Yukarıda GaN yarıiletkenine ait hesaplanan fonon dağılımı eğrisi görülmektedir. Bu eğri Ek A'da verilen fonon frekanslarına bakılarak yorumlanırsa şu sonuçlara ulaşılır:

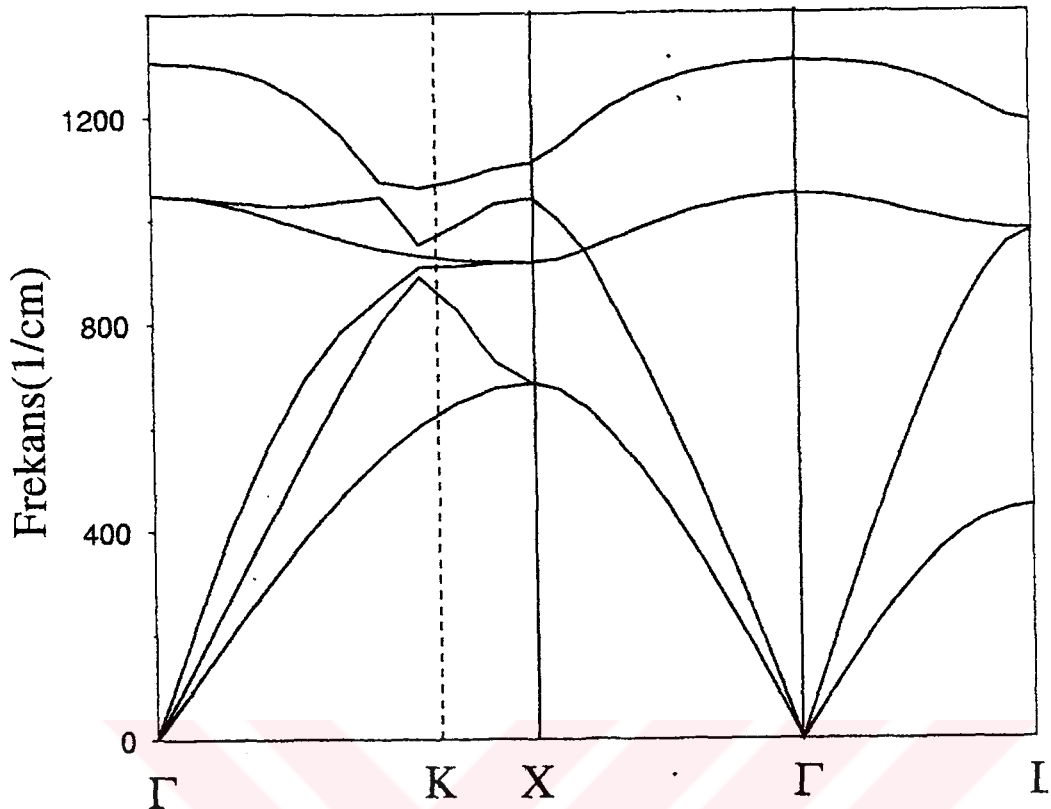
($\Gamma - K$) aralığında akustik modlar boyuna, enine ve boyuna akustik olarak sıralanmıştır. (0.7, 0.7, 0.0) dalga vektörüne sahip K noktasında ise bu modlar dönüşüm yaparak, enine akustik modun, boyuna akustik moda dönüştüğü belirlenir. Aynı noktada boyuna akustik dalın da enine akustik dala dönüştüğü görülür. Optik modlarda da aynı şekilde enine optik modun boyuna optik moda, bir diğer kolda ise boyuna optik modun enine optik moda dönüştüğü görülmektedir. (1.0, 1.0, 1.0) noktasında (X noktası) boyuna akustik modun aynı frekansa sahip akustik moda dönüşüp tek bir kol olarak devam ettiği görülür. [111] yönündeki titreşimlerde akustik modlar sırasıyla enine akustik ve boyuna akustik, optik modlar ise enine optik ve boyuna optik modlar olarak sıralanmıştır.



Şekil 5.4 AlN yarıiletkenine ait fonon dispersiyon eğrisi

Yukarıda AlN yarıiletkenine ait hesaplanan fonon dağılımı eğrisi görülmektedir. Bu eğri Ek A'da verilen fonon frekanslarına bakılarak yorumlanırsa şu sonuçlara ulaşılır:

$(\Gamma - K)$ aralığında akustik modlar boyuna, enine ve boyuna akustik olarak sıralanmıştır. $(0.7, 0.7, 0.0)$ dalga vektörüne sahip K noktasında ise bu modlar dönüşüm yaparak, enine akustik modun, boyuna akustik moda dönüştüğü belirlenir. Aynı noktada boyuna akustik dalın da enine akustik dala dönüştüğü görülür. Optik modlarda da aynı şekilde enine optik modun boyuna optik moda, bir diğer kolda ise boyuna optik modun enine optik moda dönüştüğü görülmektedir. $(1.0, 1.0, 1.0)$ noktasında (X noktası) boyuna akustik modun aynı frekansa sahip akustik moda dönüşüp tek bir kol olarak devam ettiği görülür. $[111]$ yönündeki titreşimlerde akustik modlar sırasıyla enine akustik ve boyuna akustik, optik modlar ise enine optik ve boyuna optik modlar olarak sıralanmıştır.



Şekil 5.5 BN yarıiletkenine ait fonon dispersiyon eğrisi

Yukarıda BN yarıiletkenine ait hesaplanan fonon dağılımı eğrisi görülmektedir. Bu eğri Ek A'da verilen fonon frekanslarına bakılarak yorumlanırsa şu sonuçlara ulaşılır:

BN yarıiletkeni incelenen diğer yarıiletkenlere göre farklılık gösterir. Öncekilerde olduğu gibi (0.7, 0.7, 0.0) dalga vektörüne sahip K noktasında enine akustik fonon kolu, boyuna akustik fonon koluna dönüştürülmüştür. Aynı noktada daha büyük enerjiye sahip boyuna akustik kolun da enine akustik kola dönüştüğü görülmür. Optik kollarda da aynı şekilde enine optik kolun boyuna optik kola, daha büyük enerjili bir diğer kolda ise boyuna optik modun enine optik moda dönüştüğü görülmektedir. (1.0, 1.0, 1.0) noktasında (X noktası) incelenen diğer yarıiletkenlerde (InN, GaN, AlN) akustik ve optik kollarda kendi aralarında bir çakışma gözlemlenirken burada akustik kol ile optik kol arasında çakışma görülmektedir. Bu çakışma Şekil 5.5'te (0.7, 0.7, 0.7) noktasında TA moda dönüşen modun (0.8, 0.8, 0.8) noktasında akustik kolun optik kolların kesişmesinden dolayı LO moda dönüştüğü görülmür. Bu noktada optik fonon

kolundaki değişim ise K noktasında boyuna optik olan fononun enine akustik fonona dönüşmesidir.

X noktasında akustik kolda boyuna akustik modun enine akustik moda, enerjisi daha büyük olan enine akustik modun da boyuna akustik moda dönüştüğü görülür. Aynı noktada optik kolda, boyuna optik mod enine akustik moda, frekansı daha büyük olan diğer kolda ise enine optik mod boyuna optik moda dönüşür.

Şekil 5.5'te ($X - \Gamma$) yönünde (0.8, 0.0, 0.0) noktasında TA mod LA moda, aynı noktada 1000 cm^{-1} frekans değerindeki boyuna akustik mod, 940 cm^{-1} frekans değerinde enine akustik moda dönüşür. ($X - \Gamma$) yönündeki bir diğer dönüşüm (0.5,0.0, 0.0) noktasında gerçekleşir. Bu noktada enine akustik modun enine optik moda dönüştüğü görülür. BN yarıiletkenindeki optik ve akustik fonon dallarının kendi aralarında ve birbirlerine geçişin fazla olmasının nedeni incelenen elementlerin atomik kütlelerinin birbirine yakın olmasındandır.

5.3 Durum Yoğunluğu Eğrileri Hesaplama Metodu, Hesaplanan Durum Yoğunluğu Eğrileri ve Yorumları

5.3.1 Kök örneklemme metodu (Root sampling metod)

Durum yoğunluğu hesaplamalarında kullanılan eşitliğin Brillouin bölgesi sınırları göz önüne alınarak kullanılması gereklidir. Bu denklemin kullanılabilmesi için fonon frekanslarının belirlenmiş olması gerekmektedir. Hesaplamalarda kullanılan denklem

$$g(\omega) = \frac{N_0 \Omega}{8\pi^3} \sum_{qs} \delta(\omega - \omega(qs))$$

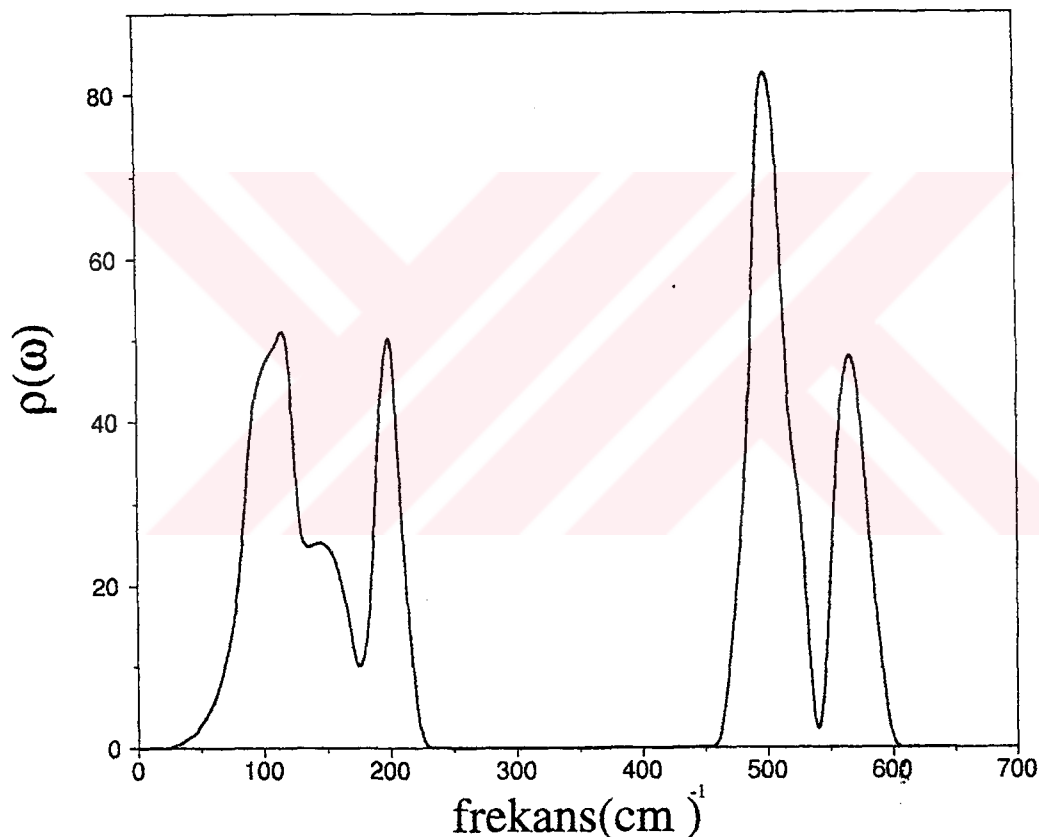
olarak verilir. Bu ifade ile fonon dağılımından durum yoğunluğunu hesaplayabilmek için Kronecker delta fonksiyonunu dirac delta fonksiyonuna dönüştürmek gereklidir.

$$g(\omega) = \frac{N_0 \Omega}{8\pi^3} \sum_{q_\nu s} \Theta(\omega - \omega(q_\nu s))$$

ifadesiyle belirlenen sınır frekansları ile hesaplanan frekans farkı $|\omega - \omega(q, s)| \leq \frac{\Delta\omega}{2}$

ise $\Theta = 1$ olur; diğer durumlarda ise sıfırdır. Burada $\Delta\omega \approx 0.005$ THz olarak alınır. Bu hesaplama yöntemi her bir frekans için ayrı ayrı gerçekleştirildiği için uzun zaman almaktadır. Hesaplamalar sonucunda frekans farkının sabit kaldığı noktalarda bir pik oluşmaktadır. Elde edilen pikler ile ilgili yorumlar 8. bölümde yapılacaktır.

5.3.2 Hesaplanan durum yoğunluğu eğrileri ve yorumları



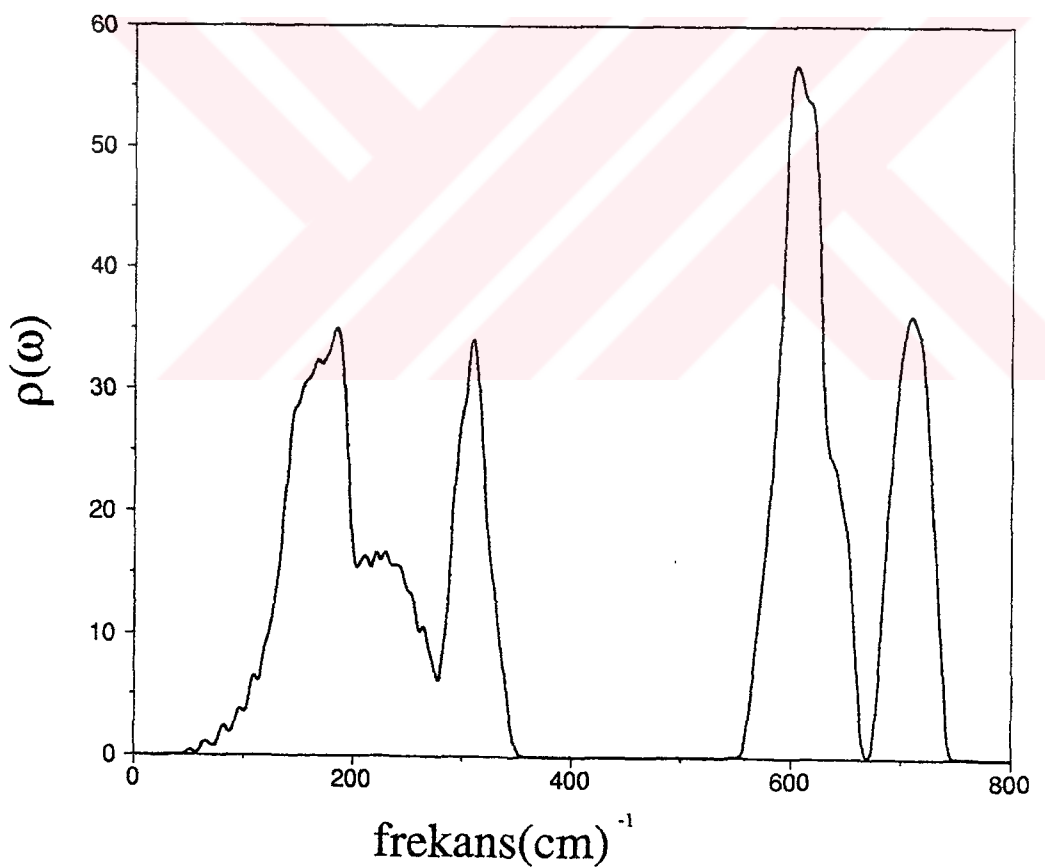
Şekil 5.6 InN yarıiletkenine ait durum yoğunluğu eğrisi

Durum yoğunluğu eğrileri fonon dispersiyonu eğrilerine göre çizilir. Bu çizimde fonon dispersiyonunda herhangi bir frekansta yığılma (üst üst binme) olduğunda durum yoğunluğu eğrisinde o noktada pik gözlemlenir. Bulunan bu pikin eğrideki

yüksekliği o noktada yiğilmanın yoğun olduğunu gösterir. Bu bilgiler ışığında Şekil (5.6)'daki durum yoğunluğu eğrisi incelenirse şu sonuçlara ulaşılır:

InN'e ait durum yoğunluğu eğrisinde akustik ve optik modlarda ayrı ayrı iki pik görülmektedir. Akustik kısımda oluşan ilk pik Şekil 5.2'deki fonon dağılımı eğrisinde ($\Gamma - X$) aralığında Γ 'dan X 'e giderken boyuna akustik fononların üst üste binmesinden dolayıdır. İkinci pik ise aynı yönde daha yüksek enerjili boyuna akustik fononların aynı değerlerde yoğunlaşmasından dolayı oluşur.

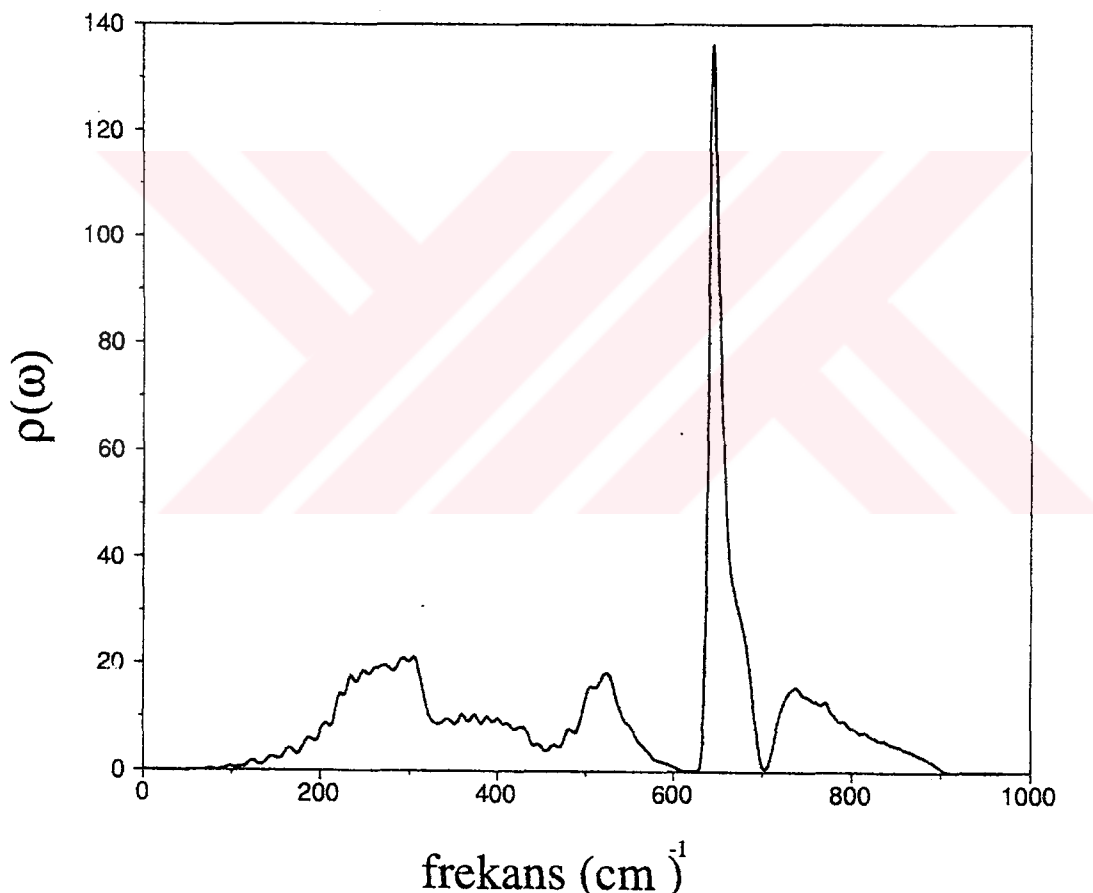
Eğrinin optik kısımdındaki ilk pik Γ 'dan X 'e giderken enine optik fononların üst üste binmesi sonucu oluşur. İkinci pik ise ($X - \Gamma$) ve ($(\Gamma - L)$ yönlerinde daha yüksek enerjili boyuna optik fononların eşdeğerde yoğunlaşması sonucu oluşur.



Şekil 5.7 GaN yarıiletkenine ait durum yoğunluğu eğrisi

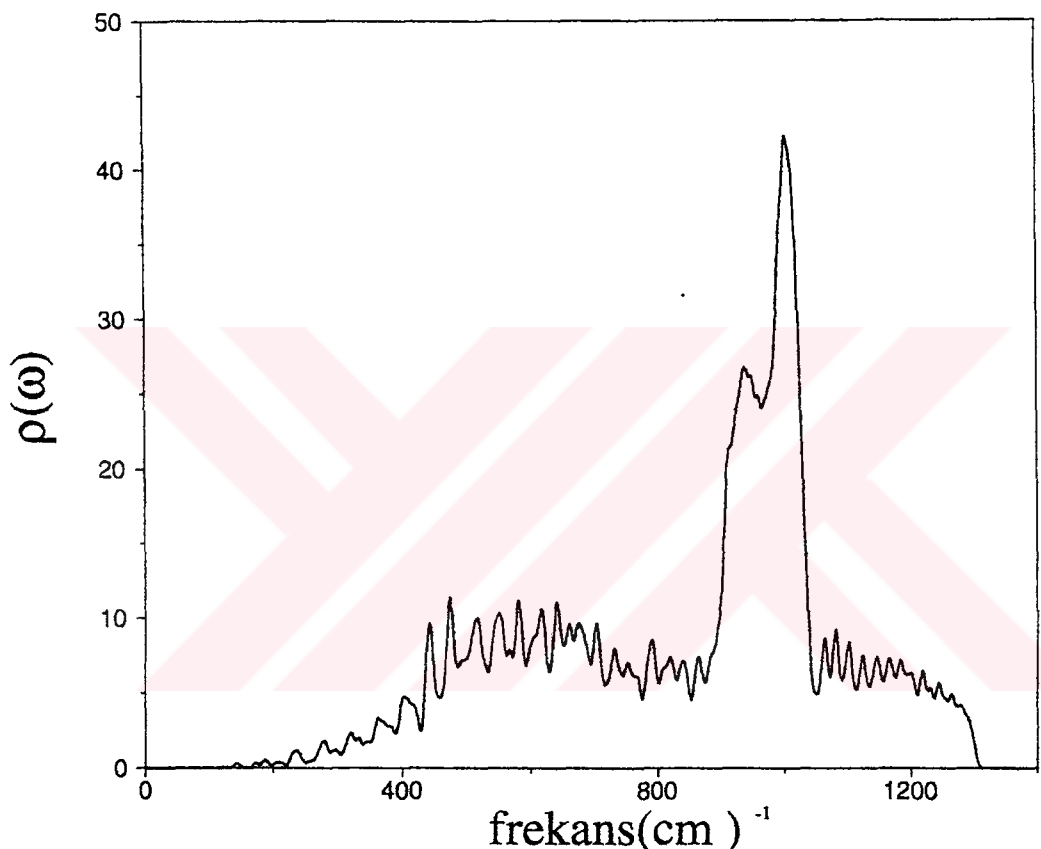
GaN'e ait durum yoğunluğu eğrisinde akustik ve optik modlarda ayrı ayrı iki pik görülmektedir. Akustik kısmındaki ilk pikin oluşması, Şekil 5.3'deki fonon dağılımı eğrisinde ($\Gamma - X$) aralığında Γ 'dan X'e giderken boyuna akustik fononların üst üste binmesinden dolayıdır. İkinci pik ise aynı yönde daha yüksek enerjili boyuna akustik fononların aynı değerlerde yoğunlaşmasından dolayı oluşur.

Eğrinin optik kısmındaki ilk pik Γ 'dan X'e giderken enine optik fononların üst üste binmesi sonucu oluşur. İkinci pik ise ($X - \Gamma$) ve ($(\Gamma - L)$ yönlerinde daha yüksek enerjili boyuna optik fononların eşdeğerde yoğunlaşması sonucu oluşur.



Şekil 5.8 AlN yarıiletkenine ait durum yoğunluğu eğrisi

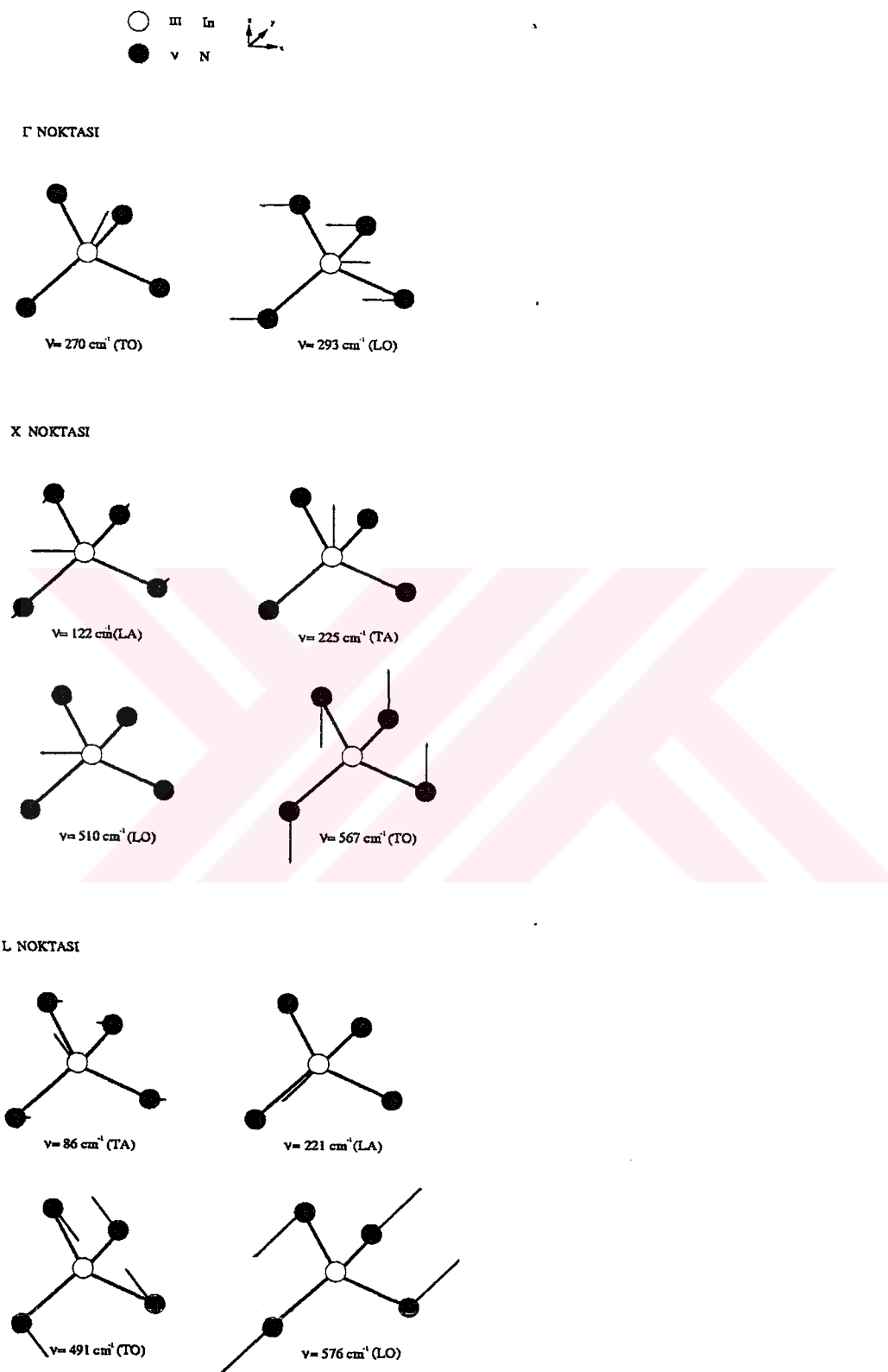
AlN'e ait durum yoğunluğu eğrisinde yalnızca bir tane keskin pik görülmektedir. Bunun sebebi Şekil 5.4'teki fonon dağılımı eğrisinde sadece $(X - \Gamma)$ ve $(\Gamma - L)$ yönlerinde 650 cm^{-1} frekans değeri civarında enine optik fononların üst üste binmesidir. Fonon dağılımı eğrisinde bu noktalar dışında frekanslar sürekli farklılık gösterdiği için durum yoğunluğu eğrisinde başka bir pik gözlenmemektedir.



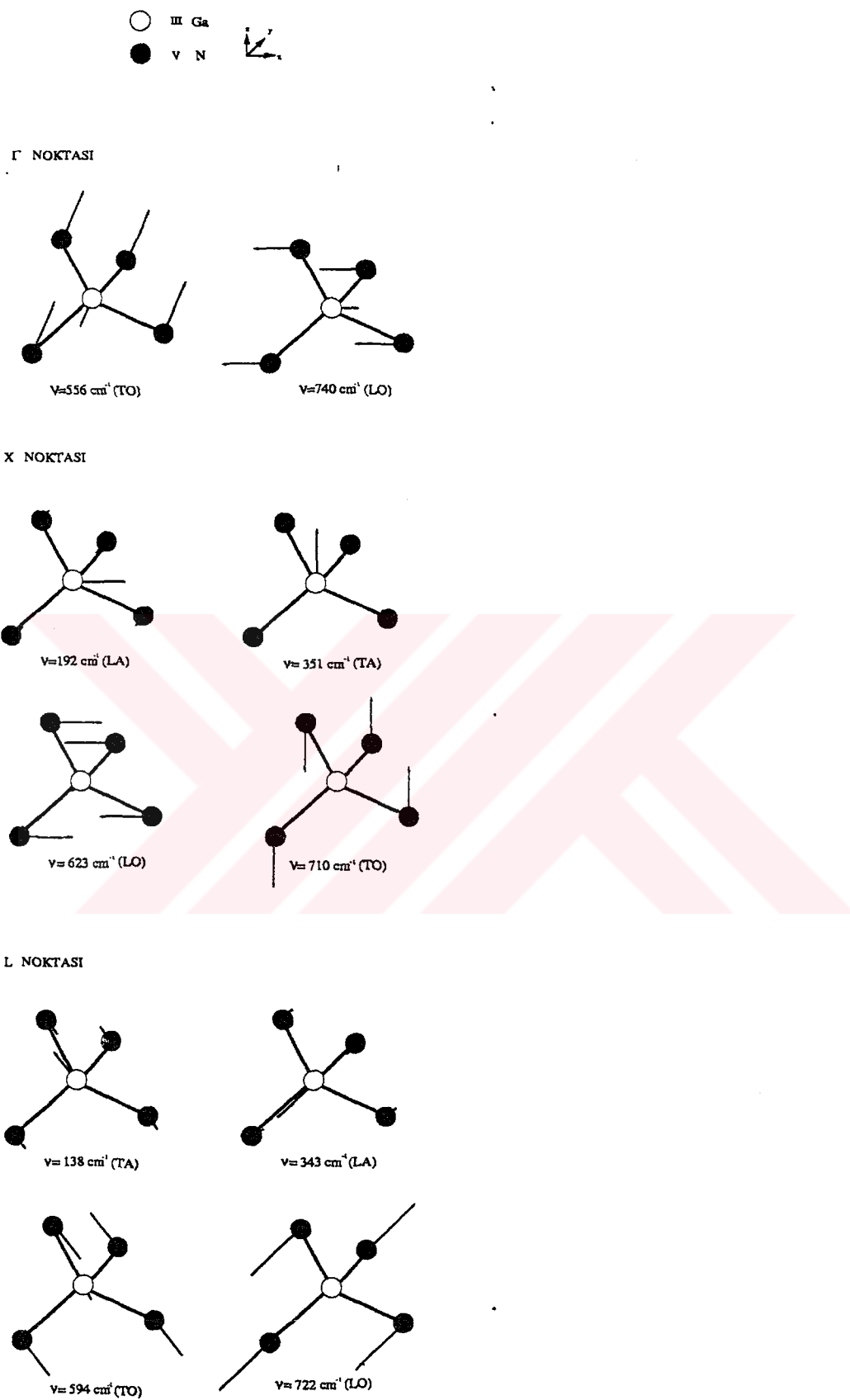
Şekil 5.9 BN yarıiletkenine ait durum yoğunluğu eğrisi

BN'e ait durum yoğunluğu eğrisinde optik bölgede iki pik görülmektedir bunlarda birincisi, Şekil 5.5'teki fonon dağılımı eğrisinde $(\Gamma - X)$ yönünde boyuna optik fononların üst üste binmesi sonucu oluşmuştur. İkinci ve daha keskin olan pik ise $(X - \Gamma)$ ve $(\Gamma - L)$ yönlerinde 1000 cm^{-1} civarında enine optik fononların üst üste binmesi sonucu oluşmuştur.

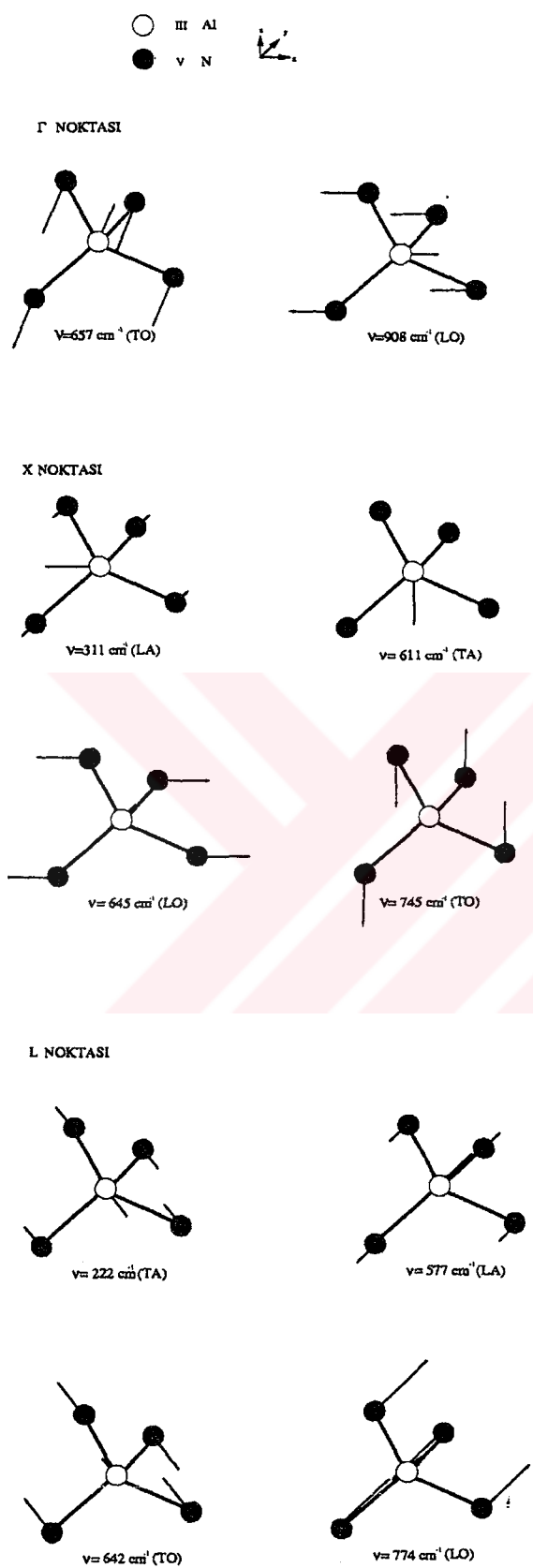
5.4 Hesaplanan Fonon Frekanslarının Titreşim Vektörleri



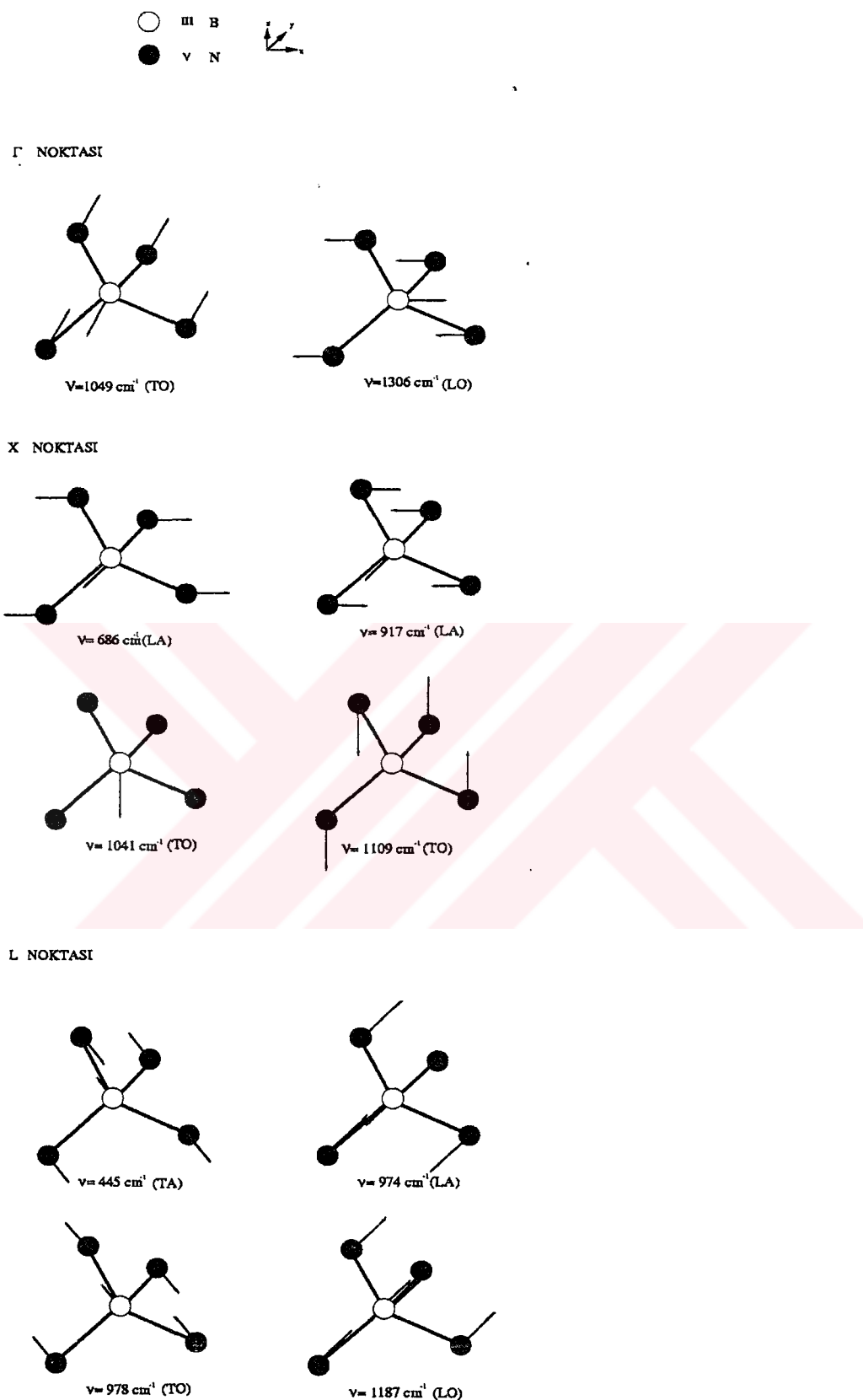
Şekil 5.10 InN yarıiletkenine ait titreşim vektörleri



Şekil 5.11 GaN yarıiletkenine ait titreşim vektörleri



Şekil 5.12 AlN yarıiletkenine ait titreşim vektörleri



Şekil 5.13 BN yarıiletkenine ait titreşim vektörleri

BÖLÜM 6. TARTIŞMA ve ÖNERİLER

Şekil (5.6, 5.7, 5.8, 5.9)'de III-N tipi yarıiletkenler (InN, GaN, AlN, BN) için hesaplanan durum yoğunlukları eğrileri görülmektedir. Sırasıyla InN ve GaN yarıiletkenlerine ait durum yoğunlukları eğrilerinde Şekil (5.6) ve Şekil (5.7)'de görüldüğü gibi akustik titreşimler için iki adet büyük pik vardır. Bu piklerin, incelenenler içinde yalnızca bu iki yarıiletkende gözlenmesinin sebebi In ve Ga atomlarının N atomuna göre kütlelerinin daha büyük olmasındandır. Bu oranlar (m_{In} / m_N) ve (m_{Ga} / m_N) için sırasıyla 8.2 ve 4.98'dir.

AlN için hesaplanan durum yoğunluk eğrisinde boyuna optik (TO) modda keskin bir pik gözlenmektedir. Bunun sebebi ise farklı yönlerde ([100], [110] ve [111]) yapılan hesaplamalarda elde edilen spektrum değerlerinin birbirine çok yakın olmasıdır. Aynı durum InN ve GaN için (Γ -X) ve (Γ -L) yönlerindeki boyuna optik (LO) modlar için gözlenmektedir.

Fonon dispersiyon ve durum yoğunluğu eğrileri belirlenen yarıiletkenlerin üzerinde farklı metotlarla da çalışmalar yapılması ve sonuçların net olarak belirlenmesi, bu tip yarıiletkenlerin teknolojik kullanımı açısından önemlidir. Bu çalışmada yapılan hesaplamalarda kullanılan model yarı kuantum mekaniksel bir modeldir. Bu modelde yapılan hesaplamalar deneysel sonuçlarla kıyaslanabileceği gibi, diğer bir kıyaslama yolu da teorik sonuçlar arasında bir karşılaştırma yapmaktadır. Bu da örgü dinamigi hesaplamaları için geliştirilen, kuantum mekaniksel olan ve hiçbir deneysel parametreye ihtiyaç duymayan *ab initio* model ile yapılan hesaplamalarla sağlanabilir.

KAYNAKLAR

- 1- Born M. and Karman V., Phys. Z, Vol. 13. 297. 1912.
- 2- Smith H. M. J., Phil. Trans. R. Soc. A, Vol. 24. 105. 1948.
- 3- Herman F., J. Phys. Chem. Solids, Vol. 8, 405. 1959.
- 4- Cochran W., Proc. R. Soc. A., Vol. 253, 260. 1959.
- 5- Waugh J. L. T. and Dolling G., Phys. Rev. B, Vol. 132, 2410. 1963.
- 6- Borcherds P. H. and Kunc K., J. Phys. C. Vol. 11, 4145. 1978.
- 7- Musgrave M. J. P. And Pople J. A., Proc. Roy. Soc. A, 1962.
- 8- Keating P. N., "Effect of Invariance Requirements on the Elastic Strain Energy of Crystals with Application to the Diamond Structure" Phys. Rev., Vol. 145, 637. 1966.
- 9- Martin R. Phys., "Elastic Properties of ZnS Structure Semiconductors" Rev. B Vol.1. 4005. 1970.
- 10-Tubino R., Piseri L. and Zerbi G., J. Chem. Phys., Vol. 56. 1022. 1972.
- 11-Banarjee R. and Varshni Y. P., J. Phys. (1969)47, 451
- 12-Kunc K., Balkanski M. and Nusimovici M. A., Phys. Stat. Sol. (b).Vol. 72, 229. 1975.
- 13-Phillips J., "Covalent Bond in Crystals. I. Elements of a Structural Theory" Phys. Rev. Vol.166. 832. 1968.
- 14-Martin R., "Lattice Vibrations in Silicon: Microscopic Dielectric Model" Phys. Rev. Lett. Vol.21. 536. 1968.
- 15-Martin R., "Dielectric Screening Model for Lattice Vibrations of Diamond-Structure Crystals" Phys. Rev., Vol. 186. 871. 1969.
- 16-Weber W., "New Bond-Charge Model for the Lattice Dynamics of Diamond-Type Semiconductors" Phys. Rev. Lett., Vol. 33. 371. 1974.
- 17-Weber W., "Adiabatic bond charge model for the phonons in diamond, Si, Ge, and *alpha*-Sn" Phys. Rev. B, Vol. 15. 4789. 1977.
- 18-Rustagi K. C. and Weber W., Solid State Commun., Vol. 18. 673. 1979.

- 19- Rajput B. D. and Browne D. A., "Lattice dynamics of II-VI materials using the adiabatic bond-charge model" Phys. Rev. B, Vol. 53. 9052. 1996.
- 20- Yip S. K. and Chang Y. C., Phys. Rev. B, Vol. 30. 7037. 1984.
- 21- Torres V. J. B. and Stoneham A. M., "Handbook of Interatomic Potentials", Harwell Labrotuary, Theoretical Physics Division, 1985.
- 22- Dolling G., "Inelastic Scattering of neutrons in Solids and Liquids", IAEA, Vienna, Vol. 1. 37. 1963.
- 23- Nillson G. and Nelin G., "Study of the Homology between Silicon and Germanium by Thermal-Neutron Spectrometry" Phys. Rev. B, Vol. 6. 3777. 1972.
- 24- Nillson G. and Nelin G., "Phonon Dispersion Relations in Ge at 80 °K" Phys. Rev. B, Vol. 3. 364. 1971.
- 25- Price D. L., Rowe J. M. and Nicklow R. M., "Lattice Dynamics of Grey Tin and Indium Antimonide" Phys. Rev. B, Vol. 3. 1268. 1971.
- 26- Dolling G. and Waung J. L. T., "Lattice Dynamics" (Pergamon, London, 1965)
- 27- Yarnell L. L., Warren J. L., Wenzel R. G. and Dean P. J., "Neutron Inelastic Scattering", IAEA, Vienna, Vol. 1. 301. 1968.
- 28- Borcherds P. H., Alfrey G. F., Saunderson D. H. and Woods A. D. B., J. Phys. C. Vol. 8. 2022. 1975.
- 29- Grimsditch M. H. and Ramdas A. K., "Brillouin scattering in diamond" Phys Rev. B Vol. 11. 3139. 1975.
- 30- Solin S. A. and Ramdas A. K., "Raman Spectrum of Diamond" Phys. Rev. B Vol. 1. 1687. 1970.
- 31- Carles R., Saint-Cricq N., Renucci J. B., Renucci M. A. and Zwick A., "Second-order Raman scattering in InAs" Phys. Rev. B Vol. 22. 4804. 1980.
- 32- Kunc K. and Dacosta P.G., "Real-space convergence of the force series in the lattice dynamics of germanium" Phys. Rev. B Vol. 32. 2010. 1985.
- 33- Srivastava G. P. and Kunc K., J. Phys. C. Vol. 21. 5087. 1988.
- 34- Maradudin A. A., Montroll E. W., Weiss G. H. and Ipatova I. P., "Theory of Lattice Dynamics in the Harmonic Approximation". 2. ed. Academic. New York. 1971.
- 35- Srivastava G. P., "The Physics Of Phonons". Adam Hilger. Bristol. 1990.

- 36- Strauch S., Dorner B. and Karch K., Proc. 3. Int Conf. On Phonon Physics
World Scientific. Vol. 382. Singapore. 1990.
- 37- Giannozzi P., De Gironcoli S., Pavone P. and Baroni S., "Ab initio calculation
of phonon dispersions in semiconductors" Phys. Rev. B, Vol. 43. 7231. 1991.

EK A. III-N TİPİ YARIİLETKENLERİN HESAPLANAN FONON FREKANSLARI

InN

NEW WAVE VECTOR

.000 .000 .000

FREQUENCY .00000000

X_R	X_I	Y_R	Y_I	Z_R	Z_I
.9441	.0000	.0000	.0000	.0000	.0000
.3298	.0000	.0000	.0000	.0000	.0000

FREQUENCY .00000000

X_R	X_I	Y_R	Y_I	Z_R	Z_I
.0000	.0000	.9434	.0000	-.0366	.0000
.0000	.0000	.3295	.0000	-.0128	.0000

FREQUENCY .00000000

X_R	X_I	Y_R	Y_I	Z_R	Z_I
.0000	.0000	.0366	.0000	.9434	.0000
.0000	.0000	.0128	.0000	.3295	.0000

FREQUENCY 462.07816638

X_R	X_I	Y_R	Y_I	Z_R	Z_I
.0000	.0000	-.2490	.0000	-.2162	.0000
.0000	.0000	.7129	.0000	.6189	.0000

FREQUENCY 462.07816638

X_R	X_I	Y_R	Y_I	Z_R	Z_I
.0000	.0000	-.2162	.0000	.2490	.0000
.0000	.0000	.6189	.0000	-.7129	.0000

FREQUENCY 598.89032304

X_R	X_I	Y_R	Y_I	Z_R	Z_I
.3298	.0000	.0000	.0000	.0000	.0000
-.9441	.0000	.0000	.0000	.0000	.0000

NEW WAVE VECTOR

.100 .100 .000

FREQUENCY 22.25285747

X_R	X_I	Y_R	Y_I	Z_R	Z_I
.0001	-.6693	-.0001	.6693	.0000	.0000
.0000	-.2282	.0000	.2282	.0000	.0000

FREQUENCY 31.72429790

X_R	X_I	Y_R	Y_I	Z_R	Z_I
.0000	.0018	.0000	.0018	.9474	.0000
.0000	-.0188	.0000	-.0188	.3190	.0000

FREQUENCY 52.34284860

X_R	X_I	Y_R	Y_I	Z_R	Z_I
.0000	-.6692	.0000	-.6692	.0034	.0000
.0000	-.2273	.0000	-.2273	-.0293	.0000

FREQUENCY 463.64054297

X_R	X_I	Y_R	Y_I	Z_R	Z_I
.0001	.2282	-.0001	-.2282	.0000	.0000
-.0002	-.6693	.0002	.6693	.0000	.0000

FREQUENCY 464.29162431

X_R	X_I	Y_R	Y_I	Z_R	Z_I
.0000	-.0194	.0000	-.0194	-.3191	.0000
.0000	-.0063	.0000	-.0063	.9473	.0000

FREQUENCY 597.59072602

X_R	X_I	Y_R	Y_I	Z_R	Z_I
.0000	-.2275	.0000	-.2275	.0248	.0000
.0000	.6693	.0000	.6693	.0079	.0000

NEW WAVE VECTOR

.200	.200	.000
------	------	------

FREQUENCY 42.89217891

X_R	X_I	Y_R	Y_I	Z_R	Z_I
.0000	.6739	.0000	-.6739	.0000	.0000
.0000	.2141	.0000	-.2141	.0000	.0000

FREQUENCY 62.16100899

X_R	X_I	Y_R	Y_I	Z_R	Z_I
.0000	.0071	.0000	.0071	.9560	.0000
.0000	-.0350	.0000	-.0350	.2889	.0000

FREQUENCY 100.40411257

X_R	X_I	Y_R	Y_I	Z_R	Z_I
.0000	.6741	.0000	.6741	-.0109	.0000
.0000	.2099	.0000	.2099	.0537	.0000

FREQUENCY 468.13003472

X_R	X_I	Y_R	Y_I	Z_R	Z_I
.0000	-.2141	.0000	.2141	.0000	.0000
.0000	.6739	.0000	-.6739	.0000	.0000

FREQUENCY 470.89052776

X_R	X_I	Y_R	Y_I	Z_R	Z_I
.0000	-.0362	.0000	-.0362	-.2893	.0000
.0000	-.0135	.0000	-.0135	.9557	.0000

FREQUENCY 593.70071462

X_R	X_I	Y_R	Y_I	Z_R	Z_I
.0000	-.2102	.0000	-.2102	.0472	.0000
.0000	.6742	.0000	.6742	.0175	.0000

NEW WAVE VECTOR

.300	.300	.000
------	------	------

FREQUENCY 60.91285927

X_R	X_I	Y_R	Y_I	Z_R	Z_I
.0000	.6800	.0000	-.6800	.0000	.0000
.0000	.1939	.0000	-.1939	.0000	.0000

FREQUENCY 90.74286840

X_R	X_I	Y_R	Y_I	Z_R	Z_I
.0000	.0194	.0000	.0194	.9668	.0000
.0000	-.0463	.0000	-.0463	.2456	.0000

FREQUENCY 140.26997124

X_R	X_I	Y_R	Y_I	Z_R	Z_I
.0000	.6815	.0000	.6815	-.0275	.0000
.0000	.1812	.0000	.1812	.0689	.0000

FREQUENCY 474.92531841

X_R	X_I	Y_R	Y_I	Z_R	Z_I
.0000	-.1939	.0000	.1939	.0000	.0000
.0001	.6800	-.0001	-.6800	.0000	.0000

FREQUENCY 481.57549588

X_R	X_I	Y_R	Y_I	Z_R	Z_I
.0000	-.0477	.0000	-.0477	-.2458	.0000
.0000	-.0231	.0000	-.0231	.9664	.0000

FREQUENCY 587.28119162

X_R	X_I	Y_R	Y_I	Z_R	Z_I
.0000	-.1815	.0000	-.1815	.0646	.0000
.0000	.6815	.0000	.6815	.0311	.0000

NEW WAVE VECTOR

.400 .400 .000

FREQUENCY 76.14692999

X_R	X_I	Y_R	Y_I	Z_R	Z_I
.0000	.6862	.0000	-.6862	.0000	.0000
.0000	.1708	.0000	-.1708	.0000	.0000

FREQUENCY 117.65993258

X_R	X_I	Y_R	Y_I	Z_R	Z_I
.0000	.0435	.0000	.0435	.9759	.0000
.0000	-.0511	.0000	-.0511	.1966	.0000

FREQUENCY 168.74020173

X_R	X_I	Y_R	Y_I	Z_R	Z_I
.0000	.6893	.0000	.6893	-.0611	.0000
.0000	.1427	.0000	.1427	.0724	.0000

FREQUENCY 482.99946990

X_R	X_I	Y_R	Y_I	Z_R	Z_I
.0000	-.1708	.0000	.1708	.0000	.0000
.0000	.6862	.0000	-.6862	.0000	.0000

FREQUENCY 495.52105977

X_R	X_I	Y_R	Y_I	Z_R	Z_I
.0000	-.0522	.0000	-.0522	-.1960	.0000
.0000	-.0378	.0000	-.0378	.9764	.0000

FREQUENCY 578.50123310

X_R	X_I	Y_R	Y_I	Z_R	Z_I
.0000	-.1423	.0000	-.1423	.0743	.0000
.0000	.6896	.0000	.6896	.0531	.0000

NEW WAVE VECTOR

.500 .500 .000

FREQUENCY 88.99347689

X_R	X_I	Y_R	Y_I	Z_R	Z_I
.0000	.6914	.0000	-.6914	.0000	.0000
.0000	.1483	.0000	-.1483	.0000	.0000

FREQUENCY 143.10171425

X_R	X_I	Y_R	Y_I	Z_R	Z_I
.0000	.0940	.0000	.0940	.9774	.0000
.0000	-.0488	.0000	-.0488	.1495	.0000

FREQUENCY 183.82405903

X_R	X_I	Y_R	Y_I	Z_R	Z_I
.0000	.6925	.0000	.6925	-.1331	.0000
.0000	.0977	.0000	.0977	.0631	.0000

FREQUENCY 491.12771669

X_R	X_I	Y_R	Y_I	Z_R	Z_I
.0000	-.1483	.0000	.1483	.0000	.0000
.0000	.6914	.0000	-.6914	.0000	.0000

FREQUENCY 511.35576938

X_R	X_I	Y_R	Y_I	Z_R	Z_I
.0000	-.0495	.0000	-.0495	-.1473	.0000
.0000	-.0662	.0000	-.0662	.9822	.0000

FREQUENCY 567.65073517

X_R	X_I	Y_R	Y_I	Z_R	Z_I
.0000	-.0954	.0000	-.0954	.0732	.0000
.0000	.6955	.0000	.6955	.0951	.0000

NEW WAVE VECTOR

.600 .600 .000

FREQUENCY 99.89890633

X_R	X_I	Y_R	Y_I	Z_R	Z_I
.0000	.6954	.0000	-.6954	.0000	.0000
.0000	.1283	.0000	-.1283	.0000	.0000

FREQUENCY 165.57643621

X_R	X_I	Y_R	Y_I	Z_R	Z_I
.0000	.2649	.0000	.2649	.9188	.0000
.0000	-.0370	.0000	-.0370	.1128	.0000

FREQUENCY 186.25406108

X_R	X_I	Y_R	Y_I	Z_R	Z_I
.0000	.6525	.0000	.6525	-.3757	.0000
.0000	.0558	.0000	.0558	.0321	.0000

FREQUENCY 498.23308292

X_R	X_I	Y_R	Y_I	Z_R	Z_I
.0000	-.1283	.0000	.1283	.0000	.0000
.0000	.6954	.0000	-.6954	.0000	.0000

FREQUENCY 527.17020992

X_R	X_I	Y_R	Y_I	Z_R	Z_I
.0000	.0420	.0000	.0420	.1068	.0000
.0000	.1476	.0000	.1476	-.9703	.0000

FREQUENCY 555.32969654

X_R	X_I	Y_R	Y_I	Z_R	Z_I
.0000	.0477	.0000	.0477	-.0570	.0000
.0000	-.6883	.0000	-.6883	-.2116	.0000

NEW WAVE VECTOR

.700 .700 .000

FREQUENCY 108.97925247

X_R	X_I	Y_R	Y_I	Z_R	Z_I
.0000	-.6982	.0000	.6982	.0000	.0000
.0000	-.1122	.0000	.1122	.0000	.0000

FREQUENCY 168.40250049

X_R	X_I	Y_R	Y_I	Z_R	Z_I
.0000	.6678	.0000	.6678	.3191	.0000
.0000	-.0254	.0000	-.0254	.0709	.0000

FREQUENCY 193.36296560

X_R	X_I	Y_R	Y_I	Z_R	Z_I
.0000	.2287	.0000	.2287	-.9443	.0000
.0000	.0365	.0000	.0365	-.0320	.0000

FREQUENCY 503.66668008

X_R	X_I	Y_R	Y_I	Z_R	Z_I
.0000	.1122	.0000	-.1122	.0000	.0000
.0000	-.6982	.0000	.6982	.0000	.0000

FREQUENCY 535.71845301

X_R	X_I	Y_R	Y_I	Z_R	Z_I
.0000	-.0330	.0000	-.0330	-.0800	.0000
.0000	-.5787	.0000	-.5787	.5672	.0000

FREQUENCY 547.67926529

X_R	X_I	Y_R	Y_I	Z_R	Z_I
.0000	-.0260	.0000	-.0260	-.0091	.0000
.0000	.4040	.0000	.4040	.8199	.0000

NEW WAVE VECTOR

.800 .800 .000

FREQUENCY 115.97256126

X_R	X_I	Y_R	Y_I	Z_R	Z_I
.0000	-.6999	.0000	.6999	.0000	.0000
.0000	-.1005	.0000	.1005	.0000	.0000

FREQUENCY 150.09668330

X_R	X_I	Y_R	Y_I	Z_R	Z_I
.0000	-.7005	.0000	-.7005	-.1029	.0000
.0000	.0562	.0000	.0562	-.0411	.0000

FREQUENCY 209.48518280

X_R	X_I	Y_R	Y_I	Z_R	Z_I
.0000	.0753	.0000	.0753	-.9937	.0000
.0000	.0213	.0000	.0213	-.0197	.0000

FREQUENCY 507.27454396

X_R	X_I	Y_R	Y_I	Z_R	Z_I
.0000	.1005	.0000	-.1005	.0000	.0000
.0000	-.6999	.0000	.6999	.0000	.0000

FREQUENCY 524.66034516

X_R	X_I	Y_R	Y_I	Z_R	Z_I
.0000	-.0570	.0000	-.0570	-.0412	.0000
.0000	-.6974	.0000	-.6974	.1383	.0000

FREQUENCY 556.93216395
 $\begin{array}{cccccc} X_R & X_I & Y_R & Y_I & Z_R & Z_I \\ .0000 & -.0196 & .0000 & -.0196 & -.0183 & .0000 \\ .0000 & .1002 & .0000 & .1002 & .9893 & .0000 \end{array}$

NEW WAVE VECTOR
.900 .900 .000

FREQUENCY 120.43089626
 $\begin{array}{cccccc} X_R & X_I & Y_R & Y_I & Z_R & Z_I \\ .0000 & -.7009 & .0000 & .7009 & .0000 & .0000 \\ .0000 & -.0934 & .0000 & .0934 & .0000 & .0000 \end{array}$

FREQUENCY 130.59921416
 $\begin{array}{cccccc} X_R & X_I & Y_R & Y_I & Z_R & Z_I \\ .0000 & .7018 & .0000 & .7018 & .0367 & .0000 \\ .0000 & -.0816 & .0000 & -.0816 & .0198 & .0000 \end{array}$

FREQUENCY 220.88194412
 $\begin{array}{cccccc} X_R & X_I & Y_R & Y_I & Z_R & Z_I \\ .0000 & -.0272 & .0000 & -.0272 & .9992 & .0000 \\ .0000 & -.0092 & .0000 & -.0092 & .0053 & .0000 \end{array}$

FREQUENCY 509.24885890
 $\begin{array}{cccccc} X_R & X_I & Y_R & Y_I & Z_R & Z_I \\ .0000 & .0934 & .0000 & -.0934 & .0000 & .0000 \\ .0000 & -.7009 & .0000 & .7009 & .0000 & .0000 \end{array}$

FREQUENCY 514.03550085
 $\begin{array}{cccccc} X_R & X_I & Y_R & Y_I & Z_R & Z_I \\ .0000 & -.0818 & .0000 & -.0818 & -.0176 & .0000 \\ .0000 & -.7014 & .0000 & -.7014 & .0483 & .0000 \end{array}$

FREQUENCY 564.62840708
 $\begin{array}{cccccc} X_R & X_I & Y_R & Y_I & Z_R & Z_I \\ .0000 & -.0098 & .0000 & -.0098 & -.0051 & .0000 \\ .0000 & .0356 & .0000 & .0356 & .9986 & .0000 \end{array}$

NEW WAVE VECTOR
1.000 1.000 .000

FREQUENCY 121.96691058
 $\begin{array}{cccccc} X_R & X_I & Y_R & Y_I & Z_R & Z_I \\ .0115 & -.9916 & .0000 & -.0001 & .0000 & .0000 \\ .0000 & .0000 & -.0015 & .1287 & .0000 & .0000 \end{array}$

FREQUENCY 121.96691059
 $\begin{array}{cccccc} X_R & X_I & Y_R & Y_I & Z_R & Z_I \\ .0000 & .0001 & .0082 & -.9917 & .0000 & .0000 \\ -.0011 & .1287 & .0000 & .0000 & .0000 & .0000 \end{array}$

FREQUENCY 224.94456516
 $\begin{array}{cccccc} X_R & X_I & Y_R & Y_I & Z_R & Z_I \\ .0000 & .0000 & .0000 & .0000 & 1.0000 & .0000 \\ .0000 & .0000 & .0000 & .0000 & .0000 & .0000 \end{array}$

FREQUENCY 509.86580507
 $\begin{array}{cccccc} X_R & X_I & Y_R & Y_I & Z_R & Z_I \\ .0000 & .0000 & -.0132 & -.1280 & .0000 & .0000 \\ -.1019 & -.9864 & .0000 & .0000 & .0000 & .0000 \end{array}$

FREQUENCY 509.86580519
 $\begin{array}{cccccc} X_R & X_I & Y_R & Y_I & Z_R & Z_I \\ -.0098 & -.1283 & .0000 & .0000 & .0000 & .0000 \\ .0000 & .0000 & -.0752 & -.9888 & .0000 & .0000 \end{array}$

FREQUENCY 567.36736557
 $\begin{array}{cccccc} X_R & X_I & Y_R & Y_I & Z_R & Z_I \\ .0000 & .0000 & .0000 & .0000 & .0000 & .0000 \\ .0000 & .0000 & .0000 & .0000 & 1.0000 & .0000 \end{array}$

.900 .000 .000
FREQUENCY 120.95194777
 $\begin{array}{cccccc} X_R & X_I & Y_R & Y_I & Z_R & Z_I \\ .0000 & .0000 & .2107 & -.7261 & -.1097 & .6311 \\ .0000 & .0000 & .0902 & -.0171 & -.0981 & .0000 \end{array}$

FREQUENCY 120.95194777
 $\begin{array}{cccccc} X_R & X_I & Y_R & Y_I & Z_R & Z_I \\ .0000 & .0000 & .2251 & .5997 & .3420 & .6743 \\ .0000 & .0000 & .0963 & -.0182 & .0918 & .0000 \end{array}$

FREQUENCY 221.89829998
 $\begin{array}{cccccc} X_R & X_I & Y_R & Y_I & Z_R & Z_I \\ .9660 & -.2509 & .0000 & .0000 & .0000 & .0000 \\ .0609 & -.0158 & .0000 & .0000 & .0000 & .0000 \end{array}$

FREQUENCY 508.65223737
 $\begin{array}{cccccc} X_R & X_I & Y_R & Y_I & Z_R & Z_I \\ .0000 & .0000 & -.0336 & -.0783 & -.0260 & -.1005 \\ .0000 & .0000 & .7821 & .0009 & .6085 & .0000 \end{array}$

FREQUENCY 508.65223737
 $\begin{array}{cccccc} X_R & X_I & Y_R & Y_I & Z_R & Z_I \\ .0000 & .0000 & .0261 & -.1005 & -.0337 & .0782 \\ .0000 & .0000 & -.6085 & -.0007 & .7821 & .0000 \end{array}$

FREQUENCY 568.29667556
 $\begin{array}{cccccc} X_R & X_I & Y_R & Y_I & Z_R & Z_I \\ .0063 & -.0626 & .0000 & .0000 & .0000 & .0000 \\ -.0994 & .9931 & .0000 & .0000 & .0000 & .0000 \end{array}$

.800 .000 .000
FREQUENCY 117.83676376
 $\begin{array}{cccccc} X_R & X_I & Y_R & Y_I & Z_R & Z_I \\ .0000 & .0000 & .4035 & -.5683 & -.3876 & .5844 \\ .0000 & .0000 & .1078 & -.0006 & -.1044 & .0000 \end{array}$

FREQUENCY 117.83676376
 $\begin{array}{cccccc} X_R & X_I & Y_R & Y_I & Z_R & Z_I \\ .0000 & .0000 & .3907 & .5823 & .4065 & .5660 \\ .0000 & .0000 & .1044 & -.0006 & .1078 & .0000 \end{array}$

FREQUENCY 212.91928696
 $\begin{array}{cccccc} X_R & X_I & Y_R & Y_I & Z_R & Z_I \\ .9885 & -.0894 & .0000 & .0000 & .0000 & .0000 \\ .1216 & -.0110 & .0000 & .0000 & .0000 & .0000 \end{array}$

FREQUENCY 505.13681421
 $\begin{array}{cccccc} X_R & X_I & Y_R & Y_I & Z_R & Z_I \\ .0000 & .0000 & .0595 & .0802 & .0717 & .0861 \end{array}$

.0000	.0000	-.6895	.0887	-.7030	.0000
 FREQUENCY 505.13681421					
X_R	X_I	Y_R	Y_I	Z_R	Z_I
.0000	.0000	-.0601	.0946	.0487	-.0871
.0000	.0000	.6972	-.0897	-.6952	.0000
;					
 FREQUENCY 570.93601158					
X_R	X_I	Y_R	Y_I	Z_R	Z_I
.0379	-.1160	.0000	.0000	.0000	.0000
-.3083	.9434	.0000	.0000	.0000	.0000
 .700 .000 .000					
 FREQUENCY 112.42629665					
X_R	X_I	Y_R	Y_I	Z_R	Z_I
.0000	.0000	.5262	-.4793	-.4824	.4801
.0000	.0000	.1255	-.0051	-.1197	.0000
 FREQUENCY 112.42629665					
X_R	X_I	Y_R	Y_I	Z_R	Z_I
.0000	.0000	.5015	.4602	.5452	.4576
.0000	.0000	.1196	-.0049	.1256	.0000
 FREQUENCY 198.44484202					
X_R	X_I	Y_R	Y_I	Z_R	Z_I
.9811	-.0835	.0000	.0000	.0000	.0000
.1739	-.0148	.0000	.0000	.0000	.0000
 FREQUENCY 499.68426147					
X_R	X_I	Y_R	Y_I	Z_R	Z_I
.0000	.0000	.0901	.0875	.0869	.0822
.0000	.0000	-.6926	-.0344	-.6993	.0000
 FREQUENCY 499.68426147					
X_R	X_I	Y_R	Y_I	Z_R	Z_I
.0000	.0000	-.0909	.0778	.0944	-.0829
.0000	.0000	.6984	.0347	-.6935	.0000
 FREQUENCY 574.88741914					
X_R	X_I	Y_R	Y_I	Z_R	Z_I
.1587	-.0728	.0000	.0000	.0000	.0000
-.8950	.4104	.0000	.0000	.0000	.0000
 .600 .000 .000					
 FREQUENCY 104.44874769					
X_R	X_I	Y_R	Y_I	Z_R	Z_I
.0000	.0000	.6022	-.3600	-.5685	.3793
.0000	.0000	.1466	-.0003	-.1386	.0000
 FREQUENCY 104.44874769					
X_R	X_I	Y_R	Y_I	Z_R	Z_I
.0000	.0000	-.5694	-.3780	-.6030	-.3586
.0000	.0000	-.1386	.0003	-.1466	.0000
 FREQUENCY 179.09212890					
X_R	X_I	Y_R	Y_I	Z_R	Z_I
-.9712	.0933	.0000	.0000	.0000	.0000
-.2180	.0210	.0000	.0000	.0000	.0000

FREQUENCY 492.86363468
 $\begin{array}{cccccc} X_R & X_I & Y_R & Y_I & Z_R & Z_I \\ .0000 & .0000 & -.1328 & -.0714 & -.1048 & -.0836 \\ .0000 & .0000 & .7616 & .0223 & .6154 & .0000 \end{array}$

FREQUENCY 492.86363468
 $\begin{array}{cccccc} X_R & X_I & Y_R & Y_I & Z_R & Z_I \\ .0000 & .0000 & -.1072 & .0805 & .1348 & -.0675 \\ .0000 & .0000 & .6151 & .0180 & -.7620 & .0000 \end{array}$

FREQUENCY 579.61641928
 $\begin{array}{cccccc} X_R & X_I & Y_R & Y_I & Z_R & Z_I \\ .2126 & -.0529 & .0000 & .0000 & .0000 & .0000 \\ -.9469 & .2355 & .0000 & .0000 & .0000 & .0000 \end{array}$

.500 .000 .000
FREQUENCY 93.63522190
 $\begin{array}{cccccc} X_R & X_I & Y_R & Y_I & Z_R & Z_I \\ .0000 & .0000 & .6072 & -.2851 & -.6492 & .2730 \\ .0000 & .0000 & .1590 & .0015 & -.1694 & .0000 \end{array}$

FREQUENCY 93.63522190
 $\begin{array}{cccccc} X_R & X_I & Y_R & Y_I & Z_R & Z_I \\ .0000 & .0000 & -.6467 & -.2790 & -.6046 & -.2907 \\ .0000 & .0000 & -.1694 & -.0016 & -.1590 & .0000 \end{array}$

FREQUENCY 155.56025399
 $\begin{array}{cccccc} X_R & X_I & Y_R & Y_I & Z_R & Z_I \\ -.8768 & .4075 & .0000 & .0000 & .0000 & .0000 \\ -.2314 & .1075 & .0000 & .0000 & .0000 & .0000 \end{array}$

FREQUENCY 485.38633492
 $\begin{array}{cccccc} X_R & X_I & Y_R & Y_I & Z_R & Z_I \\ .0000 & .0000 & .1408 & .0735 & .1572 & .0633 \\ .0000 & .0000 & -.6464 & -.0108 & -.7267 & .0000 \end{array}$

FREQUENCY 485.38633492
 $\begin{array}{cccccc} X_R & X_I & Y_R & Y_I & Z_R & Z_I \\ .0000 & .0000 & -.1583 & .0607 & .1420 & -.0712 \\ .0000 & .0000 & .7266 & .0122 & -.6465 & .0000 \end{array}$

FREQUENCY 584.56904521
 $\begin{array}{cccccc} X_R & X_I & Y_R & Y_I & Z_R & Z_I \\ .2510 & -.0458 & .0000 & .0000 & .0000 & .0000 \\ -.9512 & .1735 & .0000 & .0000 & .0000 & .0000 \end{array}$

.400 .000 .000
FREQUENCY 79.82322638
 $\begin{array}{cccccc} X_R & X_I & Y_R & Y_I & Z_R & Z_I \\ .0000 & .0000 & .6273 & -.2140 & -.6718 & .2012 \\ .0000 & .0000 & .1792 & .0004 & -.1918 & .0000 \end{array}$

FREQUENCY 79.82322638
 $\begin{array}{cccccc} X_R & X_I & Y_R & Y_I & Z_R & Z_I \\ .0000 & .0000 & -.6714 & -.2026 & -.6268 & -.2154 \\ .0000 & .0000 & -.1918 & -.0004 & -.1792 & .0000 \end{array}$

FREQUENCY 128.56685299
 $\begin{array}{cccccc} X_R & X_I & Y_R & Y_I & Z_R & Z_I \\ -.9563 & -.0718 & .0000 & .0000 & .0000 & .0000 \end{array}$

-.2825 -.0212 .0000 .0000 .0000 .0000
FREQUENCY 478.01965283
 X_R X_I Y_R Y_I Z_R Z_I
 .0000 .0000 -.1784 -.0540 -.1758 -.0572
 .0000 .0000 .6886 -.0082 .6759 .0000
 ;
FREQUENCY 478.01965283
 X_R X_I Y_R Y_I Z_R Z_I
 .0000 .0000 -.1751 .0593 .1777 -.0562
 .0000 .0000 .6758 -.0081 -.6887 .0000
FREQUENCY 589.25199873
 X_R X_I Y_R Y_I Z_R Z_I
 .2797 -.0452 .0000 .0000 .0000 .0000
 -.9468 .1529 .0000 .0000 .0000 .0000
 .300 .000 .000
FREQUENCY 63.06330751
 X_R X_I Y_R Y_I Z_R Z_I
 .0000 .0000 .6695 -.1410 -.6527 .1481
 .0000 .0000 .2075 .0010 -.2021 .0000
FREQUENCY 63.06330751
 X_R X_I Y_R Y_I Z_R Z_I
 .0000 .0000 -.6520 -.1513 -.6688 -.1442
 .0000 .0000 -.2021 -.0010 -.2075 .0000
FREQUENCY 98.82128165
 X_R X_I Y_R Y_I Z_R Z_I
 -.9494 -.0785 .0000 .0000 .0000 .0000
 -.3032 -.0251 .0000 .0000 .0000 .0000
FREQUENCY 471.48988428
 X_R X_I Y_R Y_I Z_R Z_I
 .0000 .0000 -.2126 -.0375 -.1873 -.0470
 .0000 .0000 .7194 -.0129 .6312 .0000
FREQUENCY 471.48988428
 X_R X_I Y_R Y_I Z_R Z_I
 .0000 .0000 -.1865 .0504 .2118 -.0413
 .0000 .0000 .6311 -.0113 -.7195 .0000
FREQUENCY 593.26974359
 X_R X_I Y_R Y_I Z_R Z_I
 .2995 -.0536 .0000 .0000 .0000 .0000
 -.9377 .1677 .0000 .0000 .0000 .0000
 .200 .000 .000
FREQUENCY 43.69667234
 X_R X_I Y_R Y_I Z_R Z_I
 .0000 .0000 -.7646 -.1930 .5197 -.1064
 .0000 .0000 -.2528 -.0860 .1598 .0000
FREQUENCY 43.69667234
 X_R X_I Y_R Y_I Z_R Z_I
 .0000 .0000 .4576 .2682 .7860 .0637
 .0000 .0000 .1513 .0515 .2670 .0000

FREQUENCY 67.02019903

X_R	X_I	Y_R	Y_I	Z_R	Z_I
-.9479	-.0083	.0000	.0000	.0000	.0000
-.3186	-.0028	.0000	.0000	.0000	.0000

FREQUENCY 466.39931334

X_R	X_I	Y_R	Y_I	Z_R	Z_I
.0000	.0000	-.2273	-.0221	-.2090	-.0316
.0000	.0000	.7008	-.0212	.6415	.0000

FREQUENCY 466.39931334

X_R	X_I	Y_R	Y_I	Z_R	Z_I
.0000	.0000	-.2080	.0380	.2265	-.0289
.0000	.0000	.6412	-.0194	-.7012	.0000

FREQUENCY 596.33122096

X_R	X_I	Y_R	Y_I	Z_R	Z_I
.3181	-.0180	.0000	.0000	.0000	.0000
-.9464	.0536	.0000	.0000	.0000	.0000

.100 .000 .000

FREQUENCY 22.37347132

X_R	X_I	Y_R	Y_I	Z_R	Z_I
.0000	.0000	-.4299	-.0219	-.8416	-.0289
.0000	.0000	-.1481	.0119	-.2891	.0000

FREQUENCY 22.37347132

X_R	X_I	Y_R	Y_I	Z_R	Z_I
.0000	.0000	-.8365	.0963	.4268	-.0563
.0000	.0000	-.2881	.0232	.1485	.0000

FREQUENCY 33.85167087

X_R	X_I	Y_R	Y_I	Z_R	Z_I
-.9450	-.0030	.0000	.0000	.0000	.0000
-.3270	-.0010	.0000	.0000	.0000	.0000

FREQUENCY 463.17868265

X_R	X_I	Y_R	Y_I	Z_R	Z_I
.0000	.0000	.2120	.0155	.2455	.0143
.0000	.0000	-.6181	.0030	-.7157	.0000

FREQUENCY 463.17868265

X_R	X_I	Y_R	Y_I	Z_R	Z_I
.0000	.0000	-.2454	.0154	.2119	-.0165
.0000	.0000	.7157	-.0035	-.6182	.0000

FREQUENCY 598.24161492

X_R	X_I	Y_R	Y_I	Z_R	Z_I
.3267	-.0145	.0000	.0000	.0000	.0000
-.9441	.0419	.0000	.0000	.0000	.0000

.000 .000 .000

FREQUENCY .00000000

X_R	X_I	Y_R	Y_I	Z_R	Z_I
.9441	.0000	.0000	.0000	.0000	.0000
.3298	.0000	.0000	.0000	.0000	.0000

FREQUENCY .00000000

X_R	X_I	Y_R	Y_I	Z_R	Z_I
.0000	.0000	.9434	.0000	-.0366	.0000

.0000	.0000	.3295	.0000	-.0128	.0000
FREQUENCY .00000000					
X_R	X_I	Y_R	Y_I	Z_R	Z_I
.0000	.0000	.0366	.0000	.9434	.0000
.0000	.0000	.0128	.0000	.3295	.0000
FREQUENCY 462.07816638					
X_R	X_I	Y_R	Y_I	Z_R	Z_I
.0000	.0000	-.2490	.0000	-.2162	.0000
.0000	.0000	.7129	.0000	.6189	.0000
FREQUENCY 462.07816638					
X_R	X_I	Y_R	Y_I	Z_R	Z_I
.0000	.0000	-.2162	.0000	.2490	.0000
.0000	.0000	.6189	.0000	-.7129	.0000
FREQUENCY 598.89032304					
X_R	X_I	Y_R	Y_I	Z_R	Z_I
.3298	.0000	.0000	.0000	.0000	.0000
-.9441	.0000	.0000	.0000	.0000	.0000
.050	.050	.050			
FREQUENCY 15.81736417					
X_R	X_I	Y_R	Y_I	Z_R	Z_I
.7712	-.0261	-.3856	.0131	-.3856	.0131
.2668	.0000	-.1334	.0000	-.1334	.0000
FREQUENCY 15.81736445					
X_R	X_I	Y_R	Y_I	Z_R	Z_I
.0000	.0000	.6679	-.0226	-.6679	.0226
.0000	.0000	.2311	.0000	-.2311	.0000
FREQUENCY 33.38522954					
X_R	X_I	Y_R	Y_I	Z_R	Z_I
-.5447	-.0325	-.5447	-.0325	-.5447	-.0325
-.1887	.0000	-.1887	.0000	-.1887	.0000
FREQUENCY 462.74554993					
X_R	X_I	Y_R	Y_I	Z_R	Z_I
.2667	-.0090	-.1333	.0045	-.1333	.0045
-.7717	.0000	.3858	.0000	.3858	.0000
FREQUENCY 462.74555002					
X_R	X_I	Y_R	Y_I	Z_R	Z_I
.0000	.0000	.2309	-.0078	-.2309	.0078
.0000	.0000	-.6683	.0000	.6683	.0000
FREQUENCY 598.40584147					
X_R	X_I	Y_R	Y_I	Z_R	Z_I
-.1884	-.0112	-.1884	-.0112	-.1884	-.0112
.5456	.0000	.5456	.0000	.5456	.0000
.100	.100	.100			
FREQUENCY 30.89117310					
X_R	X_I	Y_R	Y_I	Z_R	Z_I
.7721	-.0552	-.3860	.0276	-.3860	.0276
.2598	.0000	-.1299	.0000	-.1299	.0000

FREQUENCY	30.89117324					
X_R	X_I	Y_R	Y_I	Z_R	Z_I	
.0000	.0000	.6687	-.0478	-.6687	.0478	
.0000	.0000	.2250	.0000	-.2250	.0000	
FREQUENCY	66.09429082					
X_R	X_I	Y_R	Y_I	Z_R	Z_I	
-.5435	-.0647	-.5435	-.0647	-.5435	-.0647	
-.1837	.0000	-.1837	.0000	-.1837	.0000	
FREQUENCY	464.69936175					
X_R	X_I	Y_R	Y_I	Z_R	Z_I	
.2591	-.0185	-.1296	.0093	-.1296	.0093	
-.7741	.0000	.3870	.0000	.3870	.0000	
FREQUENCY	464.69936184					
X_R	X_I	Y_R	Y_I	Z_R	Z_I	
.0000	.0000	.2244	-.0160	-.2244	.0160	
.0000	.0000	-.6704	.0000	.6704	.0000	
FREQUENCY	596.98287550					
X_R	X_I	Y_R	Y_I	Z_R	Z_I	
-.1824	-.0217	-.1824	-.0217	-.1824	-.0217	
.5474	.0000	.5474	.0000	.5474	.0000	
.150 .150 .150						
FREQUENCY	44.57865427					
X_R	X_I	Y_R	Y_I	Z_R	Z_I	
.7724	-.0899	-.3862	.0449	-.3862	.0449	
.2490	.0000	-.1245	.0000	-.1245	.0000	
FREQUENCY	44.57865436					
X_R	X_I	Y_R	Y_I	Z_R	Z_I	
.0000	.0000	.6689	-.0778	-.6689	.0778	
.0000	.0000	.2156	.0000	-.2156	.0000	
FREQUENCY	97.44667818					
X_R	X_I	Y_R	Y_I	Z_R	Z_I	
-.5417	-.0960	-.5417	-.0960	-.5417	-.0960	
-.1751	.0000	-.1751	.0000	-.1751	.0000	
FREQUENCY	467.79059797					
X_R	X_I	Y_R	Y_I	Z_R	Z_I	
.2473	-.0288	-.1237	.0144	-.1237	.0144	
-.7776	.0000	.3888	.0000	.3888	.0000	
FREQUENCY	467.79059806					
X_R	X_I	Y_R	Y_I	Z_R	Z_I	
.0000	.0000	.2142	-.0249	-.2142	.0249	
.0000	.0000	-.6734	.0000	.6734	.0000	
FREQUENCY	594.71406070					
X_R	X_I	Y_R	Y_I	Z_R	Z_I	
-.1724	-.0306	-.1724	-.0306	-.1724	-.0306	
.5502	.0000	.5502	.0000	.5502	.0000	
.200 .200 .200						
FREQUENCY	56.41598281					
X_R	X_I	Y_R	Y_I	Z_R	Z_I	
-.7704	.1327	.3852	-.0664	.3852	-.0664	

.2356	.0000	.1178	.0000	.1178	.0000
FREQUENCY 56.41598288					
X_R	X_I	Y_R	Y_I	Z_R	Z_I
.0000	.0000	.6672	-.1149	-.6672	.1149
.0000	.0000	.2040	.0000	-.2040	.0000
f					
FREQUENCY 126.75362040					
X_R	X_I	Y_R	Y_I	Z_R	Z_I
-.5395	-.1258	-.5395	-.1258	-.5395	-.1258
-.1627	.0000	-.1627	.0000	-.1627	.0000
FREQUENCY 471.76327542					
X_R	X_I	Y_R	Y_I	Z_R	Z_I
.2322	-.0400	-.1161	.0200	-.1161	.0200
-.7818	.0000	.3909	.0000	.3909	.0000
FREQUENCY 471.76327551					
X_R	X_I	Y_R	Y_I	Z_R	Z_I
.0000	.0000	.2011	-.0346	-.2011	.0346
.0000	.0000	-.6770	.0000	.6770	.0000
FREQUENCY 591.75743709					
X_R	X_I	Y_R	Y_I	Z_R	Z_I
-.1585	-.0370	-.1585	-.0370	-.1585	-.0370
.5539	.0000	.5539	.0000	.5539	.0000
.250 .250 .250					
FREQUENCY 66.15600434					
X_R	X_I	Y_R	Y_I	Z_R	Z_I
-.7638	.1855	.3819	-.0928	.3819	-.0928
-.2211	.0000	.1105	.0000	.1105	.0000
FREQUENCY 66.15600439					
X_R	X_I	Y_R	Y_I	Z_R	Z_I
.0000	.0000	.6615	-.1607	-.6615	.1607
.0000	.0000	.1915	.0000	-.1915	.0000
FREQUENCY 153.31537297					
X_R	X_I	Y_R	Y_I	Z_R	Z_I
-.5372	-.1528	-.5372	-.1528	-.5372	-.1528
-.1463	.0000	-.1463	.0000	-.1463	.0000
FREQUENCY 476.25847281					
X_R	X_I	Y_R	Y_I	Z_R	Z_I
.2148	-.0522	-.1074	.0261	-.1074	.0261
-.7860	.0000	.3930	.0000	.3930	.0000
FREQUENCY 476.25847290					
X_R	X_I	Y_R	Y_I	Z_R	Z_I
.0000	.0000	.1860	-.0452	-.1860	.0452
.0000	.0000	-.6807	.0000	.6807	.0000
FREQUENCY 588.34012878					
X_R	X_I	Y_R	Y_I	Z_R	Z_I
-.1407	-.0400	-.1407	-.0400	-.1407	-.0400
.5585	.0000	.5585	.0000	.5585	.0000

.300 .300 .300
 FREQUENCY 73.75882989
 $\begin{array}{cccccc} X_R & X_I & Y_R & Y_I & Z_R & Z_I \\ .7496 & -.2490 & -.3748 & .1245 & -.3748 & .1245 \\ .2069 & .0000 & -.1034 & .0000 & -.1034 & .0000 \end{array}$

FREQUENCY 73.75882994
 $\begin{array}{cccccc} X_R & X_I & Y_R & Y_I & Z_R & Z_I \\ .0000 & .0000 & .6491 & -.2157 & -.6491 & .2157 \\ .0000 & .0000 & .1792 & .0000 & -.1792 & .0000 \end{array}$

FREQUENCY 176.42345256
 $\begin{array}{cccccc} X_R & X_I & Y_R & Y_I & Z_R & Z_I \\ -.5359 & -.1741 & -.5359 & -.1741 & -.5359 & -.1741 \\ -.1256 & .0000 & -.1256 & .0000 & -.1256 & .0000 \end{array}$

FREQUENCY 480.83908861
 $\begin{array}{cccccc} X_R & X_I & Y_R & Y_I & Z_R & Z_I \\ .1963 & -.0652 & -.0982 & .0326 & -.0982 & .0326 \\ -.7899 & .0000 & .3949 & .0000 & .3949 & .0000 \end{array}$

FREQUENCY 480.83908870
 $\begin{array}{cccccc} X_R & X_I & Y_R & Y_I & Z_R & Z_I \\ .0000 & .0000 & .1700 & -.0565 & -.1700 & .0565 \\ .0000 & .0000 & -.6840 & .0000 & .6840 & .0000 \end{array}$

FREQUENCY 584.75879161
 $\begin{array}{cccccc} X_R & X_I & Y_R & Y_I & Z_R & Z_I \\ -.1195 & -.0388 & -.1195 & -.0388 & -.1195 & -.0388 \\ .5635 & .0000 & .5635 & .0000 & .5635 & .0000 \end{array}$

.350 .350 .350
 FREQUENCY 79.34192344
 $\begin{array}{cccccc} X_R & X_I & Y_R & Y_I & Z_R & Z_I \\ -.7245 & .3225 & .3622 & -.1612 & .3622 & -.1612 \\ -.1944 & .0000 & .0972 & .0000 & .0972 & .0000 \end{array}$

FREQUENCY 79.34192348
 $\begin{array}{cccccc} X_R & X_I & Y_R & Y_I & Z_R & Z_I \\ .0000 & .0000 & .6274 & -.2793 & -.6274 & .2793 \\ .0000 & .0000 & .1683 & .0000 & -.1683 & .0000 \end{array}$

FREQUENCY 195.37417349
 $\begin{array}{cccccc} X_R & X_I & Y_R & Y_I & Z_R & Z_I \\ -.5379 & -.1839 & -.5379 & -.1839 & -.5379 & -.1839 \\ -.1008 & .0000 & -.1008 & .0000 & -.1008 & .0000 \end{array}$

FREQUENCY 485.03579285
 $\begin{array}{cccccc} X_R & X_I & Y_R & Y_I & Z_R & Z_I \\ .1776 & -.0791 & -.0888 & .0395 & -.0888 & .0395 \\ -.7930 & .0000 & .3965 & .0000 & .3965 & .0000 \end{array}$

FREQUENCY 485.03579295
 $\begin{array}{cccccc} X_R & X_I & Y_R & Y_I & Z_R & Z_I \\ .0000 & .0000 & .1538 & -.0685 & -.1538 & .0685 \\ .0000 & .0000 & -.6868 & .0000 & .6868 & .0000 \end{array}$

FREQUENCY 581.37002729
 $\begin{array}{cccccc} X_R & X_I & Y_R & Y_I & Z_R & Z_I \\ -.0954 & -.0326 & -.0954 & -.0326 & -.0954 & -.0326 \end{array}$

.5685	.0000	.5685	.0000	.5685	.0000
.400	.400	.400			
FREQUENCY		83.10687232			
X_R	X_I	Y_R	Y_I	Z_R	Z_I
-.6857	.4030	.3429	-.2015	.3428	-.2015
-.1847	.0000	.0923	.0000	.0923	.0000
FREQUENCY		83.10687236			
X_R	X_I	Y_R	Y_I	Z_R	Z_I
.0000	.0000	.5938	-.3490	-.5938	.3490
.0000	.0000	.1599	.0000	-.1599	.0000
FREQUENCY		209.50230452			.
X_R	X_I	Y_R	Y_I	Z_R	Z_I
-.5484	-.1653	-.5484	-.1653	-.5484	-.1653
-.0724	.0000	-.0724	.0000	-.0724	.0000
FREQUENCY		488.40473140			
X_R	X_I	Y_R	Y_I	Z_R	Z_I
.1592	-.0936	-.0796	.0468	-.0796	.0468
-.7953	.0000	.3977	.0000	.3977	.0000
FREQUENCY		488.40473150			
X_R	X_I	Y_R	Y_I	Z_R	Z_I
.0000	.0000	.1379	-.0810	-.1379	.0810
.0000	.0000	-.6888	.0000	.6888	.0000
FREQUENCY		578.56154892			
X_R	X_I	Y_R	Y_I	Z_R	Z_I
-.0694	-.0209	-.0694	-.0209	-.0694	-.0209
.5728	.0000	.5728	.0000	.5728	.0000
.450	.450	.450			
FREQUENCY		85.26286037			
X_R	X_I	Y_R	Y_I	Z_R	Z_I
.6318	-.4855	-.3159	.2427	-.3159	.2427
.1785	.0000	-.0893	.0000	-.0893	.0000
FREQUENCY		85.26286041			
X_R	X_I	Y_R	Y_I	Z_R	Z_I
.0000	.0000	.5471	-.4204	-.5471	.4204
.0000	.0000	.1546	.0000	-.1546	.0000
FREQUENCY		218.24085142			
X_R	X_I	Y_R	Y_I	Z_R	Z_I
-.5735	-.0506	-.5735	-.0506	-.5735	-.0506
-.0431	.0000	-.0431	.0000	-.0431	.0000
FREQUENCY		490.58383750			
X_R	X_I	Y_R	Y_I	Z_R	Z_I
.1416	-.1088	-.0708	.0544	-.0708	.0544
-.7967	.0000	.3984	.0000	.3984	.0000
FREQUENCY		490.58383759			
X_R	X_I	Y_R	Y_I	Z_R	Z_I
.0000	.0000	.1226	-.0942	-.1226	.0942
.0000	.0000	-.6900	.0000	.6900	.0000

FREQUENCY 576.69742663
 $\begin{array}{cccccc} X_R & X_I & Y_R & Y_I & Z_R & Z_I \\ -.0430 & -.0038 & -.0430 & -.0038 & -.0430 & -.0038 \\ .5757 & .0000 & .5757 & .0000 & .5757 & .0000 \end{array}$

.500 .500 .500
FREQUENCY 85.96294533
 $\begin{array}{cccccc} X_R & X_I & Y_R & Y_I & Z_R & Z_I \\ -.5637 & .5637 & .2819 & -.2819 & .2819 & -.2819 \\ -.1764 & .0000 & .0882 & .0000 & .0882 & .0000 \end{array}$

FREQUENCY 85.96294536
 $\begin{array}{cccccc} X_R & X_I & Y_R & Y_I & Z_R & Z_I \\ .0000 & .0000 & .4882 & -.4882 & -.4882 & .4882 \\ .0000 & .0000 & .1528 & .0000 & -.1528 & .0000 \end{array}$

FREQUENCY 221.20029238
 $\begin{array}{cccccc} X_R & X_I & Y_R & Y_I & Z_R & Z_I \\ -.4079 & .4079 & -.4079 & .4079 & -.4079 & .4079 \\ -.0254 & .0000 & -.0254 & .0000 & -.0254 & .0000 \end{array}$

FREQUENCY 491.33742339
 $\begin{array}{cccccc} X_R & X_I & Y_R & Y_I & Z_R & Z_I \\ .1248 & -.1248 & -.0624 & .0624 & -.0624 & .0624 \\ -.7972 & .0000 & .3986 & .0000 & .3986 & .0000 \end{array}$

FREQUENCY 491.33742348
 $\begin{array}{cccccc} X_R & X_I & Y_R & Y_I & Z_R & Z_I \\ .0000 & .0000 & .1080 & -.1080 & -.1080 & .1080 \\ .0000 & .0000 & -.6904 & .0000 & .6904 & .0000 \end{array}$

FREQUENCY 576.04334227
 $\begin{array}{cccccc} X_R & X_I & Y_R & Y_I & Z_R & Z_I \\ -.0180 & .0180 & -.0180 & .0180 & -.0180 & .0180 \\ .5768 & .0000 & .5768 & .0000 & .5768 & .0000 \end{array}$

GaN

NEW WAVE VECTOR

.000 .000 .000

FREQUENCY .00000000

X_R	X_I	Y_R	Y_I	Z_R	Z_I
.9125	.0000	.0000	.0000	.0000	.0000
.4091	.0000	.0000	.0000	.0000	.0000

FREQUENCY .00000000

X_R	X_I	Y_R	Y_I	Z_R	Z_I
.0000	.0000	-.2487	.0000	-.8780	.0000
.0000	.0000	-.1115	.0000	-.3936	.0000

FREQUENCY .00000000

X_R	X_I	Y_R	Y_I	Z_R	Z_I
.0000	.0000	-.8780	.0000	.2487	.0000
.0000	.0000	-.3936	.0000	.1115	.0000

FREQUENCY 556.08281064

X_R	X_I	Y_R	Y_I	Z_R	Z_I
.0000	.0000	-.2928	.0000	-.2856	.0000
.0000	.0000	.6532	.0000	.6372	.0000

FREQUENCY 556.08281064

X_R	X_I	Y_R	Y_I	Z_R	Z_I
.0000	.0000	-.2856	.0000	.2928	.0000
.0000	.0000	.6372	.0000	-.6532	.0000

FREQUENCY 740.87785255

X_R	X_I	Y_R	Y_I	Z_R	Z_I
.4091	.0000	.0000	.0000	.0000	.0000
-.9125	.0000	.0000	.0000	.0000	.0000

NEW WAVE VECTOR

.100 .100 .000

FREQUENCY 36.68679946

X_R	X_I	Y_R	Y_I	Z_R	Z_I
.0002	-.6484	-.0002	.6484	.0000	.0000
.0001	-.2822	-.0001	.2822	.0000	.0000

FREQUENCY 50.72400579

X_R	X_I	Y_R	Y_I	Z_R	Z_I
.0000	-.0015	.0000	-.0015	.9181	.0000
.0000	-.0191	.0000	-.0191	.3955	.0000

FREQUENCY 81.60129063

X_R	X_I	Y_R	Y_I	Z_R	Z_I
.0000	-.6477	.0000	-.6477	-.0018	.0000
.0000	-.2829	.0000	-.2829	-.0280	.0000

FREQUENCY 557.87546215

X_R	X_I	Y_R	Y_I	Z_R	Z_I
.0001	.2822	-.0001	-.2822	.0000	.0000
-.0003	-.6484	.0003	.6484	.0000	.0000

FREQUENCY 558.95186995

X_R	X_I	Y_R	Y_I	Z_R	Z_I
.0000	-.0168	.0000	-.0168	-.3958	.0000
.0000	-.0057	.0000	-.0057	.9180	.0000

FREQUENCY 739.93804590
 $\begin{array}{cccccc} X_R & X_I & Y_R & Y_I & Z_R & Z_I \\ .0000 & -.2831 & .0000 & -.2831 & .0228 & .0000 \\ .0000 & .6477 & .0000 & .6477 & .0074 & .0000 \end{array}$

NEW WAVE VECTOR
 $.200 \quad .200 \quad .000$

FREQUENCY 70.37704372
 $\begin{array}{cccccc} X_R & X_I & Y_R & Y_I & Z_R & Z_I \\ .0000 & -.6567 & .0000 & .6567 & .0000 & .0000 \\ .0000 & -.2622 & .0000 & .2622 & .0000 & .0000 \end{array}$

FREQUENCY 99.11264565
 $\begin{array}{cccccc} X_R & X_I & Y_R & Y_I & Z_R & Z_I \\ .0000 & -.0013 & .0000 & -.0013 & .9326 & .0000 \\ .0000 & -.0355 & .0000 & -.0355 & .3574 & .0000 \end{array}$

FREQUENCY 156.39383940
 $\begin{array}{cccccc} X_R & X_I & Y_R & Y_I & Z_R & Z_I \\ .0000 & -.6550 & .0000 & -.6550 & -.0020 & .0000 \\ .0000 & -.2638 & .0000 & -.2638 & -.0522 & .0000 \end{array}$

FREQUENCY 563.21642969
 $\begin{array}{cccccc} X_R & X_I & Y_R & Y_I & Z_R & Z_I \\ .0000 & .2622 & .0000 & -.2622 & .0000 & .0000 \\ .0000 & -.6567 & .0000 & .6567 & .0000 & .0000 \end{array}$

FREQUENCY 567.77420775
 $\begin{array}{cccccc} X_R & X_I & Y_R & Y_I & Z_R & Z_I \\ .0000 & -.0315 & .0000 & -.0315 & -.3583 & .0000 \\ .0000 & -.0127 & .0000 & -.0127 & .9324 & .0000 \end{array}$

FREQUENCY 736.80770295
 $\begin{array}{cccccc} X_R & X_I & Y_R & Y_I & Z_R & Z_I \\ .0000 & -.2645 & .0000 & -.2645 & .0428 & .0000 \\ .0000 & .6550 & .0000 & .6550 & .0165 & .0000 \end{array}$

NEW WAVE VECTOR
 $.300 \quad .300 \quad .000$

FREQUENCY 99.19003857
 $\begin{array}{cccccc} X_R & X_I & Y_R & Y_I & Z_R & Z_I \\ -.0001 & .6676 & .0001 & -.6676 & .0000 & .0000 \\ .0000 & .2330 & .0000 & -.2330 & .0000 & .0000 \end{array}$

FREQUENCY 144.07066684
 $\begin{array}{cccccc} X_R & X_I & Y_R & Y_I & Z_R & Z_I \\ .0000 & .0024 & .0000 & .0024 & .9512 & .0000 \\ .0000 & -.0469 & .0000 & -.0469 & .3015 & .0000 \end{array}$

FREQUENCY 218.21941819
 $\begin{array}{cccccc} X_R & X_I & Y_R & Y_I & Z_R & Z_I \\ .0000 & .6663 & .0000 & .6663 & -.0020 & .0000 \\ .0000 & .2317 & .0000 & .2317 & .0679 & .0000 \end{array}$

FREQUENCY 571.77604200
 $\begin{array}{cccccc} X_R & X_I & Y_R & Y_I & Z_R & Z_I \\ -.0001 & -.2330 & .0001 & .2330 & .0000 & .0000 \\ .0002 & .6676 & -.0002 & -.6676 & .0000 & .0000 \end{array}$

FREQUENCY 582.68685931
 X_R X_I Y_R Y_I Z_R Z_I
 .0000 -.0412 .0000 -.0412 -.3033 .0000
 .0000 -.0221 .0000 -.0221 .9506 .0000

FREQUENCY 730.73720511
 X_R X_I Y_R Y_I Z_R Z_I
 .0000 -.2330 .0000 -.2330 .0576 .0000
 .0000 .6660 .0000 .6660 .0292 .0000

NEW WAVE VECTOR
 .400 .400 .000

FREQUENCY 122.87480285
 X_R X_I Y_R Y_I Z_R Z_I
 .0000 .6784 .0000 -.6784 .0000 .0000
 .0000 .1995 .0000 -.1995 .0000 .0000

FREQUENCY 186.00008462
 X_R X_I Y_R Y_I Z_R Z_I
 .0000 .0118 .0000 .0118 .9685 .0000
 .0000 -.0515 .0000 -.0515 .2375 .0000

FREQUENCY 262.09780789
 X_R X_I Y_R Y_I Z_R Z_I
 .0000 .6799 .0000 .6799 -.0143 .0000
 .0000 .1873 .0000 .1873 .0716 .0000

FREQUENCY 582.58257561
 X_R X_I Y_R Y_I Z_R Z_I
 .0000 -.1995 .0000 .1995 .0000 .0000
 .0001 .6784 -.0001 -.6784 .0000 .0000

FREQUENCY 602.87954663
 X_R X_I Y_R Y_I Z_R Z_I
 .0000 -.0436 .0000 -.0436 -.2401 .0000
 .0000 -.0360 .0000 -.0360 .9675 .0000

FREQUENCY 720.96547874
 X_R X_I Y_R Y_I Z_R Z_I
 .0000 -.1889 .0000 -.1889 .0647 .0000
 .0000 .6790 .0000 .6790 .0496 .0000

NEW WAVE VECTOR
 .500 .500 .000

FREQUENCY 142.37550320
 X_R X_I Y_R Y_I Z_R Z_I
 .0000 .6872 .0000 -.6872 .0000 .0000
 .0000 .1664 .0000 -.1664 .0000 .0000

FREQUENCY 225.74597625
 X_R X_I Y_R Y_I Z_R Z_I
 .0000 .0335 .0000 .0335 .9811 .0000
 .0000 -.0484 .0000 -.0484 .1749 .0000

FREQUENCY 284.80493860
 X_R X_I Y_R Y_I Z_R Z_I
 .0000 -.6923 .0000 -.6923 .0454 .0000
 .0000 -.1330 .0000 -.1330 -.0627 .0000

FREQUENCY 594.07179303
 $\begin{array}{cccccc} X_R & X_I & Y_R & Y_I & Z_R & Z_I \\ .0000 & -.1664 & .0000 & .1664 & .0000 & .0000 \\ .0000 & .6872 & .0000 & -.6872 & .0000 & .0000 \end{array}$

FREQUENCY 626.37553237
 $\begin{array}{cccccc} X_R & X_I & Y_R & Y_I & Z_R & Z_I \\ .0000 & -.0382 & .0000 & -.0382 & -.1780 & .0000 \\ .0000 & -.0624 & .0000 & -.0624 & .9786 & .0000 \end{array}$

FREQUENCY 707.15117938
 $\begin{array}{cccccc} X_R & X_I & Y_R & Y_I & Z_R & Z_I \\ .0000 & -.1346 & .0000 & -.1346 & .0614 & .0000 \\ .0000 & .6900 & .0000 & .6900 & .0886 & .0000 \end{array}$

NEW WAVE VECTOR
 $.600 \quad .600 \quad .000$

FREQUENCY 158.78838198
 $\begin{array}{cccccc} X_R & X_I & Y_R & Y_I & Z_R & Z_I \\ .0000 & .6937 & .0000 & -.6937 & .0000 & .0000 \\ .0000 & .1372 & .0000 & -.1372 & .0000 & .0000 \end{array}$

FREQUENCY 262.88614821
 $\begin{array}{cccccc} X_R & X_I & Y_R & Y_I & Z_R & Z_I \\ .0000 & .1288 & .0000 & .1288 & .9745 & .0000 \\ .0000 & -.0338 & .0000 & -.0338 & .1224 & .0000 \end{array}$

FREQUENCY 286.03261174
 $\begin{array}{cccccc} X_R & X_I & Y_R & Y_I & Z_R & Z_I \\ .0000 & .6906 & .0000 & .6906 & -.1818 & .0000 \\ .0000 & .0770 & .0000 & .0770 & .0370 & .0000 \end{array}$

FREQUENCY 604.60475565
 $\begin{array}{cccccc} X_R & X_I & Y_R & Y_I & Z_R & Z_I \\ .0000 & -.1372 & .0000 & .1372 & .0000 & .0000 \\ .0000 & .6937 & .0000 & -.6937 & .0000 & .0000 \end{array}$

FREQUENCY 650.21754616
 $\begin{array}{cccccc} X_R & X_I & Y_R & Y_I & Z_R & Z_I \\ .0000 & .0267 & .0000 & .0267 & .1248 & .0000 \\ .0000 & .1413 & .0000 & .1413 & -.9711 & .0000 \end{array}$

FREQUENCY 689.92541927
 $\begin{array}{cccccc} X_R & X_I & Y_R & Y_I & Z_R & Z_I \\ .0000 & .0764 & .0000 & .0764 & -.0427 & .0000 \\ .0000 & -.6877 & .0000 & -.6877 & -.2014 & .0000 \end{array}$

NEW WAVE VECTOR
 $.700 \quad .700 \quad .000$

FREQUENCY 172.53731939
 $\begin{array}{cccccc} X_R & X_I & Y_R & Y_I & Z_R & Z_I \\ .0000 & -.6979 & .0000 & .6979 & .0000 & .0000 \\ .0000 & -.1136 & .0000 & .1136 & .0000 & .0000 \end{array}$

FREQUENCY 265.99100413
 $\begin{array}{cccccc} X_R & X_I & Y_R & Y_I & Z_R & Z_I \\ .0000 & -.6994 & .0000 & -.6994 & -.1369 & .0000 \\ .0000 & -.0057 & .0000 & -.0057 & -.0525 & .0000 \end{array}$

FREQUENCY 298.50698900
 $\begin{array}{cccccc} X_R & X_I & Y_R & Y_I & Z_R & Z_I \\ .0000 & .0985 & .0000 & .0985 & -.9872 & .0000 \\ .0000 & .0353 & .0000 & .0353 & -.0588 & .0000 \end{array}$

FREQUENCY 613.02200401
 $\begin{array}{cccccc} X_R & X_I & Y_R & Y_I & Z_R & Z_I \\ .0000 & .1136 & .0000 & -.1136 & .0000 & .0000 \\ .0000 & -.6979 & .0000 & .6979 & .0000 & .0000 \end{array}$

FREQUENCY 662.57751172
 $\begin{array}{cccccc} X_R & X_I & Y_R & Y_I & Z_R & Z_I \\ .0000 & -.0071 & .0000 & -.0071 & -.0754 & .0000 \\ .0000 & -.6022 & .0000 & -.6022 & .5185 & .0000 \end{array}$

FREQUENCY 679.61343685
 $\begin{array}{cccccc} X_R & X_I & Y_R & Y_I & Z_R & Z_I \\ .0000 & -.0319 & .0000 & -.0319 & -.0307 & .0000 \\ .0000 & .3689 & .0000 & .3689 & .8514 & .0000 \end{array}$

NEW WAVE VECTOR
.800 .800 .000

FREQUENCY 183.24882232
 $\begin{array}{cccccc} X_R & X_I & Y_R & Y_I & Z_R & Z_I \\ .0000 & -.7005 & .0000 & .7005 & .0000 & .0000 \\ .0000 & -.0964 & .0000 & .0964 & .0000 & .0000 \end{array}$

FREQUENCY 235.79866626
 $\begin{array}{cccccc} X_R & X_I & Y_R & Y_I & Z_R & Z_I \\ .0000 & .7052 & .0000 & .7052 & .0362 & .0000 \\ .0000 & -.0391 & .0000 & -.0391 & .0297 & .0000 \end{array}$

FREQUENCY 325.99420963
 $\begin{array}{cccccc} X_R & X_I & Y_R & Y_I & Z_R & Z_I \\ .0000 & -.0272 & .0000 & -.0272 & .9985 & .0000 \\ .0000 & -.0175 & .0000 & -.0175 & .0285 & .0000 \end{array}$

FREQUENCY 618.85728257
 $\begin{array}{cccccc} X_R & X_I & Y_R & Y_I & Z_R & Z_I \\ .0000 & .0964 & .0000 & -.0964 & .0000 & .0000 \\ .0000 & -.7005 & .0000 & .7005 & .0000 & .0000 \end{array}$

FREQUENCY 645.26109611
 $\begin{array}{cccccc} X_R & X_I & Y_R & Y_I & Z_R & Z_I \\ .0000 & -.0406 & .0000 & -.0406 & -.0302 & .0000 \\ .0000 & -.7003 & .0000 & -.7003 & .1223 & .0000 \end{array}$

FREQUENCY 694.66005896
 $\begin{array}{cccccc} X_R & X_I & Y_R & Y_I & Z_R & Z_I \\ .0000 & -.0153 & .0000 & -.0153 & -.0261 & .0000 \\ .0000 & .0880 & .0000 & .0880 & .9916 & .0000 \end{array}$

NEW WAVE VECTOR
.900 .900 .000

FREQUENCY 190.14428258
 $\begin{array}{cccccc} X_R & X_I & Y_R & Y_I & Z_R & Z_I \\ .0000 & -.7019 & .0000 & .7019 & .0000 & .0000 \\ .0000 & -.0859 & .0000 & .0859 & .0000 & .0000 \end{array}$

FREQUENCY 205.67312126
 $\begin{array}{cccccc} X_R & X_I & Y_R & Y_I & Z_R & Z_I \\ .0000 & .7034 & .0000 & .7034 & .0111 & .0000 \\ .0000 & -.0710 & .0000 & -.0710 & .0142 & .0000 \end{array}$

FREQUENCY 344.52838949
 $\begin{array}{cccccc} X_R & X_I & Y_R & Y_I & Z_R & Z_I \\ .0000 & -.0085 & .0000 & -.0085 & .9999 & .0000 \\ .0000 & -.0060 & .0000 & -.0060 & .0073 & .0000 \end{array}$

FREQUENCY 622.17916695
 $\begin{array}{cccccc} X_R & X_I & Y_R & Y_I & Z_R & Z_I \\ .0000 & .0859 & .0000 & -.0859 & .0000 & .0000 \\ .0000 & -.7019 & .0000 & .7019 & .0000 & .0000 \end{array}$

FREQUENCY 629.41517713
 $\begin{array}{cccccc} X_R & X_I & Y_R & Y_I & Z_R & Z_I \\ .0000 & -.0713 & .0000 & -.0713 & -.0100 & .0000 \\ .0000 & -.7028 & .0000 & -.7028 & .0429 & .0000 \end{array}$

FREQUENCY 706.49121202
 $\begin{array}{cccccc} X_R & X_I & Y_R & Y_I & Z_R & Z_I \\ .0000 & -.0068 & .0000 & -.0068 & -.0070 & .0000 \\ .0000 & .0313 & .0000 & .0313 & .9990 & .0000 \end{array}$

NEW WAVE VECTOR
1.000 1.000 .000

FREQUENCY 192.53215617
 $\begin{array}{cccccc} X_R & X_I & Y_R & Y_I & Z_R & Z_I \\ .0016 & .9932 & .0000 & .0001 & .0000 & .0000 \\ .0000 & .0000 & -.0002 & -.1166 & .0000 & .0000 \end{array}$

FREQUENCY 192.53215619
 $\begin{array}{cccccc} X_R & X_I & Y_R & Y_I & Z_R & Z_I \\ .0000 & -.0001 & -.0027 & .9932 & .0000 & .0000 \\ .0003 & -.1166 & .0000 & .0000 & .0000 & .0000 \end{array}$

FREQUENCY 351.10548200
 $\begin{array}{cccccc} X_R & X_I & Y_R & Y_I & Z_R & Z_I \\ .0000 & .0000 & .0000 & .0000 & 1.0000 & .0000 \\ .0000 & .0000 & .0000 & .0000 & .0000 & .0000 \end{array}$

FREQUENCY 623.24404385
 $\begin{array}{cccccc} X_R & X_I & Y_R & Y_I & Z_R & Z_I \\ .0000 & .0000 & -.0095 & -.1162 & .0000 & .0000 \\ -.0806 & -.9899 & .0000 & .0000 & .0000 & .0000 \end{array}$

FREQUENCY 623.24404397
 $\begin{array}{cccccc} X_R & X_I & Y_R & Y_I & Z_R & Z_I \\ -.0014 & -.1166 & .0000 & .0000 & .0000 & .0000 \\ .0000 & .0000 & -.0120 & -.9931 & .0000 & .0000 \end{array}$

FREQUENCY 710.68721649
 $\begin{array}{cccccc} X_R & X_I & Y_R & Y_I & Z_R & Z_I \\ .0000 & .0000 & .0000 & .0000 & .0000 & .0000 \\ .0000 & .0000 & .0000 & .0000 & 1.0000 & .0000 \end{array}$

.900 .000 .000

FREQUENCY 191.03281607
 $\begin{array}{cccccc} X_R & X_I & Y_R & Y_I & Z_R & Z_I \end{array}$

.0000	.0000	-.1751	.8162	.3632	-.3941
.0000	.0000	-.0549	-.0001	.1138	.0000
 FREQUENCY 191.03281607					
X_R	X_I	Y_R	Y_I	Z_R	Z_I
.0000	.0000	.3628	.3945	.1743	.8163
.0000	.0000	.1138	.0001	.0549	.0000
 FREQUENCY 346.30822336					
X_R	X_I	Y_R	Y_I	Z_R	Z_I
.9205	-.3821	.0000	.0000	.0000	.0000
.0756	-.0314	.0000	.0000	.0000	.0000
 FREQUENCY 621.43625518					
X_R	X_I	Y_R	Y_I	Z_R	Z_I
.0000	.0000	-.0379	-.0786	-.0329	-.0852
.0000	.0000	.7325	.0144	.6688	.0000
 FREQUENCY 621.43625518					
X_R	X_I	Y_R	Y_I	Z_R	Z_I
.0000	.0000	-.0346	.0846	.0394	-.0778
.0000	.0000	.6687	.0132	-.7326	.0000
 FREQUENCY 711.71570391					
X_R	X_I	Y_R	Y_I	Z_R	Z_I
-.0697	-.0430	.0000	.0000	.0000	.0000
.8486	.5227	.0000	.0000	.0000	.0000
 .800 .000 .000					
FREQUENCY 186.39934458					
X_R	X_I	Y_R	Y_I	Z_R	Z_I
.0000	.0000	.4548	-.5177	-.5083	.4935
.0000	.0000	.1034	.0035	-.1118	.0000
 FREQUENCY 186.39934458					
X_R	X_I	Y_R	Y_I	Z_R	Z_I
.0000	.0000	-.4912	-.5106	-.4368	-.5330
.0000	.0000	-.1117	-.0038	-.1035	.0000
 FREQUENCY 332.19599821					
X_R	X_I	Y_R	Y_I	Z_R	Z_I
.9699	-.1854	.0000	.0000	.0000	.0000
.1551	-.0296	.0000	.0000	.0000	.0000
 FREQUENCY 616.21993571					
X_R	X_I	Y_R	Y_I	Z_R	Z_I
.0000	.0000	-.0733	-.0777	-.0740	-.0795
.0000	.0000	.7016	-.0117	.6960	.0000
 FREQUENCY 616.21993571					
X_R	X_I	Y_R	Y_I	Z_R	Z_I
.0000	.0000	.0727	-.0807	-.0720	.0789
.0000	.0000	-.6959	.0117	.7017	.0000
 FREQUENCY 714.58505397					
X_R	X_I	Y_R	Y_I	Z_R	Z_I
-.0657	-.1436	.0000	.0000	.0000	.0000
.4108	.8979	.0000	.0000	.0000	.0000

.700 .000 .000
 FREQUENCY 178.25317497
 $\begin{array}{cccccc} \bar{X}_R & \bar{X}_I & \bar{Y}_R & \bar{Y}_I & \bar{Z}_R & \bar{Z}_I \\ .0000 & .0000 & .5668 & -.3925 & -.5833 & .3857 \\ .0000 & .0000 & .1317 & .0007 & -.1351 & .0000 \end{array}$

FREQUENCY 178.25317497
 $\begin{array}{cccccc} \bar{X}_R & \bar{X}_I & \bar{Y}_R & \bar{Y}_I & \bar{Z}_R & \bar{Z}_I \\ .0000 & .0000 & .5813 & .3888 & .5648 & .3955 \\ .0000 & .0000 & .1351 & .0007 & .1317 & .0000 \end{array}$

FREQUENCY 309.51439874
 $\begin{array}{cccccc} \bar{X}_R & \bar{X}_I & \bar{Y}_R & \bar{Y}_I & \bar{Z}_R & \bar{Z}_I \\ .9593 & -.1719 & .0000 & .0000 & .0000 & .0000 \\ .2205 & -.0395 & .0000 & .0000 & .0000 & .0000 \end{array}$

FREQUENCY 608.19502782
 $\begin{array}{cccccc} \bar{X}_R & \bar{X}_I & \bar{Y}_R & \bar{Y}_I & \bar{Z}_R & \bar{Z}_I \\ .0000 & .0000 & -.1145 & -.0721 & -.1058 & -.0779 \\ .0000 & .0000 & .7211 & .0004 & .6666 & .0000 \end{array}$

FREQUENCY 608.19502782
 $\begin{array}{cccccc} \bar{X}_R & \bar{X}_I & \bar{Y}_R & \bar{Y}_I & \bar{Z}_R & \bar{Z}_I \\ .0000 & .0000 & -.1059 & .0779 & .1146 & -.0720 \\ .0000 & .0000 & .6666 & .0004 & -.7211 & .0000 \end{array}$

FREQUENCY 718.74396506
 $\begin{array}{cccccc} \bar{X}_R & \bar{X}_I & \bar{Y}_R & \bar{Y}_I & \bar{Z}_R & \bar{Z}_I \\ .2151 & -.0626 & .0000 & .0000 & .0000 & .0000 \\ -.9358 & .2723 & .0000 & .0000 & .0000 & .0000 \end{array}$

.600 .000 .000
 FREQUENCY 166.05960512
 $\begin{array}{cccccc} \bar{X}_R & \bar{X}_I & \bar{Y}_R & \bar{Y}_I & \bar{Z}_R & \bar{Z}_I \\ .0000 & .0000 & .6294 & -.2858 & -.6185 & .2939 \\ .0000 & .0000 & .1647 & .0007 & -.1616 & .0000 \end{array}$

FREQUENCY 166.05960512
 $\begin{array}{cccccc} \bar{X}_R & \bar{X}_I & \bar{Y}_R & \bar{Y}_I & \bar{Z}_R & \bar{Z}_I \\ .0000 & .0000 & -.6174 & -.2963 & -.6282 & -.2883 \\ .0000 & .0000 & -.1616 & -.0006 & -.1647 & .0000 \end{array}$

FREQUENCY 279.27301939
 $\begin{array}{cccccc} \bar{X}_R & \bar{X}_I & \bar{Y}_R & \bar{Y}_I & \bar{Z}_R & \bar{Z}_I \\ -.9393 & .2001 & .0000 & .0000 & .0000 & .0000 \\ -.2725 & .0581 & .0000 & .0000 & .0000 & .0000 \end{array}$

FREQUENCY 598.28568033
 $\begin{array}{cccccc} \bar{X}_R & \bar{X}_I & \bar{Y}_R & \bar{Y}_I & \bar{Z}_R & \bar{Z}_I \\ .0000 & .0000 & -.1503 & -.0652 & -.1464 & -.0702 \\ .0000 & .0000 & .6998 & -.0120 & .6760 & .0000 \end{array}$

FREQUENCY 598.28568033
 $\begin{array}{cccccc} \bar{X}_R & \bar{X}_I & \bar{Y}_R & \bar{Y}_I & \bar{Z}_R & \bar{Z}_I \\ .0000 & .0000 & -.1452 & .0727 & .1492 & -.0678 \\ .0000 & .0000 & .6759 & -.0116 & -.6999 & .0000 \end{array}$

FREQUENCY 723.51735099
 $\begin{array}{cccccc} \bar{X}_R & \bar{X}_I & \bar{Y}_R & \bar{Y}_I & \bar{Z}_R & \bar{Z}_I \\ .2750 & -.0449 & .0000 & .0000 & .0000 & .0000 \end{array}$

-.9478 .1548 .0000 .0000 .0000 .0000
 .500 .000 .000
FREQUENCY 149.27799669
 X_R X_I Y_R Y_I Z_R Z_I
 .0000 .0000 .6520 -.2211 -.6355 .2159
 .0000 .0000 .1963 -.0029 -.1923 .0000

FREQUENCY 149.27799669
 X_R X_I Y_R Y_I Z_R Z_I
 .0000 .0000 -.6386 -.2065 -.6552 -.2114
 .0000 .0000 -.1923 .0028 -.1963 .0000

FREQUENCY 242.56953535
 X_R X_I Y_R Y_I Z_R Z_I
 -.8975 .3013 .0000 .0000 .0000 .0000
 -.3053 .1025 .0000 .0000 .0000 .0000

FREQUENCY 587.61595952
 X_R X_I Y_R Y_I Z_R Z_I
 .0000 .0000 .1782 .0704 .1880 .0590
 .0000 .0000 -.6567 -.0272 -.7018 .0000

FREQUENCY 587.61595952
 X_R X_I Y_R Y_I Z_R Z_I
 .0000 .0000 -.1903 .0512 .1809 -.0630
 .0000 .0000 .7012 .0290 -.6572 .0000

FREQUENCY 728.29104146
 X_R X_I Y_R Y_I Z_R Z_I
 .3150 -.0670 .0000 .0000 .0000 .0000
 -.9260 .1969 .0000 .0000 .0000 .0000

 .400 .000 .000
FREQUENCY 127.56120189
 X_R X_I Y_R Y_I Z_R Z_I
 .0000 .0000 .6730 -.1454 -.6326 .1579
 .0000 .0000 .2314 .0010 -.2173 .0000

FREQUENCY 127.56120189
 X_R X_I Y_R Y_I Z_R Z_I
 .0000 .0000 -.6320 -.1605 -.6724 -.1483
 .0000 .0000 -.2173 -.0009 -.2314 .0000

FREQUENCY 200.50076718
 X_R X_I Y_R Y_I Z_R Z_I
 -.9341 -.0346 .0000 .0000 .0000 .0000
 -.3550 -.0131 .0000 .0000 .0000 .0000

FREQUENCY 577.33790693
 X_R X_I Y_R Y_I Z_R Z_I
 .0000 .0000 -.2249 -.0507 -.2117 -.0528
 .0000 .0000 .6901 .0029 .6504 .0000

FREQUENCY 577.33790693
 X_R X_I Y_R Y_I Z_R Z_I
 .0000 .0000 -.2120 .0519 .2251 -.0497
 .0000 .0000 .6504 .0027 -.6901 .0000

FREQUENCY 732.60196944
 X_R X_I Y_R Y_I Z_R Z_I
 .3509 -.0554 .0000 .0000 .0000 .0000
 -.9233 .1457 .0000 .0000 .0000 .0000

.300 .000 .000
FREQUENCY 100.95562243
 X_R X_I Y_R Y_I Z_R Z_I
 .0000 .0000 .6916 -.0880 -.6129 .1112
 .0000 .0000 .2660 .0040 -.2351 .0000

FREQUENCY 100.95562243
 X_R X_I Y_R Y_I Z_R Z_I
 .0000 .0000 -.6112 -.1203 -.6902 -.0983
 .0000 .0000 -.2350 -.0035 -.2660 .0000

FREQUENCY 154.14274967
 X_R X_I Y_R Y_I Z_R Z_I
 -.9251 .0081 .0000 .0000 .0000 .0000
 -.3796 .0033 .0000 .0000 .0000 .0000

FREQUENCY 568.45340593
 X_R X_I Y_R Y_I Z_R Z_I
 .0000 .0000 -.2624 -.0327 -.2331 -.0422
 .0000 .0000 .6999 -.0125 .6197 .0000

FREQUENCY 568.45340593
 X_R X_I Y_R Y_I Z_R Z_I
 .0000 .0000 -.2323 .0463 .2618 -.0374
 .0000 .0000 .6196 -.0110 -.7000 .0000

FREQUENCY 736.14818326
 X_R X_I Y_R Y_I Z_R Z_I
 .3758 -.0538 .0000 .0000 .0000 .0000
 -.9158 .1310 .0000 .0000 .0000 .0000

.200 .000 .000
FREQUENCY 70.02933957
 X_R X_I Y_R Y_I Z_R Z_I
 .0000 .0000 -.3951 .0644 .8310 -.0398
 .0000 .0000 -.1652 -.0080 .3468 .0000

FREQUENCY 70.02933957
 X_R X_I Y_R Y_I Z_R Z_I
 .0000 .0000 .8281 .0798 .3915 .0834
 .0000 .0000 .3464 .0167 .1654 .0000

FREQUENCY 104.56049722
 X_R X_I Y_R Y_I Z_R Z_I
 -.9164 .0561 .0000 .0000 .0000 .0000
 -.3955 .0242 .0000 .0000 .0000 .0000

FREQUENCY 561.69399892
 X_R X_I Y_R Y_I Z_R Z_I
 .0000 .0000 .2694 .0249 .2715 .0271
 .0000 .0000 -.6505 .0058 -.6551 .0000

FREQUENCY 561.69399892
 X_R X_I Y_R Y_I Z_R Z_I
 .0000 .0000 -.2712 .0295 .2691 -.0273

.0000	.0000	.6551	-.0058	-.6506	.0000
FREQUENCY 738.75760704					
X_R	X_I	Y_R	Y_I	Z_R	Z_I
.3954	-.0260	.0000	.0000	.0000	.0000
-.9162	.0602	.0000	.0000	.0000	.0000
.100 .000 .000					
FREQUENCY 35.87620121					
X_R	X_I	Y_R	Y_I	Z_R	Z_I
.0000	.0000	-.8610	-.0539	-.3030	-.0417
.0000	.0000	-.3793	-.0172	-.1343	.0000
FREQUENCY 35.87620121					
X_R	X_I	Y_R	Y_I	Z_R	Z_I
.0000	.0000	-.3046	.0279	.8626	-.0148
.0000	.0000	-.1342	-.0061	.3797	.0000
FREQUENCY 52.82110782					
X_R	X_I	Y_R	Y_I	Z_R	Z_I
-.9136	.0252	.0000	.0000	.0000	.0000
-.4057	.0112	.0000	.0000	.0000	.0000
FREQUENCY 557.50030077					
X_R	X_I	Y_R	Y_I	Z_R	Z_I
.0000	.0000	-.3003	-.0141	-.2676	-.0146
.0000	.0000	.6833	.0025	.6090	.0000
FREQUENCY 557.50030077					
X_R	X_I	Y_R	Y_I	Z_R	Z_I
.0000	.0000	-.2676	.0136	.3003	-.0130
.0000	.0000	.6090	.0022	-.6833	.0000
FREQUENCY 740.34562804					
X_R	X_I	Y_R	Y_I	Z_R	Z_I
.4054	-.0202	.0000	.0000	.0000	.0000
-.9128	.0454	.0000	.0000	.0000	.0000
.000 .000 .000					
FREQUENCY .00000000					
X_R	X_I	Y_R	Y_I	Z_R	Z_I
.9125	.0000	.0000	.0000	.0000	.0000
.4091	.0000	.0000	.0000	.0000	.0000
FREQUENCY .00000000					
X_R	X_I	Y_R	Y_I	Z_R	Z_I
.0000	.0000	-.2487	.0000	-.8780	.0000
.0000	.0000	-.1115	.0000	-.3936	.0000
FREQUENCY .00000000					
X_R	X_I	Y_R	Y_I	Z_R	Z_I
.0000	.0000	-.8780	.0000	.2487	.0000
.0000	.0000	-.3936	.0000	.1115	.0000
FREQUENCY 556.08281064					
X_R	X_I	Y_R	Y_I	Z_R	Z_I
.0000	.0000	-.2928	.0000	-.2856	.0000
.0000	.0000	.6532	.0000	.6372	.0000

FREQUENCY 556.08281064
 X_R X_I Y_R Y_I Z_R Z_I
 .0000 .0000 -.2856 .0000 .2928 .0000
 .0000 .0000 .6372 .0000 -.6532 .0000

FREQUENCY 740.87785255
 X_R X_I Y_R Y_I Z_R Z_I
 .4091 .0000 .0000 .0000 .0000 .0000
 -.9125 .0000 .0000 .0000 .0000 .0000

.050 .050 .050
FREQUENCY 25.74144441
 X_R X_I Y_R Y_I Z_R Z_I
 .7463 -.0184 -.3732 .0092 -.3732 .0092
 .3306 .0000 -.1653 .0000 -.1653 .0000

FREQUENCY 25.74144478
 X_R X_I Y_R Y_I Z_R Z_I
 .0000 .0000 .6463 -.0159 -.6463 .0159
 .0000 .0000 .2863 .0000 -.2863 .0000

FREQUENCY 51.99929481
 X_R X_I Y_R Y_I Z_R Z_I
 -.5271 -.0240 -.5271 -.0240 -.5271 -.0240
 -.2343 .0000 -.2343 .0000 -.2343 .0000

FREQUENCY 556.88421258
 X_R X_I Y_R Y_I Z_R Z_I
 .3305 -.0081 -.1653 .0041 -.1653 .0041
 -.7466 .0000 .3733 .0000 .3733 .0000

FREQUENCY 556.88421266
 X_R X_I Y_R Y_I Z_R Z_I
 .0000 .0000 .2863 -.0070 -.2863 .0070
 .0000 .0000 -.6465 .0000 .6465 .0000

FREQUENCY 740.55562609
 X_R X_I Y_R Y_I Z_R Z_I
 -.2341 -.0107 -.2341 -.0107 -.2341 -.0107
 .5277 .0000 .5277 .0000 .5277 .0000

.100 .100 .100
FREQUENCY 50.24615086
 X_R X_I Y_R Y_I Z_R Z_I
 .7497 -.0398 -.3749 .0199 -.3749 .0199
 .3209 .0000 -.1605 .0000 -.1605 .0000

FREQUENCY 50.24615104
 X_R X_I Y_R Y_I Z_R Z_I
 .0000 .0000 .6493 -.0345 -.6493 .0345
 .0000 .0000 .2779 .0000 -.2779 .0000

FREQUENCY 102.91740356
 X_R X_I Y_R Y_I Z_R Z_I
 -.5280 -.0474 -.5280 -.0474 -.5280 -.0474
 -.2287 .0000 -.2287 .0000 -.2287 .0000

FREQUENCY 559.25857771
 X_R X_I Y_R Y_I Z_R Z_I
 .3205 -.0170 -.1602 .0085 -.1602 .0085

-.7508 .0000 .3754 .0000 .3754 .0000
FREQUENCY 559.25857780
 X_R X_I Y_R Y_I Z_R Z_I
 .0000 .0000 .2775 -.0147 -.2775 .0147
 .0000 .0000 -.6502 .0000 .6502 .0000

FREQUENCY 739.59400635
 X_R X_I Y_R Y_I Z_R Z_I
 -.2278 -.0204 -.2278 -.0204 -.2278 -.0204
 .5301 .0000 .5301 .0000 .5301 .0000

 .150 .150 .150
FREQUENCY 72.43658347
 X_R X_I Y_R Y_I Z_R Z_I
 -.7540 .0676 .3770 -.0338 .3770 -.0338
 -.3058 .0000 .1529 .0000 .1529 .0000

FREQUENCY 72.43658359
 X_R X_I Y_R Y_I Z_R Z_I
 .0000 .0000 .6530 -.0585 -.6530 .0585
 .0000 .0000 .2648 .0000 -.2648 .0000

FREQUENCY 151.67523215
 X_R X_I Y_R Y_I Z_R Z_I
 -.5297 -.0694 -.5297 -.0694 -.5297 -.0694
 -.2191 .0000 -.2191 .0000 -.2191 .0000

FREQUENCY 563.09649976
 X_R X_I Y_R Y_I Z_R Z_I
 .3046 -.0273 -.1523 .0136 -.1523 .0136
 -.7571 .0000 .3785 .0000 .3785 .0000

FREQUENCY 563.09649985
 X_R X_I Y_R Y_I Z_R Z_I
 .0000 .0000 .2638 -.0236 -.2638 .0236
 .0000 .0000 -.6556 .0000 .6556 .0000

FREQUENCY 738.01335801
 X_R X_I Y_R Y_I Z_R Z_I
 -.2172 -.0285 -.2172 -.0285 -.2172 -.0285
 .5342 .0000 .5342 .0000 .5342 .0000

 .200 .200 .200
FREQUENCY 91.52729267
 X_R X_I Y_R Y_I Z_R Z_I
 -.7573 .1046 .3786 -.0523 .3786 -.0523
 -.2868 .0000 .1434 .0000 .1434 .0000

FREQUENCY 91.52729276
 X_R X_I Y_R Y_I Z_R Z_I
 .0000 .0000 .6558 -.0906 -.6558 .0906
 .0000 .0000 .2484 .0000 -.2484 .0000

FREQUENCY 197.19654557
 X_R X_I Y_R Y_I Z_R Z_I
 -.5323 -.0887 -.5323 -.0887 -.5323 -.0887
 -.2051 .0000 -.2051 .0000 -.2051 .0000

FREQUENCY 568.16291333
 $\begin{array}{cccccc} X_R & X_I & Y_R & Y_I & Z_R & Z_I \\ .2841 & -.0392 & -.1420 & .0196 & -.1420 & .0196 \\ -.7645 & .0000 & .3822 & .0000 & .3822 & .0000 \end{array}$

FREQUENCY 568.16291342
 $\begin{array}{cccccc} X_R & X_I & Y_R & Y_I & Z_R & Z_I \\ .0000 & .0000 & .2460 & -.0340 & -.2460 & .0340 \\ .0000 & .0000 & -.6621 & .0000 & .6621 & .0000 \end{array}$

FREQUENCY 735.86457567
 $\begin{array}{cccccc} X_R & X_I & Y_R & Y_I & Z_R & Z_I \\ -.2023 & -.0337 & -.2023 & -.0337 & -.2023 & -.0337 \\ .5397 & .0000 & .5397 & .0000 & .5397 & .0000 \end{array}$

.250 .250 .250
FREQUENCY 107.10223163
 $\begin{array}{cccccc} X_R & X_I & Y_R & Y_I & Z_R & Z_I \\ -.7566 & .1535 & .3783 & -.0767 & .3783 & -.0767 \\ -.2658 & .0000 & .1329 & .0000 & .1329 & .0000 \end{array}$

FREQUENCY 107.10223170
 $\begin{array}{cccccc} X_R & X_I & Y_R & Y_I & Z_R & Z_I \\ .0000 & .0000 & .6552 & -.1329 & -.6552 & .1329 \\ .0000 & .0000 & .2302 & .0000 & -.2302 & .0000 \end{array}$

FREQUENCY 238.40634296
 $\begin{array}{cccccc} X_R & X_I & Y_R & Y_I & Z_R & Z_I \\ -.5366 & -.1031 & -.5366 & -.1031 & -.5366 & -.1031 \\ -.1866 & .0000 & -.1866 & .0000 & -.1866 & .0000 \end{array}$

FREQUENCY 574.05838098
 $\begin{array}{cccccc} X_R & X_I & Y_R & Y_I & Z_R & Z_I \\ .2605 & -.0528 & -.1302 & .0264 & -.1302 & .0264 \\ -.7720 & .0000 & .3860 & .0000 & .3860 & .0000 \end{array}$

FREQUENCY 574.05838107
 $\begin{array}{cccccc} X_R & X_I & Y_R & Y_I & Z_R & Z_I \\ .0000 & .0000 & .2256 & -.0458 & -.2256 & .0458 \\ .0000 & .0000 & -.6686 & .0000 & .6686 & .0000 \end{array}$

FREQUENCY 733.25250094
 $\begin{array}{cccccc} X_R & X_I & Y_R & Y_I & Z_R & Z_I \\ -.1832 & -.0352 & -.1832 & -.0352 & -.1832 & -.0352 \\ .5464 & .0000 & .5464 & .0000 & .5464 & .0000 \end{array}$

.300 .300 .300
FREQUENCY 119.11426820
 $\begin{array}{cccccc} X_R & X_I & Y_R & Y_I & Z_R & Z_I \\ -.7483 & .2161 & .3741 & -.1081 & .3741 & -.1081 \\ -.2450 & .0000 & .1225 & .0000 & .1225 & .0000 \end{array}$

FREQUENCY 119.11426826
 $\begin{array}{cccccc} X_R & X_I & Y_R & Y_I & Z_R & Z_I \\ .0000 & .0000 & .6480 & -.1872 & -.6480 & .1871 \\ .0000 & .0000 & .2122 & .0000 & -.2122 & .0000 \end{array}$

FREQUENCY 274.23046350
 $\begin{array}{cccccc} X_R & X_I & Y_R & Y_I & Z_R & Z_I \\ -.5432 & -.1082 & -.5432 & -.1082 & -.5432 & -.1082 \end{array}$

-.1631 .0000 -.1631 .0000 -.1631 .0000
 FREQUENCY 580.22220915
 X_R X_I Y_R Y_I Z_R Z_I
 .2354 -.0680 -.1177 .0340 -.1177 .0340
 -.7789 .0000 .3894 .0000 .3894 .0000

 FREQUENCY 580.22220925
 X_R X_I Y_R Y_I Z_R Z_I
 .0000 .0000 .2039 -.0589 -.2039 .0589
 .0000 .0000 -.6745 .0000 .6745 .0000

 FREQUENCY 730.36244854
 X_R X_I Y_R Y_I Z_R Z_I
 -.1599 -.0319 -.1599 -.0319 -.1599 -.0319
 .5538 .0000 .5538 .0000 .5538 .0000

 .350 .350 .350
 FREQUENCY 127.80577253
 X_R X_I Y_R Y_I Z_R Z_I
 -.7279 .2924 .3640 -.1462 .3639 -.1462
 -.2265 .0000 .1133 .0000 .1133 .0000

 FREQUENCY 127.80577258
 X_R X_I Y_R Y_I Z_R Z_I
 .0000 .0000 .6304 -.2533 -.6304 .2533
 .0000 .0000 .1962 .0000 -.1962 .0000

 FREQUENCY 303.60550805
 X_R X_I Y_R Y_I Z_R Z_I
 -.5534 -.0946 -.5534 -.0946 -.5534 -.0946
 -.1348 .0000 -.1348 .0000 -.1348 .0000

 FREQUENCY 585.99078441
 X_R X_I Y_R Y_I Z_R Z_I
 .2102 -.0844 -.1051 .0422 -.1051 .0422
 -.7845 .0000 .3922 .0000 .3922 .0000

 FREQUENCY 585.99078450
 X_R X_I Y_R Y_I Z_R Z_I
 .0000 .0000 .1820 -.0731 -.1820 .0731
 .0000 .0000 -.6794 .0000 .6794 .0000

 FREQUENCY 727.47841597
 X_R X_I Y_R Y_I Z_R Z_I
 -.1329 -.0227 -.1329 -.0227 -.1329 -.0227
 .5614 .0000 .5614 .0000 .5614 .0000

 .400 .400 .400
 FREQUENCY 133.57620276
 X_R X_I Y_R Y_I Z_R Z_I
 -.6910 .3798 .3455 -.1899 .3455 -.1899
 -.2119 .0000 .1060 .0000 .1060 .0000

 FREQUENCY 133.57620280
 X_R X_I Y_R Y_I Z_R Z_I
 .0000 .0000 .5984 -.3289 -.5984 .3289
 .0000 .0000 .1836 .0000 -.1836 .0000

FREQUENCY	325.51633051				
X_R	X_I	Y_R	Y_I	Z_R	Z_I
-.5667	-.0396	-.5667	-.0396	-.5667	-.0396
-.1033	.0000	-.1033	.0000	-.1033	.0000
FREQUENCY	590.69577472				
X_R	X_I	Y_R	Y_I	Z_R	Z_I
.1857	-.1021	-.0929	.0510	-.0929	.0510
-.7885	.0000	.3943	.0000	.3943	.0000
FREQUENCY	590.69577481				
X_R	X_I	Y_R	Y_I	Z_R	Z_I
.0000	.0000	.1609	-.0884	-.1609	.0884
.0000	.0000	-.6829	.0000	.6829	.0000
FREQUENCY	724.97352500				
X_R	X_I	Y_R	Y_I	Z_R	Z_I
-.1030	-.0072	-.1030	-.0072	-.1030	-.0072
.5680	.0000	.5680	.0000	.5680	.0000
.450 .450 .450					
FREQUENCY	136.83672804				
X_R	X_I	Y_R	Y_I	Z_R	Z_I
-.6347	.4719	.3174	-.2359	.3174	-.2359
-.2027	.0000	.1013	.0000	.1013	.0000
FREQUENCY	136.83672809				
X_R	X_I	Y_R	Y_I	Z_R	Z_I
.0000	.0000	.5497	-.4087	-.5497	.4087
.0000	.0000	.1755	.0000	-.1755	.0000
FREQUENCY	339.08009788				
X_R	X_I	Y_R	Y_I	Z_R	Z_I
-.5612	.1140	-.5612	.1140	-.5612	.1140
-.0734	.0000	-.0734	.0000	-.0734	.0000
FREQUENCY	593.77089874				
X_R	X_I	Y_R	Y_I	Z_R	Z_I
.1626	-.1209	-.0813	.0605	-.0813	.0605
-.7909	.0000	.3955	.0000	.3955	.0000
FREQUENCY	593.77089883				
X_R	X_I	Y_R	Y_I	Z_R	Z_I
.0000	.0000	.1409	-.1047	-.1409	.1047
.0000	.0000	-.6850	.0000	.6850	.0000
FREQUENCY	723.25123584				
X_R	X_I	Y_R	Y_I	Z_R	Z_I
-.0719	.0146	-.0719	.0146	-.0719	.0146
.5727	.0000	.5727	.0000	.5727	.0000
.500 .500 .500					
FREQUENCY	137.88722554				
X_R	X_I	Y_R	Y_I	Z_R	Z_I
-.5599	.5599	.2799	-.2799	.2799	-.2799
-.1995	.0000	.0997	.0000	.0997	.0000
FREQUENCY	137.88722558				
X_R	X_I	Y_R	Y_I	Z_R	Z_I
.0000	.0000	.4848	-.4848	-.4848	.4848

.0000	.0000	.1728	.0000	-.1728	.0000
FREQUENCY 343.67662164					
X_R	X_I	Y_R	Y_I	Z_R	Z_I
-.4061	.4061	-.4061	.4061	-.4061	.4061
-.0589	.0000	-.0589	.0000	-.0589	.0000
FREQUENCY 594.83979501					
X_R	X_I	Y_R	Y_I	Z_R	Z_I
.1411	-.1411	-.0705	.0705	-.0705	.0705
-.7918	.0000	.3959	.0000	.3959	.0000
FREQUENCY 594.83979510					
X_R	X_I	Y_R	Y_I	Z_R	Z_I
.0000	.0000	.1222	-.1222	-.1222	.1222
.0000	.0000	-.6857	.0000	.6857	.0000
FREQUENCY 722.63531163					
X_R	X_I	Y_R	Y_I	Z_R	Z_I
-.0416	.0416	-.0416	.0416	-.0416	.0416
.5743	.0000	.5743	.0000	.5743	.0000

A1N

NEW WAVE VECTOR

.000	.000	.000
------	------	------

FREQUENCY .00000000

X_R	X_I	Y_R	Y_I	Z_R	Z_I
-.8113	.0007	.0000	.0000	.0000	.0000
-.5846	.0005	.0000	.0000	.0000	.0000

FREQUENCY .00000000

X_R	X_I	Y_R	Y_I	Z_R	Z_I
.0000	.0000	-.3670	.0000	-.7235	.0000
.0000	.0000	-.2645	.0000	-.5214	.0000

FREQUENCY .00000000

X_R	X_I	Y_R	Y_I	Z_R	Z_I
.0000	.0000	.7235	.0000	-.3670	.0000
.0000	.0000	.5214	.0000	-.2645	.0000

FREQUENCY 657.93237086

X_R	X_I	Y_R	Y_I	Z_R	Z_I
.0000	.0000	.3988	.0000	.4275	.0000
.0000	.0000	-.5534	.0000	-.5933	.0000

FREQUENCY 657.93237086

X_R	X_I	Y_R	Y_I	Z_R	Z_I
.0000	.0000	-.4275	.0000	.3988	.0000
.0000	.0000	.5933	.0000	-.5534	.0000

FREQUENCY 908.39297725

X_R	X_I	Y_R	Y_I	Z_R	Z_I
.5846	.0000	.0000	.0000	.0000	.0000
-.8113	.0000	.0000	.0000	.0000	.0000

NEW WAVE VECTOR

.100	.100	.000
------	------	------

FREQUENCY 54.50699048

X_R	X_I	Y_R	Y_I	Z_R	Z_I
.0000	-.5776	.0000	.5776	.0000	.0000
.0000	-.4079	.0000	.4079	.0000	.0000

FREQUENCY 73.34776508

X_R	X_I	Y_R	Y_I	Z_R	Z_I
.0000	.0054	.0000	.0054	.8180	.0000
.0000	-.0253	.0000	-.0253	.5740	.0000

FREQUENCY 121.54040733

X_R	X_I	Y_R	Y_I	Z_R	Z_I
.0000	-.5752	.0000	-.5752	.0040	.0000
.0000	-.4107	.0000	-.4107	-.0311	.0000

FREQUENCY 656.19425294

X_R	X_I	Y_R	Y_I	Z_R	Z_I
.0000	.4079	.0000	-.4079	.0000	.0000
.0000	-.5776	.0000	.5776	.0000	.0000

FREQUENCY 656.99904133

X_R	X_I	Y_R	Y_I	Z_R	Z_I
.0000	-.0245	.0000	-.0245	-.5738	.0000
.0000	.0005	.0000	.0005	.8183	.0000

FREQUENCY 903.66164419
 X_R X_I Y_R Y_I Z_R Z_I
 .0000 -.4105 .0000 -.4105 .0393 .0000
 .0000 .5751 .0000 .5751 .0023 .0000

NEW WAVE VECTOR
 .200 .200 .000

FREQUENCY 106.52485201
 X_R X_I Y_R Y_I Z_R Z_I
 .0000 -.5889 .0000 .5889 .0000 .0000
 .0000 -.3914 .0000 .3914 .0000 .0000

FREQUENCY 146.56393946
 X_R X_I Y_R Y_I Z_R Z_I
 .0000 .0137 .0000 .0137 .8369 .0000
 .0000 -.0483 .0000 -.0483 .5428 .0000

FREQUENCY 235.03128767
 X_R X_I Y_R Y_I Z_R Z_I
 .0000 -.5802 .0000 -.5802 .0119 .0000
 .0000 -.4018 .0000 -.4018 -.0606 .0000

FREQUENCY 651.65716078
 X_R X_I Y_R Y_I Z_R Z_I
 .0000 .3914 .0000 -.3914 .0000 .0000
 .0000 -.5889 .0000 .5889 .0000 .0000

FREQUENCY 655.45027966
 X_R X_I Y_R Y_I Z_R Z_I
 .0000 -.0474 .0000 -.0474 -.5420 .0000
 .0000 -.0026 .0000 -.0026 .8377 .0000

FREQUENCY 889.10307903
 X_R X_I Y_R Y_I Z_R Z_I
 .0000 -.4012 .0000 -.4012 .0755 .0000
 .0000 .5798 .0000 .5798 .0071 .0000

NEW WAVE VECTOR
 .300 .300 .000

FREQUENCY 153.94690434
 X_R X_I Y_R Y_I Z_R Z_I
 .0000 -.6059 .0000 .6059 .0000 .0000
 .0000 -.3646 .0000 .3646 .0000 .0000

FREQUENCY 219.74528003
 X_R X_I Y_R Y_I Z_R Z_I
 .0000 .0287 .0000 .0287 .8639 .0000
 .0000 -.0664 .0000 -.0664 .4932 .0000

FREQUENCY 333.17375386
 X_R X_I Y_R Y_I Z_R Z_I
 .0000 .5904 .0000 .5904 -.0284 .0000
 .0000 .3840 .0000 .3840 .0843 .0000

FREQUENCY 646.04668186
 X_R X_I Y_R Y_I Z_R Z_I
 .0000 .3646 .0000 -.3646 .0000 .0000
 .0000 -.6059 .0000 .6059 .0000 .0000

FREQUENCY 656.15984812
 X_R X_I Y_R Y_I Z_R Z_I
 .0000 -.0665 .0000 -.0665 -.4915 .0000
 .0000 -.0108 .0000 -.0108 .8657 .0000

FREQUENCY 863.99666684
 X_R X_I Y_R Y_I Z_R Z_I
 .0000 -.3823 .0000 -.3823 .1066 .0000
 .0000 .5900 .0000 .5900 .0165 .0000

NEW WAVE VECTOR
 .400 .400 .000

FREQUENCY 195.38126360
 X_R X_I Y_R Y_I Z_R Z_I
 .0000 -.6259 .0000 .6259 .0000 .0000
 .0000 -.3290 .0000 .3290 .0000 .0000

FREQUENCY 292.91287324
 X_R X_I Y_R Y_I Z_R Z_I
 .0000 .0577 .0000 .0577 .8929 .0000
 .0000 -.0755 .0000 -.0755 .4297 .0000

FREQUENCY 409.73263450
 X_R X_I Y_R Y_I Z_R Z_I
 .0000 -.6083 .0000 -.6083 .0635 .0000
 .0000 -.3517 .0000 -.3517 -.0923 .0000

FREQUENCY 641.34919578
 X_R X_I Y_R Y_I Z_R Z_I
 .0000 .3290 .0000 -.3290 .0000 .0000
 .0000 -.6259 .0000 .6259 .0000 .0000

FREQUENCY 661.70695994
 X_R X_I Y_R Y_I Z_R Z_I
 .0000 -.0770 .0000 -.0770 -.4259 .0000
 .0000 -.0231 .0000 -.0231 .8976 .0000

FREQUENCY 828.32653024
 X_R X_I Y_R Y_I Z_R Z_I
 .0000 -.3475 .0000 -.3475 .1314 .0000
 .0000 .6083 .0000 .6083 .0340 .0000

NEW WAVE VECTOR
 .500 .500 .000

FREQUENCY 230.29721884
 X_R X_I Y_R Y_I Z_R Z_I
 .0000 .6458 .0000 -.6458 .0000 .0000
 .0000 .2880 .0000 -.2880 .0000 .0000

FREQUENCY 364.71479030
 X_R X_I Y_R Y_I Z_R Z_I
 .0000 .1230 .0000 .1230 .9122 .0000
 .0000 -.0688 .0000 -.0688 .3581 .0000

FREQUENCY 459.42344610
 X_R X_I Y_R Y_I Z_R Z_I
 .0000 .6312 .0000 .6312 -.1516 .0000
 .0000 .2964 .0000 .2964 .0666 .0000

FREQUENCY 611.92208780
 X_R Z_I Y_R Y_I Z_R Z_I
 .0000 -.2480 .0000 .2880 .0000 .0000
 .0000 .6418 .0000 -.6458 .0000 .0000

FREQUENCY 612.96878081
 X_R Z_I Y_R Y_I Z_R Z_I
 .0000 -.0715 .0000 -.0715 -.3517 .0000
 .0000 -.0410 .0000 -.0420 .9287 .0000

FREQUENCY 714.47630708
 X_R Z_I Y_R Y_I Z_R Z_I
 .0000 -.2412 .0000 -.2852 .1459 .0000
 .0000 .6169 .0000 .6369 .0689 .0000

NEW WAVE VECTOR
 .600 .600 .000

FREQUENCY 718.82686015
 X_R Z_I Y_R Y_I Z_R Z_I
 .0000 -.6428 .0000 .6628 .0000 .0000
 .0000 -.2463 .0000 .2463 .0000 .0000

FREQUENCY 426.66409976
 X_R Z_I Y_R Y_I Z_R Z_I
 .0000 .3423 .0000 .3423 .8299 .0000
 .0000 -.0226 .0000 -.0226 .2757 .0000

FREQUENCY 432.17355635
 X_R Z_I Y_R Y_I Z_R Z_I
 .0000 .5488 .0000 .5888 -.4635 .0000
 .0000 .2110 .0000 .2130 -.0318 .0000

FREQUENCY 613.99322462
 X_R Z_I Y_R Y_I Z_R Z_I
 .0000 -.2463 .0000 .2463 .0000 .0000
 .0000 .6428 .0000 -.6628 .0000 .0000

FREQUENCY 618.62031877
 X_R Z_I Y_R Y_I Z_R Z_I
 .0000 -.0459 .0000 -.0459 -.2820 .0000
 .0000 -.1093 .0000 -.1093 .9447 .0000

FREQUENCY 719.32468027
 X_R Z_I Y_R Y_I Z_R Z_I
 .0000 -.1846 .0000 -.1846 .1304 .0000
 .0000 .6649 .0000 .6649 .1749 .0000

NEW WAVE VECTOR
 .700 .700 .000

FREQUENCY 231.27596587
 X_R Z_I Y_R Y_I Z_R Z_I
 .0000 .6756 .0000 -.6756 .0000 .0000
 .0000 .2087 .0000 -.2087 .0000 .0000

FREQUENCY 432.25496545
 X_R Z_I Y_R Y_I Z_R Z_I
 .0000 .6607 .0000 .6607 .3303 .0000
 .0000 .0008 .0000 .0008 .1341 .0000

FREQUENCY 517.43021982

X_R	X_I	Y_R	Y_I	Z_R	Z_I
.0000	.2421	.0000	.2421	-.9159	.0000
.0000	.1153	.0000	.1153	-.1316	.0000

FREQUENCY 640.80588417

X_R	X_I	Y_R	Y_I	Z_R	Z_I
.0000	.2087	.0000	-.2087	.0000	.0000
.0000	-.6756	.0000	.6756	.0000	.0000

FREQUENCY 693.61911336

X_R	X_I	Y_R	Y_I	Z_R	Z_I
.0000	.0071	.0000	.0071	-.2161	.0000
.0000	-.6052	.0000	-.6052	.4697	.0000

FREQUENCY 714.28559556

X_R	X_I	Y_R	Y_I	Z_R	Z_I
.0000	-.0696	.0000	-.0696	-.0734	.0000
.0000	.3470	.0000	.3470	.8626	.0000

NEW WAVE VECTOR

.800	.800	.000			
------	------	------	--	--	--

FREQUENCY 297.69235777

X_R	X_I	Y_R	Y_I	Z_R	Z_I
.0000	.6840	.0000	-.6840	.0000	.0000
.0000	.1793	.0000	-.1793	.0000	.0000

FREQUENCY 385.65271964

X_R	X_I	Y_R	Y_I	Z_R	Z_I
.0000	-.6958	.0000	-.6958	-.1214	.0000
.0000	.0801	.0000	.0801	-.0651	.0000

FREQUENCY 565.74068007

X_R	X_I	Y_R	Y_I	Z_R	Z_I
.0000	-.0960	.0000	-.0960	.9844	.0000
.0000	-.0552	.0000	-.0552	.0800	.0000

FREQUENCY 643.18293516

X_R	X_I	Y_R	Y_I	Z_R	Z_I
.0000	.1793	.0000	-.1793	.0000	.0000
.0000	-.6840	.0000	.6840	.0000	.0000

FREQUENCY 669.23738045

X_R	X_I	Y_R	Y_I	Z_R	Z_I
.0000	-.0766	.0000	-.0766	-.1025	.0000
.0000	-.6941	.0000	-.6941	.1198	.0000

FREQUENCY 728.49452919

X_R	X_I	Y_R	Y_I	Z_R	Z_I
.0000	-.0288	.0000	-.0288	-.0754	.0000
.0000	.0940	.0000	.0940	.9874	.0000

NEW WAVE VECTOR

.900	.900	.000			
------	------	------	--	--	--

FREQUENCY 307.79500755

X_R	X_I	Y_R	Y_I	Z_R	Z_I
.0000	.6886	.0000	-.6886	.0000	.0000
.0000	.1606	.0000	-.1606	.0000	.0000

FREQUENCY 333.99933092
 X_R X_I Y_R Y_I Z_R Z_I
 .0000 -.6929 .0000 -.6929 -.0435 .0000
 .0000 .1361 .0000 .1361 -.0285 .0000

FREQUENCY 599.55958147
 X_R X_I Y_R Y_I Z_R Z_I
 .0000 -.0331 .0000 -.0331 .9986 .0000
 .0000 -.0063 .0000 -.0063 .0227 .0000

FREQUENCY 645.06107223
 X_R X_I Y_R Y_I Z_R Z_I
 .0000 .1606 .0000 -.1606 .0000 .0000
 .0000 -.6886 .0000 .6886 .0000 .0000

FREQUENCY 652.05411164
 X_R X_I Y_R Y_I Z_R Z_I
 .0000 -.1364 .0000 -.1364 -.0188 .0000
 .0000 -.6930 .0000 -.6930 .0450 .0000

FREQUENCY 740.86765979
 X_R X_I Y_R Y_I Z_R Z_I
 .0000 -.0128 .0000 -.0128 -.0231 .0000
 .0000 .0353 .0000 .0353 .9983 .0000

NEW WAVE VECTOR
 1.000 1.000 .000

FREQUENCY 311.21678450
 X_R X_I Y_R Y_I Z_R Z_I
 .0038 -.9759 .0000 -.0001 .0000 .0000
 .0000 .0000 -.0009 .2181 .0000 .0000

FREQUENCY 311.21678453
 X_R X_I Y_R Y_I Z_R Z_I
 .0000 .0001 .0146 -.9758 .0000 .0000
 -.0033 .2181 .0000 .0000 .0000 .0000

FREQUENCY 611.63075440
 X_R X_I Y_R Y_I Z_R Z_I
 .0000 .0000 .0000 .0000 -1.0000 .0000
 .0000 .0000 .0000 .0000 .0000 .0000

FREQUENCY 645.76255402
 X_R X_I Y_R Y_I Z_R Z_I
 .0000 .0000 .0104 .2178 .0000 .0000
 .0465 .9748 .0000 .0000 .0000 .0000

FREQUENCY 645.76255421
 X_R X_I Y_R Y_I Z_R Z_I
 -.0096 .2179 .0000 .0000 .0000 .0000
 .0000 .0000 -.0429 .9750 .0000 .0000

FREQUENCY 745.48675607
 X_R X_I Y_R Y_I Z_R Z_I
 .0000 .0000 .0000 .0000 .0000 .0000
 .0000 .0000 .0000 .0000 1.0000 .0000

.900 .000 .000

FREQUENCY 307.96344474
 X_R X_I Y_R Y_I Z_R Z_I

.0000	.0000	-.2857	.6455	.2865	-.6030
.0000	.0000	-.1625	.0042	.1720	.0000
 FREQUENCY 307.96344474					
X_R	X_I	Y_R	Y_I	Z_R	Z_I
.0000	.0000	.3022	.5953	.3024	.6378
.0000	.0000	.1719	-.0045	.1626	.0000
 FREQUENCY 594.93129046					
X_R	X_I	Y_R	Y_I	Z_R	Z_I
.8828	-.3727	.0000	.0000	.0000	.0000
.2634	-.1112	.0000	.0000	.0000	.0000
 FREQUENCY 645.77769266					
X_R	X_I	Y_R	Y_I	Z_R	Z_I
.0000	.0000	-.0759	-.1399	-.0707	-.1602
.0000	.0000	.7279	-.0163	.6433	.0000
 FREQUENCY 645.77769266					
X_R	X_I	Y_R	Y_I	Z_R	Z_I
.0000	.0000	-.0671	.1618	.0728	-.1416
.0000	.0000	.6432	-.0144	-.7281	.0000
 FREQUENCY 757.25479890					
X_R	X_I	Y_R	Y_I	Z_R	Z_I
-.1290	-.2552	.0000	.0000	.0000	.0000
.4323	.8552	.0000	.0000	.0000	.0000
 .800 .000 .000					
 FREQUENCY 298.11166548					
X_R	X_I	Y_R	Y_I	Z_R	Z_I
.0000	.0000	-.4775	.4924	.4643	-.4834
.0000	.0000	-.2008	.0046	.1999	.0000
 FREQUENCY 298.11166548					
X_R	X_I	Y_R	Y_I	Z_R	Z_I
.0000	.0000	-.4754	-.4725	-.4888	-.4812
.0000	.0000	-.1999	.0046	-.2008	.0000
 FREQUENCY 555.06237135					
X_R	X_I	Y_R	Y_I	Z_R	Z_I
.8825	-.1799	.0000	.0000	.0000	.0000
.4257	-.0868	.0000	.0000	.0000	.0000
 FREQUENCY 645.92114048					
X_R	X_I	Y_R	Y_I	Z_R	Z_I
.0000	.0000	-.1452	-.1427	-.1314	-.1470
.0000	.0000	.6991	.0230	.6561	.0000
 FREQUENCY 645.92114048					
X_R	X_I	Y_R	Y_I	Z_R	Z_I
.0000	.0000	-.1362	.1426	.1498	-.1379
.0000	.0000	.6557	.0216	-.6994	.0000
 FREQUENCY 782.36981401					
X_R	X_I	Y_R	Y_I	Z_R	Z_I
.3584	-.2456	.0000	.0000	.0000	.0000
-.7429	.5092	.0000	.0000	.0000	.0000

.700 .000 .000
 FREQUENCY 281.45683555
 $\begin{array}{cccccc} X_R & X_I & Y_R & Y_I & Z_R & Z_I \\ .0000 & .0000 & .5652 & -.3537 & -.5583 & .3555 \\ .0000 & .0000 & .2435 & -.0008 & -.2410 & .0000 \end{array}$

FREQUENCY 281.45683555
 $\begin{array}{cccccc} X_R & X_I & Y_R & Y_I & Z_R & Z_I \\ .0000 & .0000 & -.5595 & -.3537 & -.5663 & -.3519 \\ .0000 & .0000 & -.2410 & .0008 & -.2435 & .0000 \end{array}$

FREQUENCY 503.25659550
 $\begin{array}{cccccc} X_R & X_I & Y_R & Y_I & Z_R & Z_I \\ -.8581 & .0990 & .0000 & .0000 & .0000 & .0000 \\ -.5006 & .0578 & .0000 & .0000 & .0000 & .0000 \end{array}$

FREQUENCY 646.42575087
 $\begin{array}{cccccc} X_R & X_I & Y_R & Y_I & Z_R & Z_I \\ .0000 & .0000 & -.2047 & -.1359 & -.2011 & -.1288 \\ .0000 & .0000 & .6632 & .0219 & .6651 & .0000 \end{array}$

FREQUENCY 646.42575087
 $\begin{array}{cccccc} X_R & X_I & Y_R & Y_I & Z_R & Z_I \\ .0000 & .0000 & -.2052 & .1221 & .2091 & -.1291 \\ .0000 & .0000 & .6647 & .0219 & -.6635 & .0000 \end{array}$

FREQUENCY 809.72847759
 $\begin{array}{cccccc} X_R & X_I & Y_R & Y_I & Z_R & Z_I \\ .4867 & -.1305 & .0000 & .0000 & .0000 & .0000 \\ -.8343 & .2236 & .0000 & .0000 & .0000 & .0000 \end{array}$

.600 .000 .000
 FREQUENCY 257.85494434
 $\begin{array}{cccccc} X_R & X_I & Y_R & Y_I & Z_R & Z_I \\ .0000 & .0000 & -.5701 & .2647 & .6193 & -.2431 \\ .0000 & .0000 & -.2729 & .0003 & .2965 & .0000 \end{array}$

FREQUENCY 257.85494434
 $\begin{array}{cccccc} X_R & X_I & Y_R & Y_I & Z_R & Z_I \\ .0000 & .0000 & .6195 & .2425 & .5703 & .2642 \\ .0000 & .0000 & .2965 & -.0003 & .2729 & .0000 \end{array}$

FREQUENCY 443.89460654
 $\begin{array}{cccccc} X_R & X_I & Y_R & Y_I & Z_R & Z_I \\ -.8330 & .1222 & .0000 & .0000 & .0000 & .0000 \\ -.5338 & .0783 & .0000 & .0000 & .0000 & .0000 \end{array}$

FREQUENCY 647.51259882
 $\begin{array}{cccccc} X_R & X_I & Y_R & Y_I & Z_R & Z_I \\ .0000 & .0000 & .2480 & .1147 & .2767 & .1058 \\ .0000 & .0000 & -.6123 & .0069 & -.6802 & .0000 \end{array}$

FREQUENCY 647.51259882
 $\begin{array}{cccccc} X_R & X_I & Y_R & Y_I & Z_R & Z_I \\ .0000 & .0000 & -.2755 & .1089 & .2467 & -.1175 \\ .0000 & .0000 & .6802 & -.0076 & -.6123 & .0000 \end{array}$

FREQUENCY 835.18921889
 $\begin{array}{cccccc} X_R & X_I & Y_R & Y_I & Z_R & Z_I \\ .5266 & -.1174 & .0000 & .0000 & .0000 & .0000 \end{array}$

.8218	.1832	.0000	.0000	.0000	.0000
.500 .000 .000					
FREQUENCY 227.40724185					
X_R	X_I	Y_R	Y_I	Z_R	Z_I
.0000	.0000	.5763	-.1717	-.6319	.1717
.0000	.0000	.3097	.0082	-.3371	.0000
FREQUENCY 227.40724185					
X_R	X_I	Y_R	Y_I	Z_R	Z_I
.0000	.0000	-.6271	-.1884	-.5716	-.1869
.0000	.0000	-.3370	-.0089	-.3098	.0000
FREQUENCY 378.75455205					
X_R	X_I	Y_R	Y_I	Z_R	Z_I
-.8287	.0171	.0000	.0000	.0000	.0000
-.5593	.0115	.0000	.0000	.0000	.0000
FREQUENCY 649.24660483					
X_R	X_I	Y_R	Y_I	Z_R	Z_I
.0000	.0000	.3050	.0814	.3190	.0909
.0000	.0000	-.6179	.0255	-.6387	.0000
FREQUENCY 649.24660483					
X_R	X_I	Y_R	Y_I	Z_R	Z_I
.0000	.0000	-.3150	.1039	.3014	-.0939
.0000	.0000	.6381	-.0263	-.6184	.0000
FREQUENCY 857.34737339					
X_R	X_I	Y_R	Y_I	Z_R	Z_I
.5525	-.0876	.0000	.0000	.0000	.0000
-.8187	.1298	.0000	.0000	.0000	.0000
.400 .000 .000					
FREQUENCY 190.57153434					
X_R	X_I	Y_R	Y_I	Z_R	Z_I
.0000	.0000	.6584	-.0962	-.5334	.1369
.0000	.0000	.3923	.0084	-.3161	.0000
FREQUENCY 190.57153434					
X_R	X_I	Y_R	Y_I	Z_R	Z_I
.0000	.0000	-.5304	-.1483	-.6562	-.1102
.0000	.0000	-.3160	-.0068	-.3924	.0000
FREQUENCY 308.88335951					
X_R	X_I	Y_R	Y_I	Z_R	Z_I
-.8204	.0316	.0000	.0000	.0000	.0000
-.5705	.0220	.0000	.0000	.0000	.0000
FREQUENCY 651.47289622					
X_R	X_I	Y_R	Y_I	Z_R	Z_I
.0000	.0000	-.3768	-.0685	-.3179	-.0783
.0000	.0000	.6598	.0041	.5575	.0000
FREQUENCY 651.47289622					
X_R	X_I	Y_R	Y_I	Z_R	Z_I
.0000	.0000	-.3184	.0764	.3772	-.0662
.0000	.0000	.5575	.0034	-.6598	.0000

FREQUENCY 875.68136999
 X_R X_I Y_R Y_I Z_R Z_I
 .5637 -.0908 .0000 .0000 .0000 .0000
 -.8105 .1305 .0000 .0000 .0000 .0000
 .300 .000 .000

FREQUENCY 148.17383359
 X_R X_I Y_R Y_I Z_R Z_I
 .0000 .0000 .5592 -.0621 -.6214 .0785
 .0000 .0000 .3619 .0159 -.3999 .0000

FREQUENCY 148.17383359
 X_R X_I Y_R Y_I Z_R Z_I
 .0000 .0000 -.6173 -.1056 -.5559 -.0866
 .0000 .0000 -.3995 -.0175 -.3623 .0000

FREQUENCY 235.15894592
 X_R X_I Y_R Y_I Z_R Z_I
 -.8159 -.0194 .0000 .0000 .0000 .0000
 -.5777 -.0137 .0000 .0000 .0000 .0000

FREQUENCY 653.85315712
 X_R X_I Y_R Y_I Z_R Z_I
 .0000 .0000 -.3803 -.0565 -.3748 -.0534
 .0000 .0000 .5992 .0061 .5914 .0000

FREQUENCY 653.85315712
 X_R X_I Y_R Y_I Z_R Z_I
 .0000 .0000 -.3754 .0495 .3809 -.0527
 .0000 .0000 .5914 .0060 -.5992 .0000

FREQUENCY 889.99364609
 X_R X_I Y_R Y_I Z_R Z_I
 .5718 -.0834 .0000 .0000 .0000 .0000
 -.8076 .1178 .0000 .0000 .0000 .0000
 .200 .000 .000

FREQUENCY 101.34955097
 X_R X_I Y_R Y_I Z_R Z_I
 .0000 .0000 -.7490 .0114 .3400 -.0649
 .0000 .0000 -.5146 -.0123 .2325 .0000

FREQUENCY 101.34955097
 X_R X_I Y_R Y_I Z_R Z_I
 .0000 .0000 .3383 .0730 .7486 .0293
 .0000 .0000 .2324 .0056 .5147 .0000

FREQUENCY 158.46655449
 X_R X_I Y_R Y_I Z_R Z_I
 -.8100 -.0732 .0000 .0000 .0000 .0000
 -.5795 -.0524 .0000 .0000 .0000 .0000

FREQUENCY 655.96538048
 X_R X_I Y_R Y_I Z_R Z_I
 .0000 .0000 -.4056 -.0327 -.3901 -.0352
 .0000 .0000 .5948 -.0017 .5720 .0000

FREQUENCY 655.96538048
 X_R X_I Y_R Y_I Z_R Z_I
 .0000 .0000 -.3900 .0363 .4055 -.0338

.0000	.0000	.5720	-.0016	-.5948	.0000
FREQUENCY 900.21997200					
X_R	X_I	Y_R	Y_I	Z_R	Z_I
.5790	-.0577	.0000	.0000	.0000	.0000
-.8093	.0807	.0000	.0000	.0000	.0000
.100	.000	.000			
FREQUENCY 51.45820848					
X_R	X_I	Y_R	Y_I	Z_R	Z_I
.0000	.0000	.6998	-.0847	.4076	.0290
.0000	.0000	.4983	-.0722	.2873	.0000
FREQUENCY 51.45820848					
X_R	X_I	Y_R	Y_I	Z_R	Z_I
.0000	.0000	.3993	-.0871	-.7047	.0165
.0000	.0000	.2843	-.0412	-.5035	.0000
FREQUENCY 79.74784342					
X_R	X_I	Y_R	Y_I	Z_R	Z_I
-.8048	.1065	.0000	.0000	.0000	.0000
-.5789	.0766	.0000	.0000	.0000	.0000
FREQUENCY 657.41627348					
X_R	X_I	Y_R	Y_I	Z_R	Z_I
.0000	.0000	-.4151	-.0134	-.4041	-.0172
.0000	.0000	.5839	-.0047	.5683	.0000
FREQUENCY 657.41627348					
X_R	X_I	Y_R	Y_I	Z_R	Z_I
.0000	.0000	-.4039	.0204	.4149	-.0167
.0000	.0000	.5683	-.0045	-.5839	.0000
FREQUENCY 906.35079199					
X_R	X_I	Y_R	Y_I	Z_R	Z_I
.5835	-.0238	.0000	.0000	.0000	.0000
-.8111	.0331	.0000	.0000	.0000	.0000
.000	.000	.000			
FREQUENCY .00000000					
X_R	X_I	Y_R	Y_I	Z_R	Z_I
-.8113	.0007	.0000	.0000	.0000	.0000
-.5846	.0005	.0000	.0000	.0000	.0000
FREQUENCY .00000000					
X_R	X_I	Y_R	Y_I	Z_R	Z_I
.0000	.0000	-.3670	.0000	-.7235	.0000
.0000	.0000	-.2645	.0000	-.5214	.0000
FREQUENCY .00000000					
X_R	X_I	Y_R	Y_I	Z_R	Z_I
.0000	.0000	.7235	.0000	-.3670	.0000
.0000	.0000	.5214	.0000	-.2645	.0000
FREQUENCY 657.93237086					
X_R	X_I	Y_R	Y_I	Z_R	Z_I
.0000	.0000	.3988	.0000	.4275	.0000
.0000	.0000	-.5534	.0000	-.5933	.0000

FREQUENCY 657.93237086
 $\begin{array}{cccccc} X_R & X_I & Y_R & Y_I & Z_R & Z_I \\ .0000 & .0000 & -.4275 & .0000 & .3988 & .0000 \\ .0000 & .0000 & .5933 & .0000 & -.5534 & .0000 \end{array}$

FREQUENCY 908.39297725
 $\begin{array}{cccccc} X_R & X_I & Y_R & Y_I & Z_R & Z_I \\ .5846 & .0000 & .0000 & .0000 & .0000 & .0000 \\ -.8113 & .0000 & .0000 & .0000 & .0000 & .0000 \end{array}$

.050 .050 .050
FREQUENCY 37.51300445
 $\begin{array}{cccccc} X_R & X_I & Y_R & Y_I & Z_R & Z_I \\ .6641 & -.0140 & -.3321 & .0070 & -.3321 & .0070 \\ .4747 & .0000 & -.2374 & .0000 & -.2374 & .0000 \end{array}$

FREQUENCY 37.51300510
 $\begin{array}{cccccc} X_R & X_I & Y_R & Y_I & Z_R & Z_I \\ .0000 & .0000 & .5752 & -.0121 & -.5752 & .0121 \\ .0000 & .0000 & .4111 & .0000 & -.4111 & .0000 \end{array}$

FREQUENCY 77.13071257
 $\begin{array}{cccccc} X_R & X_I & Y_R & Y_I & Z_R & Z_I \\ -.4683 & -.0233 & -.4683 & -.0233 & -.4683 & -.0233 \\ -.3369 & .0000 & -.3369 & .0000 & -.3369 & .0000 \end{array}$

FREQUENCY 657.36048922
 $\begin{array}{cccccc} X_R & X_I & Y_R & Y_I & Z_R & Z_I \\ .4746 & -.0100 & -.2373 & .0050 & -.2373 & .0050 \\ -.6643 & .0000 & .3321 & .0000 & .3321 & .0000 \end{array}$

FREQUENCY 657.36048932
 $\begin{array}{cccccc} X_R & X_I & Y_R & Y_I & Z_R & Z_I \\ .0000 & .0000 & .4111 & -.0087 & -.4111 & .0087 \\ .0000 & .0000 & -.5753 & .0000 & .5753 & .0000 \end{array}$

FREQUENCY 906.55539953
 $\begin{array}{cccccc} X_R & X_I & Y_R & Y_I & Z_R & Z_I \\ -.3365 & -.0167 & -.3365 & -.0167 & -.3365 & -.0167 \\ .4689 & .0000 & .4689 & .0000 & .4689 & .0000 \end{array}$

.100 .100 .100
FREQUENCY 73.76551591
 $\begin{array}{cccccc} X_R & X_I & Y_R & Y_I & Z_R & Z_I \\ -.6690 & .0310 & .3345 & -.0155 & .3345 & -.0155 \\ -.4671 & .0000 & .2335 & .0000 & .2335 & .0000 \end{array}$

FREQUENCY 73.76551623
 $\begin{array}{cccccc} X_R & X_I & Y_R & Y_I & Z_R & Z_I \\ .0000 & .0000 & .5794 & -.0268 & -.5794 & .0268 \\ .0000 & .0000 & .4045 & .0000 & -.4045 & .0000 \end{array}$

FREQUENCY 153.29803571
 $\begin{array}{cccccc} X_R & X_I & Y_R & Y_I & Z_R & Z_I \\ -.4681 & -.0461 & -.4681 & -.0461 & -.4681 & -.0461 \\ -.3348 & .0000 & -.3348 & .0000 & -.3348 & .0000 \end{array}$

FREQUENCY 655.74680492
 $\begin{array}{cccccc} X_R & X_I & Y_R & Y_I & Z_R & Z_I \\ .4666 & -.0216 & -.2333 & .0108 & -.2333 & .0108 \end{array}$

.6697	.0000	.3349	.0000	.3349	.0000
FREQUENCY	655.74680502				
X_R	X_I	Y_R	Y_I	Z_R	Z_I
.0000	.0000	.4041	-.0187	-.4041	.0187
.0000	.0000	-.5800	.0000	.5800	.0000
FREQUENCY	901.04697336				
X_R	X_I	Y_R	Y_I	Z_R	Z_I
-.3332	-.0328	-.3332	-.0328	-.3332	-.0328
.4704	.0000	.4704	.0000	.4704	.0000
.150 .150 .150					
FREQUENCY	107.57839864				
X_R	X_I	Y_R	Y_I	Z_R	Z_I
.6761	-.0540	-.3381	.0270	-.3381	.0270
.4546	.0000	-.2273	.0000	-.2273	.0000
FREQUENCY	107.57839886				
X_R	X_I	Y_R	Y_I	Z_R	Z_I
.0000	.0000	.5855	-.0467	-.5855	.0467
.0000	.0000	.3937	.0000	-.3937	.0000
FREQUENCY	227.54080956				
X_R	X_I	Y_R	Y_I	Z_R	Z_I
-.4681	-.0679	-.4681	-.0679	-.4681	-.0679
-.3310	.0000	-.3310	.0000	-.3310	.0000
FREQUENCY	653.37325091				
X_R	X_I	Y_R	Y_I	Z_R	Z_I
.4531	-.0362	-.2266	.0181	-.2266	.0181
-.6783	.0000	.3391	.0000	.3391	.0000
FREQUENCY	653.37325102				
X_R	X_I	Y_R	Y_I	Z_R	Z_I
.0000	.0000	.3924	-.0313	-.3924	.0313
.0000	.0000	-.5874	.0000	.5874	.0000
FREQUENCY	891.88704793				
X_R	X_I	Y_R	Y_I	Z_R	Z_I
-.3276	-.0475	-.3276	-.0475	-.3276	-.0475
.4730	.0000	.4730	.0000	.4730	.0000
.200 .200 .200					
FREQUENCY	137.93413821				
X_R	X_I	Y_R	Y_I	Z_R	Z_I
-.6838	.0861	.3419	-.0431	.3419	-.0431
-.4378	.0000	.2189	.0000	.2189	.0000
FREQUENCY	137.93413837				
X_R	X_I	Y_R	Y_I	Z_R	Z_I
.0000	.0000	.5922	-.0746	-.5922	.0746
.0000	.0000	.3792	.0000	-.3792	.0000
FREQUENCY	298.89297600				
X_R	X_I	Y_R	Y_I	Z_R	Z_I
-.4691	-.0876	-.4691	-.0876	-.4691	-.0876
-.3250	.0000	-.3250	.0000	-.3250	.0000

FREQUENCY 650.63475764
 X_R X_I Y_R Y_I Z_R Z_I
 .4344 -.0547 -.2172 .0274 -.2172 .0274
 -.6892 .0000 .3446 .0000 .3446 .0000

FREQUENCY 650.63475775
 X_R X_I Y_R Y_I Z_R Z_I
 .0000 .0000 .3762 -.0474 -.3762 .0474
 .0000 .0000 -.5969 .0000 .5969 .0000

FREQUENCY 879.13288639
 X_R X_I Y_R Y_I Z_R Z_I
 -.3195 -.0597 -.3195 -.0597 -.3195 -.0597
 .4772 .0000 .4772 .0000 .4772 .0000

.250 .250 .250
 FREQUENCY 164.04935233
 X_R X_I Y_R Y_I Z_R Z_I
 -.6892 .1303 .3446 -.0652 .3446 -.0652
 -.4179 .0000 .2090 .0000 .2090 .0000

FREQUENCY 164.04935246
 X_R X_I Y_R Y_I Z_R Z_I
 .0000 .0000 .5969 -.1129 -.5969 .1129
 .0000 .0000 .3619 .0000 -.3619 .0000

FREQUENCY 366.34997521
 X_R X_I Y_R Y_I Z_R Z_I
 -.4721 -.1039 -.4721 -.1039 -.4721 -.1039
 -.3157 .0000 -.3157 .0000 -.3157 .0000

FREQUENCY 647.94436007
 X_R X_I Y_R Y_I Z_R Z_I
 .4106 -.0777 -.2053 .0388 -.2053 .0388
 -.7014 .0000 .3507 .0000 .3507 .0000

FREQUENCY 647.94436018
 X_R X_I Y_R Y_I Z_R Z_I
 .0000 .0000 .3556 -.0672 -.3556 .0672
 .0000 .0000 -.6075 .0000 .6075 .0000

FREQUENCY 862.93216622
 X_R X_I Y_R Y_I Z_R Z_I
 -.3083 -.0678 -.3083 -.0678 -.3083 -.0678
 .4834 .0000 .4834 .0000 .4834 .0000

.300 .300 .300
 FREQUENCY 185.42584535
 X_R X_I Y_R Y_I Z_R Z_I
 -.6883 .1888 .3442 -.0944 .3442 -.0944
 -.3965 .0000 .1983 .0000 .1983 .0000

FREQUENCY 185.42584546
 X_R X_I Y_R Y_I Z_R Z_I
 .0000 .0000 .5961 -.1635 -.5961 .1635
 .0000 .0000 .3434 .0000 -.3434 .0000

FREQUENCY 428.77528305
 X_R X_I Y_R Y_I Z_R Z_I
 -.4793 -.1136 -.4793 -.1136 -.4793 -.1136

-.3012 .0000 -.3012 .0000 -.3012 .0000
 FREQUENCY 645.63602668
 X_R X_I Y_R Y_I Z_R Z_I
 .3824 -.1049 -.1912 .0524 -.1912 .0524
 -.7138 .0000 .3569 .0000 .3569 .0000

FREQUENCY 645.63602679
 X_R X_I Y_R Y_I Z_R Z_I
 .0000 .0000 .3312 -.0908 -.3312 .0908
 .0000 .0000 -.6181 .0000 .6181 .0000

FREQUENCY 843.63807883
 X_R X_I Y_R Y_I Z_R Z_I
 -.2931 -.0695 -.2931 -.0695 -.2931 -.0695
 .4926 .0000 .4926 .0000 .4926 .0000

.350 .350 .350
 FREQUENCY 201.85906977
 X_R X_I Y_R Y_I Z_R Z_I
 -.6759 .2620 .3379 -.1310 .3379 -.1310
 -.3758 .0000 .1879 .0000 .1879 .0000

FREQUENCY 201.85906986
 X_R X_I Y_R Y_I Z_R Z_I
 .0000 .0000 .5853 -.2269 -.5853 .2269
 .0000 .0000 .3255 .0000 -.3255 .0000

FREQUENCY 484.66470017
 X_R X_I Y_R Y_I Z_R Z_I
 -.4939 -.1095 -.4939 -.1095 -.4939 -.1095
 -.2783 .0000 -.2783 .0000 -.2783 .0000

FREQUENCY 643.89737784
 X_R X_I Y_R Y_I Z_R Z_I
 .3504 -.1358 -.1752 .0679 -.1752 .0679
 -.7249 .0000 .3624 .0000 .3624 .0000

FREQUENCY 643.89737795
 X_R X_I Y_R Y_I Z_R Z_I
 .0000 .0000 .3035 -.1176 -.3035 .1176
 .0000 .0000 -.6278 .0000 .6278 .0000

FREQUENCY 822.06823134
 X_R X_I Y_R Y_I Z_R Z_I
 -.2717 -.0602 -.2717 -.0602 -.2717 -.0602
 .5059 .0000 .5059 .0000 .5059 .0000

.400 .400 .400
 FREQUENCY 213.38705403
 X_R X_I Y_R Y_I Z_R Z_I
 .6462 -.3473 -.3231 .1737 -.3231 .1737
 .3584 .0000 -.1792 .0000 -.1792 .0000

FREQUENCY 213.38705412
 X_R X_I Y_R Y_I Z_R Z_I
 .0000 .0000 -.5597 .3008 .5597 -.3008
 .0000 .0000 -.3104 .0000 .3104 .0000

FREQUENCY 531.57628689
 $X_R \quad X_I \quad Y_R \quad Y_I \quad Z_R \quad Z_I$
 -.5196 - .0709 - .5196 - .0709 -.5196 - .0709
 -.2414 .0000 - .2414 .0000 -.2414 .0000

FREQUENCY 642.75884314
 $X_R \quad X_I \quad Y_R \quad Y_I \quad Z_R \quad Z_I$
 .3157 - .1696 - .1578 .0848 -.1578 .0848
 -.7336 .0000 .3668 .0000 .3668 .0000

FREQUENCY 642.75884326
 $X_R \quad X_I \quad Y_R \quad Y_I \quad Z_R \quad Z_I$
 .0000 .0000 .2734 -.1469 -.2734 .1469
 .0000 .0000 -.6354 .0000 .6354 .0000

FREQUENCY 800.09836071
 $X_R \quad X_I \quad Y_R \quad Y_I \quad Z_R \quad Z_I$
 -.2392 - .0326 - .2392 -.0326 -.2392 - .0326
 .5244 .0000 .5244 .0000 .5244 .0000

.450 .450 .450
FREQUENCY 220.18315031
 $X_R \quad X_I \quad Y_R \quad Y_I \quad Z_R \quad Z_I$
 .5955 - .4380 - .2978 .2190 -.2978 .2190
 .3467 .0000 -.1733 .0000 -.1733 .0000

FREQUENCY 220.18315039
 $X_R \quad X_I \quad Y_R \quad Y_I \quad Z_R \quad Z_I$
 .0000 .0000 -.5157 .3793 .5157 -.3793
 .0000 .0000 -.3002 .0000 .3002 .0000

FREQUENCY 564.96876841
 $X_R \quad X_I \quad Y_R \quad Y_I \quad Z_R \quad Z_I$
 -.5417 .0681 -.5417 .0681 -.5417 .0681
 -.1879 .0000 -.1879 .0000 -.1879 .0000

FREQUENCY 642.14358209
 $X_R \quad X_I \quad Y_R \quad Y_I \quad Z_R \quad Z_I$
 .2793 -.2054 -.1396 .1027 -.1396 .1027
 -.7392 .0000 .3696 .0000 .3696 .0000

FREQUENCY 642.14358221
 $X_R \quad X_I \quad Y_R \quad Y_I \quad Z_R \quad Z_I$
 .0000 .0000 .2419 -.1779 -.2419 .1779
 .0000 .0000 -.6402 .0000 .6402 .0000

FREQUENCY 781.84615323
 $X_R \quad X_I \quad Y_R \quad Y_I \quad Z_R \quad Z_I$
 -.1864 .0234 -.1864 .0234 -.1864 .0234
 .5459 .0000 .5459 .0000 .5459 .0000

.500 .500 .500
FREQUENCY 222.42426431
 $X_R \quad X_I \quad Y_R \quad Y_I \quad Z_R \quad Z_I$
 .5241 -.5241 -.2620 .2620 -.2620 .2620
 .3426 .0000 -.1713 .0000 -.1713 .0000

FREQUENCY 222.42426439
 $X_R \quad X_I \quad Y_R \quad Y_I \quad Z_R \quad Z_I$
 .0000 .0000 .4539 -.4539 -.4539 .4539

.0000	.0000	.2967	.0000	-.2967	.0000
FREQUENCY 577.61273259					
X_R	X_I	Y_R	Y_I	Z_R	Z_I
.3940	-.3940	.3940	-.3940	.3940	-.3940
.1511	.0000	.1511	.0000	.1511	.0000
FREQUENCY 641.95288660					
X_R	X_I	Y_R	Y_I	Z_R	Z_I
-.2422	.2422	.1211	-.1211	.1211	-.1211
.7412	.0000	-.3706	.0000	-.3706	.0000
FREQUENCY 641.95288672					
X_R	X_I	Y_R	Y_I	Z_R	Z_I
.0000	.0000	-.2098	.2098	.2098	-.2098
.0000	.0000	.6419	.0000	-.6419	.0000
FREQUENCY 774.27858663					
X_R	X_I	Y_R	Y_I	Z_R	Z_I
.1069	-.1069	.1069	-.1069	.1069	-.1069
-.5572	.0000	-.5572	.0000	-.5572	.0000

BN

NEW WAVE VECTOR

.000	.000	.000
FREQUENCY .00000000		

X_R	X_I	Y_R	Y_I	Z_R	Z_I
-.6600	.0000	.0001	.0000	.0000	.0000
-.7513	.0000	.0001	.0000	-.0001	.0000

FREQUENCY .00000000					
---------------------	--	--	--	--	--

X_R	X_I	Y_R	Y_I	Z_R	Z_I
-.0001	.0000	-.6515	.0000	.1050	.0000
-.0001	.0000	-.7417	.0000	.1195	.0000

FREQUENCY .00000000					
---------------------	--	--	--	--	--

X_R	X_I	Y_R	Y_I	Z_R	Z_I
.0000	.0000	.1050	.0000	.6515	.0000
.0000	.0000	.1195	.0000	.7417	.0000

FREQUENCY 1049.22659841					
-------------------------	--	--	--	--	--

X_R	X_I	Y_R	Y_I	Z_R	Z_I
.0000	.0000	-.6462	.0000	-.3833	.0000
.0000	.0000	.5676	.0000	.3367	.0000

FREQUENCY 1049.22659841					
-------------------------	--	--	--	--	--

X_R	X_I	Y_R	Y_I	Z_R	Z_I
.0000	.0000	-.3833	.0000	.6462	.0000
.0000	.0000	.3367	.0000	-.5676	.0000

FREQUENCY 1306.38480034					
-------------------------	--	--	--	--	--

X_R	X_I	Y_R	Y_I	Z_R	Z_I
.7513	.0000	.0000	.0000	.0000	.0000
-.6600	.0000	.0000	.0000	.0000	.0000

NEW WAVE VECTOR

.100	.100	.000
------	------	------

FREQUENCY 102.27743584					
------------------------	--	--	--	--	--

X_R	X_I	Y_R	Y_I	Z_R	Z_I
.0005	.4667	-.0005	-.4667	.0000	.0000
.0006	.5312	-.0006	-.5312	.0000	.0000

FREQUENCY 138.05997878					
------------------------	--	--	--	--	--

X_R	X_I	Y_R	Y_I	Z_R	Z_I
.0000	.0054	.0000	.0054	.6610	.0000
.0000	-.0199	.0000	-.0199	.7498	.0000

FREQUENCY 209.70867381					
------------------------	--	--	--	--	--

X_R	X_I	Y_R	Y_I	Z_R	Z_I
.0000	-.4667	.0000	-.4667	.0142	.0000
.0000	-.5306	.0000	-.5306	-.0340	.0000

FREQUENCY 1043.83245711					
-------------------------	--	--	--	--	--

X_R	X_I	Y_R	Y_I	Z_R	Z_I
.0001	-.5312	-.0001	.5312	.0000	.0000
-.0001	.4667	.0001	-.4667	.0000	.0000

FREQUENCY 1045.30097769					
-------------------------	--	--	--	--	--

X_R	X_I	Y_R	Y_I	Z_R	Z_I
.0000	-.0190	.0000	-.0190	-.7500	.0000
.0000	-.0145	.0000	-.0145	.6606	.0000

FREQUENCY 1304.08143960
 X_R X_I Y_R Y_I Z_R Z_I
 .0000 -.5309 .0000 -.5309 .0211 .0000
 .0000 .4668 .0000 .4668 .0139 .0000

NEW WAVE VECTOR
 .200 .200 .000

FREQUENCY 202.93220251
 X_R X_I Y_R Y_I Z_R Z_I
 .0004 -.4669 -.0004 .4669 .0000 .0000
 .0005 -.5310 -.0005 .5310 .0000 .0000

FREQUENCY 276.43438654
 X_R X_I Y_R Y_I Z_R Z_I
 .0000 -.0095 .0000 -.0095 -.6638 .0000
 .0000 .0386 .0000 .0386 -.7458 .0000

FREQUENCY 403.93433514
 X_R X_I Y_R Y_I Z_R Z_I
 .0000 -.4664 .0000 -.4664 .0365 .0000
 .0000 -.5282 .0000 -.5282 -.0753 .0000

FREQUENCY 1028.87183482
 X_R X_I Y_R Y_I Z_R Z_I
 .0001 .5310 -.0001 -.5310 .0000 .0000
 -.0001 -.4669 .0001 .4669 .0000 .0000

FREQUENCY 1036.20002177
 X_R X_I Y_R Y_I Z_R Z_I
 .0000 -.0411 .0000 -.0411 -.7460 .0000
 .0000 -.0367 .0000 -.0367 .6613 .0000

FREQUENCY 1294.88113396
 X_R X_I Y_R Y_I Z_R Z_I
 .0000 -.5298 .0000 -.5298 .0376 .0000
 .0000 .4671 .0000 .4671 .0284 .0000

NEW WAVE VECTOR
 .300 .300 .000

FREQUENCY 300.09978864
 X_R X_I Y_R Y_I Z_R Z_I
 -.0005 -.4672 .0005 .4672 .0000 .0000
 -.0005 -.5308 .0005 .5308 .0000 .0000

FREQUENCY 414.66432346
 X_R X_I Y_R Y_I Z_R Z_I
 .0000 -.0112 .0000 -.0112 -.6675 .0000
 .0000 .0553 .0000 .0553 -.7403 .0000

FREQUENCY 569.70216630
 X_R X_I Y_R Y_I Z_R Z_I
 .0000 -.4644 .0000 -.4644 .0741 .0000
 .0000 -.5225 .0000 -.5225 -.1307 .0000

FREQUENCY 1007.56890369
 X_R X_I Y_R Y_I Z_R Z_I
 -.0001 .5308 .0001 -.5308 .0000 .0000
 .0001 -.4672 -.0001 .4672 .0000 .0000

FREQUENCY 1028.36361241
 $\begin{array}{cccccc} X_R & X_I & Y_R & Y_I & Z_R & Z_I \\ .0000 & -.0698 & .0000 & -.0698 & -.7394 & .0000 \\ .0000 & -.0727 & .0000 & -.0727 & .6580 & .0000 \end{array}$

FREQUENCY 1272.90092667
 $\begin{array}{cccccc} X_R & X_I & Y_R & Y_I & Z_R & Z_I \\ .0000 & -.5285 & .0000 & -.5285 & .0467 & .0000 \\ .0000 & .4676 & .0000 & .4676 & .0437 & .0000 \end{array}$

NEW WAVE VECTOR
 $.400 \quad .400 \quad .000$

FREQUENCY 391.56522745
 $\begin{array}{cccccc} X_R & X_I & Y_R & Y_I & Z_R & Z_I \\ .0001 & .4677 & -.0001 & -.4677 & .0000 & .0000 \\ .0001 & .5304 & -.0001 & -.5304 & .0000 & .0000 \end{array}$

FREQUENCY 551.06863094
 $\begin{array}{cccccc} X_R & X_I & Y_R & Y_I & Z_R & Z_I \\ .0000 & -.0098 & .0000 & -.0098 & -.6704 & .0000 \\ .0000 & .0700 & .0000 & .0700 & -.7353 & .0000 \end{array}$

FREQUENCY 698.87213642
 $\begin{array}{cccccc} X_R & X_I & Y_R & Y_I & Z_R & Z_I \\ .0000 & .4586 & .0000 & .4586 & -.1287 & .0000 \\ .0000 & .5108 & .0000 & .5108 & .2024 & .0000 \end{array}$

FREQUENCY 984.04536286
 $\begin{array}{cccccc} X_R & X_I & Y_R & Y_I & Z_R & Z_I \\ .0000 & -.5304 & .0000 & .5304 & .0000 & .0000 \\ .0000 & .4677 & .0000 & -.4677 & .0000 & .0000 \end{array}$

FREQUENCY 1028.00046468
 $\begin{array}{cccccc} X_R & X_I & Y_R & Y_I & Z_R & Z_I \\ .0000 & .1052 & .0000 & .1052 & .7293 & .0000 \\ .0000 & .1251 & .0000 & .1251 & -.6439 & .0000 \end{array}$

FREQUENCY 1231.05933160
 $\begin{array}{cccccc} X_R & X_I & Y_R & Y_I & Z_R & Z_I \\ .0000 & .5277 & .0000 & .5277 & -.0460 & .0000 \\ .0000 & -.4675 & .0000 & -.4675 & -.0613 & .0000 \end{array}$

NEW WAVE VECTOR
 $.500 \quad .500 \quad .000$

FREQUENCY 474.82945912
 $\begin{array}{cccccc} X_R & X_I & Y_R & Y_I & Z_R & Z_I \\ .0002 & -.4687 & -.0002 & .4687 & .0000 & .0000 \\ .0002 & -.5294 & -.0002 & .5294 & .0000 & .0000 \end{array}$

FREQUENCY 682.57742518
 $\begin{array}{cccccc} X_R & X_I & Y_R & Y_I & Z_R & Z_I \\ .0000 & .0047 & .0000 & .0047 & .6688 & .0000 \\ .0000 & -.0849 & .0000 & -.0849 & .7337 & .0000 \end{array}$

FREQUENCY 790.63502708
 $\begin{array}{cccccc} X_R & X_I & Y_R & Y_I & Z_R & Z_I \\ .0000 & .4492 & .0000 & .4492 & -.1860 & .0000 \\ .0000 & .4923 & .0000 & .4923 & .2777 & .0000 \end{array}$

FREQUENCY 962.06567543
 X_R X_I Y_P Y_I Z_R Z_I
 .0000 .5294 .0000 -.5294 .0000 .0000
 .0000 -.4687 .0000 .4687 .0000 .0000

FREQUENCY 1036.25862781
 X_R X_I Y_P Y_I Z_R Z_I
 .0000 .1305 .0000 .1305 .7194 .0000
 .0000 .1899 .0000 .1899 -.6135 .0000

FREQUENCY 1163.92495503
 X_R X_I Y_P Y_I Z_R Z_I
 .0000 -.5302 .0000 -.5302 .0254 .0000
 .0000 .4631 .0000 .4631 .0908 .0000

NEW WAVE VECTOR
 .600 .600 .000

FREQUENCY 547.29761427
 X_R X_I Y_P Y_I Z_R Z_I
 -.0001 .4709 .0000 -.4709 .0000 .0000
 -.0001 .5275 .0000 -.5275 .0000 .0000

FREQUENCY 804.47374043
 X_R X_I Y_P Y_I Z_R Z_I
 .0000 -.0079 .0000 -.0079 .6558 .0000
 .0000 -.1108 .0000 -.1108 .7384 .0000

FREQUENCY 851.84304603
 X_R X_I Y_P Y_I Z_R Z_I
 .0000 .4442 .0000 .4442 -.2067 .0000
 .0000 .4744 .0000 .4744 .3355 .0000

FREQUENCY 944.14050103
 X_R X_I Y_P Y_I Z_R Z_I
 .0000 -.5275 .0000 .5275 .0000 .0000
 .0000 .4709 .0000 -.4709 .0000 .0000

FREQUENCY 1044.65269423
 X_R X_I Y_P Y_I Z_R Z_I
 .0000 .0326 .0000 .0326 -.6927 .0000
 .0000 -.3609 .0000 -.3609 .5075 .0000

FREQUENCY 1073.45473674
 X_R X_I Y_P Y_I Z_R Z_I
 .0000 -.5492 .0000 -.5492 -.2178 .0000
 .0000 .3639 .0000 .3639 .2909 .0000

NEW WAVE VECTOR
 .700 .700 .000

FREQUENCY 606.50740443
 X_R X_I Y_P Y_I Z_R Z_I
 .0000 .4746 .0000 -.4746 .0000 .0000
 .0000 .5241 .0000 -.5241 .0000 .0000

FREQUENCY 890.22699257
 X_R X_I Y_P Y_I Z_R Z_I
 .0000 .4362 .0000 .4362 -.2814 .0000
 .0000 .5011 .0000 .5011 .1951 .0000

FREQUENCY 908.83498285
 $\begin{array}{cccccc} X_R & X_I & Y_R & Y_I & Z_R & Z_I \\ .0000 & -.1370 & .0000 & -.1370 & -.5270 & .0000 \\ .0000 & .1284 & .0000 & .1284 & -.8073 & .0000 \end{array}$

FREQUENCY 931.25052287
 $\begin{array}{cccccc} X_R & X_I & Y_R & Y_I & Z_R & Z_I \\ .0000 & -.5241 & .0000 & .5241 & .0000 & .0000 \\ .0000 & .4746 & .0000 & -.4746 & .0000 & .0000 \end{array}$

FREQUENCY 952.63304976
 $\begin{array}{cccccc} X_R & X_I & Y_R & Y_I & Z_R & Z_I \\ .0000 & -.4871 & .0000 & -.4871 & .2575 & .0000 \\ .0000 & .4679 & .0000 & .4679 & .1460 & .0000 \end{array}$

FREQUENCY 1062.31073691
 $\begin{array}{cccccc} X_R & X_I & Y_R & Y_I & Z_R & Z_I \\ .0000 & -.2317 & .0000 & -.2317 & -.7594 & .0000 \\ .0000 & -.1161 & .0000 & -.1161 & .5375 & .0000 \end{array}$

NEW WAVE VECTOR
 $.800 \quad .800 \quad .000$

FREQUENCY 650.35059636
 $\begin{array}{cccccc} X_R & X_I & Y_R & Y_I & Z_R & Z_I \\ -.0002 & .4796 & .0002 & -.4796 & .0000 & .0000 \\ -.0002 & .5196 & .0002 & -.5196 & .0000 & .0000 \end{array}$

FREQUENCY 827.20174083
 $\begin{array}{cccccc} X_R & X_I & Y_R & Y_I & Z_R & Z_I \\ .0000 & .4772 & .0000 & .4772 & -.0360 & .0000 \\ .0000 & -.5206 & .0000 & -.5206 & .0355 & .0000 \end{array}$

FREQUENCY 910.81823910
 $\begin{array}{cccccc} X_R & X_I & Y_R & Y_I & Z_R & Z_I \\ .0000 & .4976 & .0000 & .4976 & -.1709 & .0000 \\ .0000 & .4685 & .0000 & .4685 & .1917 & .0000 \end{array}$

FREQUENCY 923.13517542
 $\begin{array}{cccccc} X_R & X_I & Y_R & Y_I & Z_R & Z_I \\ .0000 & -.5196 & .0000 & .5196 & .0000 & .0000 \\ .0000 & .4796 & .0000 & -.4796 & .0000 & .0000 \end{array}$

FREQUENCY 990.32894738
 $\begin{array}{cccccc} X_R & X_I & Y_R & Y_I & Z_R & Z_I \\ .0000 & .0617 & .0000 & .0617 & -.4261 & .0000 \\ .0000 & .0406 & .0000 & .0406 & -.8986 & .0000 \end{array}$

FREQUENCY 1076.02811003
 $\begin{array}{cccccc} X_R & X_I & Y_R & Y_I & Z_R & Z_I \\ .0000 & -.1447 & .0000 & -.1447 & -.8877 & .0000 \\ .0000 & -.0886 & .0000 & -.0886 & .3930 & .0000 \end{array}$

NEW WAVE VECTOR
 $.900 \quad .900 \quad .000$

FREQUENCY 677.26364163
 $\begin{array}{cccccc} X_R & X_I & Y_R & Y_I & Z_R & Z_I \\ .0002 & .4843 & -.0002 & -.4843 & .0000 & .0000 \\ .0002 & .5152 & -.0002 & -.5152 & .0000 & .0000 \end{array}$

FREQUENCY 726.69253510
 X_R X_I Y_R Y_I Z_R Z_I
 .0000 .4855 .0000 .4855 -.0236 .0000
 .0000 -.5138 .0000 -.5138 .0087 .0000

FREQUENCY 917.04266129
 X_R X_I Y_R Y_I Z_R Z_I
 .0000 .5086 .0000 .5086 -.0821 .0000
 .0000 .4832 .0000 .4832 .0946 .0000

FREQUENCY 918.88632840
 X_R X_I Y_R Y_I Z_R Z_I
 .0000 -.5152 .0000 .5152 .0000 .0000
 .0000 .4843 .0000 -.4843 .0000 .0000

FREQUENCY 1031.10874146
 X_R X_I Y_R Y_I Z_R Z_I
 .0000 .0457 .0000 .0457 -.1270 .0000
 .0000 .0378 .0000 .0378 -.9883 .0000

FREQUENCY 1097.46814564
 X_R X_I Y_R Y_I Z_R Z_I
 .0000 -.0597 .0000 -.0597 -.9882 .0000
 .0000 -.0327 .0000 -.0327 .1189 .0000

NEW WAVE VECTOR
 1.000 1.000 .000

FREQUENCY 686.33145085
 X_R X_I Y_R Y_I Z_R Z_I
 .0000 .0000 .3389 -.5984 .0000 .0000
 -.3577 .6317 .0000 .0000 .0000 .0000

FREQUENCY 686.33145091
 X_R X_I Y_R Y_I Z_R Z_I
 -.1040 .6798 .0000 .0000 .0000 .0000
 .0000 .0000 .1098 -.7176 .0000 .0000

FREQUENCY 917.59547215
 X_R X_I Y_R Y_I Z_R Z_I
 .0000 .0000 -.2178 -.6926 .0000 .0000
 -.2063 -.6560 .0000 .0000 .0000 .0000

FREQUENCY 917.59547225
 X_R X_I Y_R Y_I Z_R Z_I
 -.0736 -.7223 .0000 .0000 .0000 .0000
 .0000 .0000 -.0697 -.6842 .0000 .0000

FREQUENCY 1041.62625820
 X_R X_I Y_R Y_I Z_R Z_I
 .0000 .0000 .0000 .0000 .0000 .0000
 .0000 .0000 .0000 .0000 -1.0000 .0000

FREQUENCY 1109.36979841
 X_R X_I Y_R Y_I Z_R Z_I
 .0000 .0000 .0000 .0000 1.0000 .0009
 .0000 .0000 .0000 .0000 .0000 .0000

.900 .000 .000

FREQUENCY 673.55518814
 X_R X_I Y_R Y_I Z_R Z_I

.0000	.0000	.2092	-.4196	-.1890	.4647
.0000	.0000	.5396	.0001	-.4872	.0000
 FREQUENCY 673.55518814					
X_R	X_I	Y_R	Y_I	Z_R	Z_I
.0000	.0000	.1889	.4648	.2092	.4196
.0000	.0000	.4872	.0001	.5396	.0000
 FREQUENCY 924.13302504					
X_R	X_I	Y_R	Y_I	Z_R	Z_I
.0000	.0000	.2066	.4793	.2130	.4590
.0000	.0000	-.4755	-.0024	-.4955	.0000
 FREQUENCY 924.13302504					
X_R	X_I	Y_R	Y_I	Z_R	Z_I
.0000	.0000	-.2153	.4579	.2091	-.4783
.0000	.0000	.4954	.0025	-.4755	.0000
 FREQUENCY 1000.23617601					
X_R	X_I	Y_R	Y_I	Z_R	Z_I
-.1685	.4750	.0000	.0000	.0000	.0000
-.2888	.8140	.0000	.0000	.0000	.0000
 FREQUENCY 1140.39739790					
X_R	X_I	Y_R	Y_I	Z_R	Z_I
.7563	-.4172	.0000	.0000	.0000	.0000
-.4413	.2434	.0000	.0000	.0000	.0000
 .800 .000 .000					
FREQUENCY 638.63856618					
X_R	X_I	Y_R	Y_I	Z_R	Z_I
.0000	.0000	-.3986	.2970	.1987	-.4256
.0000	.0000	-.6221	.0618	.3761	.0000
 FREQUENCY 638.63856618					
X_R	X_I	Y_R	Y_I	Z_R	Z_I
.0000	.0000	.2398	.4039	.4260	.2561
.0000	.0000	.3743	-.0372	.6251	.0000
 FREQUENCY 927.23279024					
X_R	X_I	Y_R	Y_I	Z_R	Z_I
.5842	.1285	.0000	.0000	.0000	.0000
.7826	.1721	.0000	.0000	.0000	.0000
 FREQUENCY 940.42441059					
X_R	X_I	Y_R	Y_I	Z_R	Z_I
.0000	.0000	.3857	.3430	.3103	.4118
.0000	.0000	-.5289	-.0075	-.4335	.0000
 FREQUENCY 940.42441059					
X_R	X_I	Y_R	Y_I	Z_R	Z_I
.0000	.0000	.3161	-.4074	-.3905	.3375
.0000	.0000	-.4334	-.0062	.5290	.0000
 FREQUENCY 1182.57150170					
X_R	X_I	Y_R	Y_I	Z_R	Z_I
-.3691	.7113	.0000	.0000	.0000	.0000
.2756	-.5310	.0000	.0000	.0000	.0000

.700 .000 .000
 FREQUENCY 587.50964737
 $\begin{array}{cccccc} X_R & X_I & Y_R & Y_I & Z_R & Z_I \\ .0000 & .0000 & -.4023 & .2688 & .3957 & -.2680 \\ .0000 & .0000 & -.5211 & .0047 & .5157 & .0000 \end{array}$

FREQUENCY 587.50964737
 $\begin{array}{cccccc} X_R & X_I & Y_R & Y_I & Z_R & Z_I \\ .0000 & .0000 & .3981 & .2644 & .4047 & .2652 \\ .0000 & .0000 & .5157 & -.0046 & .5211 & .0000 \end{array}$

FREQUENCY 840.98592179
 $\begin{array}{cccccc} X_R & X_I & Y_R & Y_I & Z_R & Z_I \\ -.4973 & -.3856 & .0000 & .0000 & .0000 & .0000 \\ -.6142 & -.4763 & .0000 & .0000 & .0000 & .0000 \end{array}$

FREQUENCY 960.80927462
 $\begin{array}{cccccc} X_R & X_I & Y_R & Y_I & Z_R & Z_I \\ .0000 & .0000 & .4276 & .2846 & .4388 & .2848 \\ .0000 & .0000 & -.4765 & .0060 & -.4851 & .0000 \end{array}$

FREQUENCY 960.80927462
 $\begin{array}{cccccc} X_R & X_I & Y_R & Y_I & Z_R & Z_I \\ .0000 & .0000 & -.4352 & .2903 & .4240 & -.2899 \\ .0000 & .0000 & .4851 & -.0061 & -.4766 & .0000 \end{array}$

FREQUENCY 1218.29155179
 $\begin{array}{cccccc} X_R & X_I & Y_R & Y_I & Z_R & Z_I \\ -.7703 & -.1036 & .0000 & .0000 & .0000 & .0000 \\ .6236 & .0839 & .0000 & .0000 & .0000 & .0000 \end{array}$

.600 .000 .000
 FREQUENCY 524.34485760
 $\begin{array}{cccccc} X_R & X_I & Y_R & Y_I & Z_R & Z_I \\ .0000 & .0000 & -.4389 & .2195 & .4197 & -.1993 \\ .0000 & .0000 & -.5258 & .0288 & .5158 & .0000 \end{array}$

FREQUENCY 524.34485760
 $\begin{array}{cccccc} X_R & X_I & Y_R & Y_I & Z_R & Z_I \\ .0000 & .0000 & .4299 & .1761 & .4503 & .1952 \\ .0000 & .0000 & .5150 & -.0282 & .5266 & .0000 \end{array}$

FREQUENCY 743.74124291
 $\begin{array}{cccccc} X_R & X_I & Y_R & Y_I & Z_R & Z_I \\ -.6030 & -.2242 & .0000 & .0000 & .0000 & .0000 \\ -.7176 & -.2668 & .0000 & .0000 & .0000 & .0000 \end{array}$

FREQUENCY 981.54327969
 $\begin{array}{cccccc} X_R & X_I & Y_R & Y_I & Z_R & Z_I \\ .0000 & .0000 & .4710 & .2287 & .4728 & .2138 \\ .0000 & .0000 & -.4742 & -.0117 & -.4813 & .0000 \end{array}$

FREQUENCY 981.54327969
 $\begin{array}{cccccc} X_R & X_I & Y_R & Y_I & Z_R & Z_I \\ .0000 & .0000 & -.4779 & .2021 & .4765 & -.2170 \\ .0000 & .0000 & .4812 & .0119 & -.4743 & .0000 \end{array}$

FREQUENCY 1246.57357655
 $\begin{array}{cccccc} X_R & X_I & Y_R & Y_I & Z_R & Z_I \\ .6753 & -.3606 & .0000 & .0000 & .0000 & .0000 \end{array}$

-.5675 .3031 .0000 .0000 .0000 .0000
 .500 .000 .000
FREQUENCY 451.62129933
 X_R X_I Y_R Y_I Z_R Z_I
 .0000 .0000 -.4802 .1329 .4234 -.1533
 .0000 .0000 -.5561 -.0024 .4896 .0000

FREQUENCY 451.62129933
 X_R X_I Y_R Y_I Z_R Z_I
 .0000 .0000 .4227 .1551 .4796 .1350
 .0000 .0000 .4896 .0021 .5561 .0000

FREQUENCY 636.59395502
 X_R X_I Y_R Y_I Z_R Z_I
 -.6452 -.0855 .0000 .0000 .0000 .0000
 -.7527 -.0998 .0000 .0000 .0000 .0000

FREQUENCY 1000.73241860
 X_R X_I Y_R Y_I Z_R Z_I
 .0000 .0000 -.5162 -.1559 -.4807 -.1648
 .0000 .0000 .4911 .0021 .4580 .0000

FREQUENCY 1000.73241860
 X_R X_I Y_R Y_I Z_R Z_I
 .0000 .0000 -.4814 .1628 .5169 -.1537
 .0000 .0000 .4580 .0020 -.4911 .0000

FREQUENCY 1268.03773097
 X_R X_I Y_R Y_I Z_R Z_I
 .7589 .0221 .0000 .0000 .0000 .0000
 -.6505 -.0189 .0000 .0000 .0000 .0000

 .400 .000 .000
FREQUENCY 371.03908397
 X_R X_I Y_R Y_I Z_R Z_I
 .0000 .0000 .4744 -.4432 -.1141 .1064
 .0000 .0000 .5421 -.4544 -.2322 .0000

FREQUENCY 371.03908397
 X_R X_I Y_R Y_I Z_R Z_I
 .0000 .0000 .1558 .0082 .6483 .0349
 .0000 .0000 .1780 -.1492 .7073 .0000

FREQUENCY 520.68166975
 X_R X_I Y_R Y_I Z_R Z_I
 -.6537 .0412 .0000 .0000 .0000 .0000
 -.7541 .0475 .0000 .0000 .0000 .0000

FREQUENCY 1017.40408654
 X_R X_I Y_R Y_I Z_R Z_I
 .0000 .0000 -.5664 -.1705 -.4338 -.1270
 .0000 .0000 .5206 .0641 .4131 .0000

FREQUENCY 1017.40408654
 X_R X_I Y_R Y_I Z_R Z_I
 .0000 .0000 -.4461 .0730 .5830 -.1000
 .0000 .0000 .4100 .0505 -.5246 .0000

FREQUENCY 1283.64863116
 X_R X_I Y_R Y_I Z_R Z_I
 .7439 .1325 .0000 .0000 .0000 .0000
 -.6449 -.1148 .0000 .0000 .0000 .0000
 .300 .000 .000

FREQUENCY 284.06712331
 X_R X_I Y_R Y_I Z_R Z_I
 .0000 .0000 -.4910 -.1380 -.4192 -.0748
 .0000 .0000 -.5586 -.0824 -.4895 .0000

FREQUENCY 284.06712331
 X_R X_I Y_R Y_I Z_R Z_I
 .0000 .0000 -.4256 .0128 .5059 -.0648
 .0000 .0000 -.4843 -.0715 .5647 .0000

FREQUENCY 397.36614279
 X_R X_I Y_R Y_I Z_R Z_I
 -.6546 .0616 .0000 .0000 .0000 .0000
 -.7501 .0706 .0000 .0000 .0000 .0000

FREQUENCY 1030.96698878
 X_R X_I Y_R Y_I Z_R Z_I
 .0000 .0000 .5198 .0873 .5239 .0792
 .0000 .0000 -.4675 -.0066 -.4721 .0000

FREQUENCY 1030.96698878
 X_R X_I Y_R Y_I Z_R Z_I
 .0000 .0000 -.5249 .0717 .5210 -.0800
 .0000 .0000 .4721 .0067 -.4675 .0000

FREQUENCY 1294.43621169
 X_R X_I Y_R Y_I Z_R Z_I
 .7534 -.0013 .0000 .0000 .0000 .0000
 -.6575 .0011 .0000 .0000 .0000 .0000
 .200 .000 .000

FREQUENCY 192.18077122
 X_R X_I Y_R Y_I Z_R Z_I
 .0000 .0000 .3638 .0452 -.5502 .0344
 .0000 .0000 .4137 .1096 -.6153 .0000

FREQUENCY 192.18077122
 X_R X_I Y_R Y_I Z_R Z_I
 .0000 .0000 -.5230 -.1742 -.3632 -.0495
 .0000 .0000 -.5948 -.1576 -.4280 .0000

FREQUENCY 268.24995611
 X_R X_I Y_R Y_I Z_R Z_I
 -.6445 -.1375 .0000 .0000 .0000 .0000
 -.7356 -.1570 .0000 .0000 .0000 .0000

FREQUENCY 1040.99099016
 X_R X_I Y_R Y_I Z_R Z_I
 .0000 .0000 -.4378 .0263 -.6064 -.0414
 .0000 .0000 .3884 -.0736 .5310 .0000

FREQUENCY 1040.99099016
 X_R X_I Y_R Y_I Z_R Z_I
 .0000 .0000 .5881 -.1536 -.4350 .0557

.0000	.0000	-.5217	.0989	.3953	.0000
FREQUENCY 1301.35381345					
X_R	X_I	Y_R	Y_I	Z_R	Z_I
.7476	.0826	.0000	.0000	.0000	.0000
-.6550	-.0723	.0000	.0000	.0000	.0000
.100	.000	.000			
FREQUENCY 96.94162591					
X_R	X_I	Y_R	Y_I	Z_R	Z_I
.0000	.0000	.4415	.0032	-.4908	.0200
.0000	.0000	.5024	.0289	-.5573	.0000
FREQUENCY 96.94162591					
X_R	X_I	Y_R	Y_I	Z_R	Z_I
.0000	.0000	-.4889	-.0482	-.4409	-.0222
.0000	.0000	-.5563	-.0320	-.5032	.0000
FREQUENCY 135.14209601					
X_R	X_I	Y_R	Y_I	Z_R	Z_I
-.6026	-.2685	.0000	.0000	.0000	.0000
-.6865	-.3058	.0000	.0000	.0000	.0000
FREQUENCY 1047.14887835					
X_R	X_I	Y_R	Y_I	Z_R	Z_I
.0000	.0000	-.3419	.0452	-.6668	-.0155
.0000	.0000	.3010	-.0663	.5841	.0000
FREQUENCY 1047.14887835					
X_R	X_I	Y_R	Y_I	Z_R	Z_I
.0000	.0000	-.6479	.1585	.3436	-.0294
.0000	.0000	.5705	-.1256	-.3083	.0000
FREQUENCY 1305.17030111					
X_R	X_I	Y_R	Y_I	Z_R	Z_I
.7492	-.0584	.0000	.0000	.0000	.0000
-.6577	.0513	.0000	.0000	.0000	.0000
.000	.000	.000			
FREQUENCY .00000000					
X_R	X_I	Y_R	Y_I	Z_R	Z_I
-.6600	.0000	.0001	.0000	.0000	.0000
-.7513	.0000	.0001	.0000	-.0001	.0000
FREQUENCY .00000000					
X_R	X_I	Y_R	Y_I	Z_R	Z_I
-.0001	.0000	-.6515	.0000	.1050	.0000
-.0001	.0000	-.7417	.0000	.1195	.0000
FREQUENCY .00000000					
X_R	X_I	Y_R	Y_I	Z_R	Z_I
.0000	.0000	.1050	.0000	.6515	.0000
.0000	.0000	.1195	.0000	.7417	.0000
FREQUENCY 1049.22659841					
X_R	X_I	Y_R	Y_I	Z_R	Z_I
.0000	.0000	-.6462	.0000	-.3833	.0000
.0000	.0000	.5676	.0000	.3367	.0000

FREQUENCY 1049.22659841
 X_R X_I Y_R Y_I Z_R Z_I
 .0000 .0000 -.3833 .0000 .6462 .0000
 .0000 .0000 .3367 .0000 -.5676 .0000

FREQUENCY 1306.38480034
 X_R X_I Y_R Y_I Z_R Z_I
 .7513 .0000 .0000 .0000 .0000 .0000
 -.6600 .0000 .0000 .0000 .0000 .0000

.050 .050 .050
 FREQUENCY 70.34662720
 X_R X_I Y_R Y_I Z_R Z_I
 -.5388 .0125 .2694 -.0062 .2694 -.0062
 -.6133 .0000 .3066 .0000 .3067 .0000

FREQUENCY 70.34662803
 X_R X_I Y_R Y_I Z_R Z_I
 .0000 .0000 .4666 -.0108 -.4666 .0108
 .0000 .0000 .5312 .0000 -.5311 .0000

FREQUENCY 133.91781219
 X_R X_I Y_R Y_I Z_R Z_I
 -.3809 -.0134 -.3809 -.0134 -.3809 -.0134
 -.4337 .0000 -.4337 .0000 -.4337 .0000

FREQUENCY 1047.34942825
 X_R X_I Y_R Y_I Z_R Z_I
 .6132 -.0142 -.3066 .0071 -.3066 .0071
 -.5390 .0000 .2695 .0000 .2695 .0000

FREQUENCY 1047.34942829
 X_R X_I Y_R Y_I Z_R Z_I
 .0000 .0000 .5310 -.0123 -.5310 .0123
 .0000 .0000 -.4668 .0000 .4668 .0000

FREQUENCY 1305.62059801
 X_R X_I Y_R Y_I Z_R Z_I
 -.4334 -.0152 -.4334 -.0152 -.4334 -.0152
 .3811 .0000 .3811 .0000 .3811 .0000

.100 .100 .100
 FREQUENCY 138.86936288
 X_R X_I Y_R Y_I Z_R Z_I
 -.5386 .0274 .2693 -.0137 .2693 -.0137
 -.6130 .0000 .3065 .0000 .3065 .0000

FREQUENCY 138.86936331
 X_R X_I Y_R Y_I Z_R Z_I
 .0000 .0000 .4665 -.0237 -.4665 .0237
 .0000 .0000 .5309 .0000 -.5309 .0000

FREQUENCY 265.72261496
 X_R X_I Y_R Y_I Z_R Z_I
 -.3806 -.0260 -.3806 -.0260 -.3806 -.0260
 -.4334 .0000 -.4334 .0000 -.4334 .0000

FREQUENCY 1041.94270392
 X_R X_I Y_R Y_I Z_R Z_I
 -.6122 .0312 .3061 -.0156 .3061 -.0156

.5393	.0000	-.2697	.0000	-.2697	.0000
FREQUENCY	1041.94270396				
X_R	X_I	Y_R	Y_I	Z_R	Z_I
.0000	.0000	.5302	-.0270	-.5302	.0270
.0000	.0000	-.4671	.0000	.4671	.0000
FREQUENCY	1303.16199245				
X_R	X_I	Y_R	Y_I	Z_R	Z_I
-.4324	-.0296	-.4324	-.0296	-.4324	-.0296
.3815	.0000	.3815	.0000	.3815	.0000
.150 .150 .150					
FREQUENCY	203.81042758				
X_R	X_I	Y_R	Y_I	Z_R	Z_I
.5377	-.0472	-.2688	.0236	-.2689	.0236
.6126	.0000	-.3063	.0000	-.3063	.0000
FREQUENCY	203.81042788				
X_R	X_I	Y_R	Y_I	Z_R	Z_I
.0000	.0000	-.4657	.0409	.4657	-.0409
.0000	.0000	-.5305	.0000	.5305	.0000
FREQUENCY	393.34565075				
X_R	X_I	Y_R	Y_I	Z_R	Z_I
-.3801	-.0370	-.3801	-.0370	-.3801	-.0370
-.4330	.0000	-.4330	.0000	-.4330	.0000
FREQUENCY	1033.64151494				
X_R	X_I	Y_R	Y_I	Z_R	Z_I
.6102	-.0535	-.3051	.0268	-.3052	.0268
-.5398	.0000	.2699	.0000	.2699	.0000
FREQUENCY	1033.64151498				
X_R	X_I	Y_R	Y_I	Z_R	Z_I
-.0001	.0000	.5285	-.0464	-.5285	.0464
.0000	.0000	-.4675	.0000	.4675	.0000
FREQUENCY	1298.53460024				
X_R	X_I	Y_R	Y_I	Z_R	Z_I
-.4309	-.0420	-.4309	-.0420	-.4309	-.0420
.3819	.0000	.3819	.0000	.3819	.0000
.200 .200 .200					
FREQUENCY	263.53732325				
X_R	X_I	Y_R	Y_I	Z_R	Z_I
-.5353	.0739	.2677	-.0370	.2676	-.0369
-.6121	.0000	.3061	.0000	.3060	.0000
FREQUENCY	263.53732350				
X_R	X_I	Y_R	Y_I	Z_R	Z_I
.0000	.0000	-.4635	.0640	.4636	-.0640
.0000	.0000	-.5301	.0000	.5301	.0000
FREQUENCY	514.79594798				
X_R	X_I	Y_R	Y_I	Z_R	Z_I
-.3798	-.0452	-.3798	-.0452	-.3798	-.0452
-.4325	.0000	-.4325	.0000	-.4325	.0000

FREQUENCY	1023.38542272					
X_R	X_I	Y_R	Y_I	Z_R	Z_I	
.6064	-.0837	-.3032	.0419	-.3032	.0418	
-.5403	.0000	.2702	.0000	.2701	.0000	
FREQUENCY	1023.38542275					
X_R	X_I	Y_R	Y_I	Z_R	Z_I	
.0000	.0000	-.5251	.0725	.5251	-.0725	
-.0000	.0000	.4679	.0000	-.4680	.0000	
FREQUENCY	1291.02741765					
X_R	X_I	Y_R	Y_I	Z_R	Z_I	
.4295	.0511	.4295	.0511	.4295	.0511	
-.3825	.0000	-.3825	.0000	-.3825	.0000	
.250 .250 .250						
FREQUENCY	316.58912405					
X_R	X_I	Y_R	Y_I	Z_R	Z_I	
.5297	-.1090	-.2649	.0545	-.2648	.0545	
.6117	.0000	-.3059	.0000	-.3058	.0000	
FREQUENCY	316.58912427					
X_R	X_I	Y_R	Y_I	Z_R	Z_I	
.0000	.0000	-.4587	.0944	.4588	-.0944	
-.0000	.0000	-.5297	.0000	.5298	.0000	
FREQUENCY	628.16289430					
X_R	X_I	Y_R	Y_I	Z_R	Z_I	
-.3798	-.0485	-.3798	-.0485	-.3798	-.0485	
-.4321	.0000	-.4321	.0000	-.4321	.0000	
FREQUENCY	1012.27612791					
X_R	X_I	Y_R	Y_I	Z_R	Z_I	
.5991	-.1233	-.2996	.0617	-.2995	.0616	
-.5408	.0000	.2705	.0000	.2703	.0000	
FREQUENCY	1012.27612794					
X_R	X_I	Y_R	Y_I	Z_R	Z_I	
-.0001	.0000	-.5188	.1068	.5189	-.1068	
.0001	.0000	.4683	.0000	-.4684	.0000	
FREQUENCY	1279.81940247					
X_R	X_I	Y_R	Y_I	Z_R	Z_I	
.4286	.0547	.4286	.0547	.4286	.0547	
-.3829	.0000	-.3829	.0000	-.3829	.0000	
.300 .300 .300						
FREQUENCY	361.70897835					
X_R	X_I	Y_R	Y_I	Z_R	Z_I	
.5190	-.1532	-.2595	.0766	-.2595	.0766	
.6114	.0000	-.3057	.0000	-.3057	.0000	
FREQUENCY	361.70897855					
X_R	X_I	Y_R	Y_I	Z_R	Z_I	
.0000	.0000	-.4495	.1327	.4495	-.1327	
-.0000	.0000	-.5295	.0000	.5295	.0000	
FREQUENCY	731.54777505					
X_R	X_I	Y_R	Y_I	Z_R	Z_I	
-.3805	-.0434	-.3805	-.0434	-.3805	-.0434	

-.4321 .0000 -.4321 .0000 -.4321 .0000
 FREQUENCY 1001.43336081
 X_R X_I Y_R Y_I Z_R Z_I
 .5864 -.1731 -.2932 .0866 -.2932 .0866
 -.5411 .0000 .2706 .0000 .2705 .0000

FREQUENCY 1001.43336084
 X_R X_I Y_R Y_I Z_R Z_I
 .0000 .0000 -.5078 .1499 .5078 -.1500
 .0000 .0000 .4686 .0000 -.4687 .0000

FREQUENCY 1264.18914108
 X_R X_I Y_R Y_I Z_R Z_I
 .4293 .0490 .4293 .0490 .4293 .0490
 -.3829 .0000 -.3829 .0000 -.3829 .0000

.350 .350 .350
 FREQUENCY 397.86371802
 X_R X_I Y_R Y_I Z_R Z_I
 .5006 -.2059 -.2503 .1029 -.2503 .1029
 .6113 .0000 -.3056 .0000 -.3057 .0000

FREQUENCY 397.86371821
 X_R X_I Y_R Y_I Z_R Z_I
 .0000 .0000 -.4336 .1783 .4335 -.1783
 .0000 .0000 -.5294 .0000 .5294 .0000

FREQUENCY 822.81380353
 X_R X_I Y_R Y_I Z_R Z_I
 -.3813 -.0233 -.3813 -.0233 -.3813 -.0233
 -.4329 .0000 -.4329 .0000 -.4329 .0000

FREQUENCY 991.87571934
 X_R X_I Y_R Y_I Z_R Z_I
 .5653 -.2325 -.2826 .1162 -.2827 .1163
 -.5413 .0000 .2706 .0000 .2707 .0000

FREQUENCY 991.87571936
 X_R X_I Y_R Y_I Z_R Z_I
 .0001 .0000 -.4896 .2014 .4896 -.2013
 -.0001 .0000 .4688 .0000 -.4687 .0000

FREQUENCY 1243.90487077
 X_R X_I Y_R Y_I Z_R Z_I
 .4321 .0265 .4321 .0265 .4321 .0265
 -.3820 .0000 -.3820 .0000 -.3820 .0000

.400 .400 .400
 FREQUENCY 424.25301115
 X_R X_I Y_R Y_I Z_R Z_I
 .4723 -.2645 -.2362 .1323 -.2361 .1322
 .6113 .0000 -.3056 .0000 -.3056 .0000

FREQUENCY 424.25301134
 X_R X_I Y_R Y_I Z_R Z_I
 .0000 .0000 -.4090 .2291 .4090 -.2291
 .0000 .0000 -.5294 .0000 .5294 .0000

FREQUENCY	898.83367343				
X_R	X_I	Y_R	Y_I	Z_R	Z_I
-.3787	.0249	-.3787	.0249	-.3787	.0249
-.4351	.0000	-.4351	.0000	-.4351	.0000
FREQUENCY	984.43922287				
X_R	X_I	Y_R	Y_I	Z_R	Z_I
.5333	-.2987	-.2667	.1494	-.2666	.1493
-.5413	.0000	.2707	.0000	.2706	.0000
FREQUENCY	984.43922290				
X_R	X_I	Y_R	Y_I	Z_R	Z_I
.0000	.0000	-.4618	.2587	.4619	-.2587
.0000	.0000	.4688	.0000	-.4688	.0000
FREQUENCY	1220.10494678				
X_R	X_I	Y_R	Y_I	Z_R	Z_I
.4342	-.0286	.4342	-.0286	.4342	-.0286
-.3795	.0000	-.3795	.0000	-.3795	.0000
.450 .450 .450					
FREQUENCY	440.31055088				
X_R	X_I	Y_R	Y_I	Z_R	Z_I
-.4328	.3251	.2164	-.1625	.2164	-.1625
-.6113	.0000	.3056	.0000	.3057	.0000
FREQUENCY	440.31055107				
X_R	X_I	Y_R	Y_I	Z_R	Z_I
.0000	.0000	-.3748	.2815	.3748	-.2815
.0000	.0000	-.5294	.0000	.5294	.0000
FREQUENCY	953.43013671				
X_R	X_I	Y_R	Y_I	Z_R	Z_I
.3541	-.1227	.3541	-.1227	.3541	-.1227
.4392	.0000	.4392	.0000	.4392	.0000
FREQUENCY	979.73315636				
X_R	X_I	Y_R	Y_I	Z_R	Z_I
.4888	-.3671	-.2444	.1835	-.2444	.1836
-.5413	-.0001	.2707	.0001	.2706	.0000
FREQUENCY	979.73315638				
X_R	X_I	Y_R	Y_I	Z_R	Z_I
.0000	.0000	-.4233	.3179	.4233	-.3180
.0000	.0000	.4688	.0000	-.4688	.0000
FREQUENCY	1197.46457319				
X_R	X_I	Y_R	Y_I	Z_R	Z_I
-.4150	.1437	-.4150	.1437	-.4150	.1437
.3748	.0000	.3748	.0000	.3748	.0000
.500 .500 .500					
FREQUENCY	445.70015524				
X_R	X_I	Y_R	Y_I	Z_R	Z_I
-.3827	.3827	.1914	-.1914	.1914	-.1914
-.6113	.0000	.3057	.0000	.3056	.0000
FREQUENCY	445.70015542				
X_R	X_I	Y_R	Y_I	Z_R	Z_I
.0000	.0000	-.3314	.3314	.3315	-.3315

.0000	.0000	-.5294	.0000	.5294	.0000
FREQUENCY	974.59997185				
X_R	X_I	Y_R	Y_I	Z_R	Z_I
-.2626	.2626	-.2626	.2626	-.2626	.2626
-.4420	.0000	-.4420	.0000	-.4420	.0000
FREQUENCY	978.12387783				
X_R	X_I	Y_R	Y_I	Z_R	Z_I
-.4323	.4323	.2162	-.2162	.2161	-.2161
.5413	.0000	-.2707	.0000	-.2706	.0000
FREQUENCY	978.12387785				
X_R	X_I	Y_R	Y_I	Z_R	Z_I
.0000	.0000	-.3743	.3743	.3744	-.3744
.0001	.0000	.4687	.0000	-.4688	.0000
FREQUENCY	1187.05247025				
X_R	X_I	Y_R	Y_I	Z_R	Z_I
.3125	-.3125	.3125	-.3125	.3125	-.3125
-.3714	.0000	-.3714	.0000	-.3714	.0000

EK.B III-N TİPİ YARIİLETKENLERİN HESAPLANAN FONON SPEKTRUMLARI

InN

.000000	.0000	.0000	.0000	462.0782	462.0782	598.8903
.141420	22.2529	31.7243	52.3428	463.6405	464.2916	597.5907
.282840	42.8922	62.1610	100.4041	468.1300	470.8905	593.7007
.424260	60.9129	90.7429	140.2700	474.9253	481.5755	587.2812
.565680	76.1469	117.6599	168.7402	482.9995	495.5211	578.5012
.707100	88.9935	143.1017	183.8241	491.1277	511.3558	567.6507
.848520	99.8989	165.5764	186.2541	498.2331	527.1702	555.3297
.989940	108.9793	168.4025	193.3630	503.6667	535.7185	547.6793
1.131360	115.9726	150.0967	209.4852	507.2745	524.6603	556.9322
1.272780	120.4309	130.5992	220.8819	509.2489	514.0355	564.6284
1.414200	121.9669	121.9669	224.9446	509.8658	509.8658	567.3674
1.514200	120.9519	120.9519	221.8983	508.6522	508.6522	568.2967
1.614200	117.8368	117.8368	212.9193	505.1368	505.1368	570.9360
1.714200	112.4263	112.4263	198.4448	499.6843	499.6843	574.8874
1.814200	104.4487	104.4487	179.0921	492.8636	492.8636	579.6164
1.914200	93.6352	93.6352	155.5603	485.3863	485.3863	584.5690
2.014200	79.8232	79.8232	128.5669	478.0197	478.0197	589.2520
2.114200	63.0633	63.0633	98.8213	471.4899	471.4899	593.2697
2.214200	43.6967	43.6967	67.0202	466.3993	466.3993	596.3312
2.314200	22.3735	22.3735	33.8517	463.1787	463.1787	598.2416
2.414190	.0000	.0000	.0000	462.0782	462.0782	598.8903
2.500793	15.8174	15.8174	33.3852	462.7455	462.7456	598.4058
2.587395	30.8912	30.8912	66.0943	464.6994	464.6994	596.9829
2.673998	44.5787	44.5787	97.4467	467.7906	467.7906	594.7141
2.760600	56.4160	56.4160	126.7536	471.7633	471.7633	591.7574
2.847203	66.1560	66.1560	153.3154	476.2585	476.2585	588.3401
2.933805	73.7588	73.7588	176.4235	480.8391	480.8391	584.7588
3.020408	79.3419	79.3419	195.3742	485.0358	485.0358	581.3700
3.107010	83.1069	83.1069	209.5023	488.4047	488.4047	578.5615
3.193613	85.2629	85.2629	218.2409	490.5838	490.5838	576.6974
3.280215	85.9629	85.9629	221.2003	491.3374	491.3374	576.0433

GaN

.000000	.0000	.0000	.0000	556.0828	556.0828	740.8779
.141420	36.6868	50.7240	81.6013	557.8755	558.9519	739.9380
.282840	70.3770	99.1126	156.3938	563.2164	567.7742	736.8077
.424260	99.1900	144.0707	218.2194	571.7760	582.6869	730.7372
.565680	122.8748	186.0001	262.0978	582.5826	602.8795	720.9655
.707100	142.3755	225.7460	284.8049	594.0718	626.3755	707.1512
.848520	158.7884	262.8861	286.0326	604.6048	650.2175	689.9254

.989940	172.5373	265.9910	298.5070	613.0220	662.5775	679.6134
1.131360	183.2488	235.7987	325.9942	618.8573	645.2611	694.6601
1.272780	190.1443	205.6731	344.5284	622.1792	629.4152	706.4912
1.414200	192.5322	192.5322	351.1055	623.2440	623.2440	710.6872
1.514200	191.0328	191.0328	346.3082	621.4363	621.4363	711.7157
1.614200	186.3993	186.3993	332.1960	616.2199	616.2199	714.5851
1.714200	178.2532	178.2532	309.5144	608.1950	608.1950	718.7440
1.814200	166.0596	166.0596	279.2730	598.2857	598.2857	723.5174
1.914200	149.2780	149.2780	242.5695	587.6160	587.6160	728.2910
2.014200	127.5612	127.5612	200.5008	577.3379	577.3379	732.6020
2.114200	100.9556	100.9556	154.1427	568.4534	568.4534	736.1482
2.214200	70.0293	70.0293	104.5605	561.6940	561.6940	738.7576
2.314200	35.8762	35.8762	52.8211	557.5003	557.5003	740.3456
2.414190	.0000	.0000	.0000	556.0828	556.0828	740.8779
2.500793	25.7414	25.7414	51.9993	556.8842	556.8842	740.5556
2.587395	50.2462	50.2462	102.9174	559.2586	559.2586	739.5940
2.673998	72.4366	72.4366	151.6752	563.0965	563.0965	738.0134
2.760600	91.5273	91.5273	197.1965	568.1629	568.1629	735.8646
2.847203	107.1022	107.1022	238.4063	574.0584	574.0584	733.2525
2.933805	119.1143	119.1143	274.2305	580.2222	580.2222	730.3624
3.020408	127.8058	127.8058	303.6055	585.9908	585.9908	727.4784
3.107010	133.5762	133.5762	325.5163	590.6958	590.6958	724.9735
3.193613	136.8367	136.8367	339.0801	593.7709	593.7709	723.2512
3.280215	137.8872	137.8872	343.6766	594.8398	594.8398	722.6353

A1N

.000000	.0000	.0000	.0000	657.9324	657.9324	908.3930
.141420	54.5070	73.3478	121.5404	656.1943	656.9990	903.6616
.282840	106.5249	146.5639	235.0313	651.6572	655.4503	889.1031
.424260	153.9469	219.7453	333.1738	646.0467	656.1598	863.9967
.565680	195.3813	292.9129	409.7326	641.3492	661.7070	828.3265
.707100	230.2972	364.7148	459.4234	638.9221	672.9688	784.4763
.848520	258.8269	426.6641	482.1736	638.9932	688.6203	739.3247
.989940	281.2760	432.2550	517.4302	640.8059	693.6191	714.2856
1.131360	297.6924	385.6527	565.7407	643.1829	669.2374	728.4945
1.272780	307.7950	333.9993	599.5596	645.0611	652.0541	740.8677
1.414200	311.2168	311.2168	611.6308	645.7626	645.7626	745.4868
1.514200	307.9634	307.9634	594.9313	645.7777	645.7777	757.2548
1.614200	298.1117	298.1117	555.0624	645.9211	645.9211	782.3698
1.714200	281.4568	281.4568	503.2566	646.4258	646.4258	809.7285
1.814200	257.8549	257.8549	443.8946	647.5126	647.5126	835.1892
1.914200	227.4072	227.4072	378.7546	649.2466	649.2466	857.3474
2.014200	190.5715	190.5715	308.8834	651.4729	651.4729	875.6814
2.114200	148.1738	148.1738	235.1589	653.8532	653.8532	889.9936
2.214200	101.3496	101.3496	158.4666	655.9654	655.9654	900.2200
2.314200	51.4582	51.4582	79.7478	657.4163	657.4163	906.3508
2.414190	.0000	.0000	.0000	657.9324	657.9324	908.3930
2.500793	37.5130	37.5130	77.1307	657.3605	657.3605	906.5554
2.587395	73.7655	73.7655	153.2980	655.7468	655.7468	901.0470
2.673998	107.5784	107.5784	227.5408	653.3733	653.3733	891.8870

2.760600	137.9341	137.9341	298.8930	650.6348	650.6348	879.1329
2.847203	164.0494	164.0494	366.3500	647.9444	647.9444	862.9322
2.933805	185.4258	185.4258	428.7753	645.6360	645.6360	843.6381
3.020408	201.8591	201.8591	484.6647	643.8974	643.8974	822.0682
3.107010	213.3871	213.3871	531.5763	642.7588	642.7588	800.0984
3.193613	220.1832	220.1832	564.9688	642.1436	642.1436	781.8462
3.280215	222.4243	222.4243	577.6127	641.9529	641.9529	774.2786

BN

.000000	.0000	.0000	.0000	1049.2266	1049.2266	1306.3848
.141420	102.2774	138.0600	209.7087	1043.8325	1045.3010	1304.0814
.282840	202.9322	276.4344	403.9343	1028.8718	1036.2000	1294.8811
.424260	300.0998	414.6643	569.7022	1007.5689	1028.3636	1272.9009
.565680	391.5652	551.0686	698.8721	984.0454	1028.0005	1231.0593
.707100	474.8295	682.5774	790.6350	962.0657	1036.2586	1163.9250
.848520	547.2976	804.4737	851.8430	944.1405	1044.6527	1073.4547
.989940	606.5074	890.2270	908.8350	931.2505	952.6330	1062.3107
1.131360	650.3506	827.2017	910.8182	923.1352	990.3289	1076.0281
1.272780	677.2636	726.6925	917.0427	918.8863	1031.1087	1097.4681
1.414200	686.3315	686.3315	917.5955	917.5955	1041.6263	1109.3698
1.514200	673.5552	673.5552	924.1330	924.1330	1000.2362	1140.3974
1.614200	638.6386	638.6386	927.2328	940.4244	940.4244	1182.5715
1.714200	587.5096	587.5096	840.9859	960.8093	960.8093	1218.2916
1.814200	524.3449	524.3449	743.7412	981.5433	981.5433	1246.5736
1.914200	451.6213	451.6213	636.5940	1000.7324	1000.7324	1268.0377
2.014200	371.0391	371.0391	520.6817	1017.4041	1017.4041	1283.6486
2.114200	284.0671	284.0671	397.3661	1030.9670	1030.9670	1294.4362
2.214200	192.1808	192.1808	268.2500	1040.9910	1040.9910	1301.3538
2.314200	96.9416	96.9416	135.1421	1047.1489	1047.1489	1305.1703
2.414190	.0000	.0000	.0000	1049.2266	1049.2266	1306.3848
2.500793	70.3466	70.3466	133.9178	1047.3494	1047.3494	1305.6206
2.587395	138.8694	138.8694	265.7226	1041.9427	1041.9427	1303.1620
2.673998	203.8104	203.8104	393.3457	1033.6415	1033.6415	1298.5346
2.760600	263.5373	263.5373	514.7959	1023.3854	1023.3854	1291.0274
2.847203	316.5891	316.5891	628.1629	1012.2761	1012.2761	1279.8194
2.933805	361.7090	361.7090	731.5478	1001.4334	1001.4334	1264.1891
3.020408	397.8637	397.8637	822.8138	991.8757	991.8757	1243.9049
3.107010	424.2530	424.2530	898.8337	984.4392	984.4392	1220.1049
3.193613	440.3106	440.3106	953.4301	979.7332	979.7332	1197.4646
3.280215	445.7002	445.7002	974.6000	978.1239	978.1239	1187.0525

ÖZGEÇMİŞ

Sıtkı Duman, 03.04.1978 yılında Adapazarı'nda doğdu. İlk, Orta ve Lise eğitimini 1983-1995 yılları arasında Adapazarı'nda tamamladı. 1999 yılında Selçuk Üniversitesi Eğitim Fakültesi Fizik Eğitimi Bölümü'nden mezun oldu. Aynı yıl Sakarya Üniversitesi Fen Bilimleri Enstitüsü Fizik Anabilim Dalı Yüksek Lisans Programına girdi. 2000 yılında Sakarya Üniversitesi Fen Edebiyat Fakültesi'nde Araştırma Görevlisi olarak çalışmaya başladı. Halen bu görevi yürütmektedir.

